
STATO DI SALUTE DEI RESIDENTI NEI COMUNI DI FERMO E PONZANO DI FERMÒ

MARCO BALDINI, SILVIA BARTOLACCI, KATIUSCIA DI BIAGIO, THOMAS V. SIMEONI, MAURO MARIOTTINI
AGENZIA REGIONALE PER LA PROTEZIONE AMBIENTALE DELLE MARCHE - SERVIZIO EPIDEMIOLOGIA AMBIENTALE



Agosto 2016

SOMMARIO

1. INTRODUZIONE	3
2. MATERIALI E METODI	3
2.1 Indicatori epidemiologici utilizzati	12
3. RISULTATI	14
3.1 Ricoveri ospedalieri dei residenti di tutte le età	14
3.1.1 Cluster di malattia dei residenti di tutte le età	19
3.1.2 Trend temporali dei ricoveri ospedalieri dei residenti di tutte le età	20
3.2 Mortalità dei residenti di tutte le età	21
3.2.1 Cluster di decessi dei residenti di tutte le età	22
3.2.2 Trend temporali dei decessi dei residenti di tutte le età	22
3.3 Ricoveri ospedalieri dei residenti di età pediatrica (0-14 anni)	25
3.3.1 Cluster di malattia dei residenti di età pediatrica (0-14 anni)	27
3.3.2 <i>Trend temporali dei ricoveri ospedalieri dei residenti di età pediatrica (0-14 anni)</i>	27
3.4 Mortalità dei residenti di età pediatrica (0-14 anni)	27
4. CONSIDERAZIONI CONCLUSIVE	28
BIBLIOGRAFIA	30
BREVE GLOSSARIO	31
APPENDICE	34

1. INTRODUZIONE

Con nota n. 25405 del 06/07/2016 il Sindaco pro tempore del Comune di Ponzano di Fermo ha richiesto al Dirigente del Servizio di Epidemiologia Ambientale del Dipartimento ARPAM di Ancona *"un report epidemiologico della popolazione di Fermo e di Ponzano di Fermo fino all'anno corrente, con particolare riferimento alla popolazione in età pediatrica"*.

Lo studio si propone, attraverso uno studio epidemiologico osservazionale descrittivo, effettuato con il metodo del Progetto SENTIERI (1) (Studio Epidemiologico Nazionale dei Territori e Insediamenti a rischio di Inquinamento) di studiare l'incidenza degli eventi sanitari, ricoveri ospedalieri e decessi, nei due comuni di Fermo e Ponzano di Fermo, e di confrontarla con il riferimento regionale.

2. MATERIALI E METODI

L'insieme dei dati utilizzati deriva dalle Schede di dimissione ospedaliera (SDO) fornite dall'Agenzia Regionale Sanitaria della Regione Marche per il periodo che va dal 2006 al 2012 e dall'archivio ISTAT delle cause di morte, prendendo in considerazione i decessi verificatisi nel periodo 2006-2011 dei residenti nei comuni indagati.

Sono stati analizzati, per gli individui di genere maschile e femminile di tutte le età e di età pediatrica (0-14 anni), i ricoveri ospedalieri incidenti e tutti i ricoveri (ordinari e day hospital) dei soggetti residenti nei comuni di Fermo e Ponzano di Fermo nel periodo in studio, selezionati sulla base della diagnosi principale della SDO, codificata secondo la IX revisione della classificazione internazionale delle malattie. Le cause indagate inerenti tutti i ricoveri di ogni soggetto sono riportate nelle tabelle 1 e 2; alcune cause specifiche elencate nelle tabelle 3 e 4 per il generale decorso cronico delle stesse, e quindi per evitare di contare ricoveri ripetuti per lo stesso evento patologico, sono state analizzate inserendo solo il primo ricovero della patologia o gruppo di patologie di ogni soggetto nel periodo in studio.

Sono stati altresì indagati, per gli individui di entrambi i generi di tutte le età e di età compresa tra 0 e 14 anni, i decessi dei soggetti residenti nei due comuni che riportavano nella causa di morte le cause elencate nelle tabelle 5 e 6, codificate secondo la X revisione della classificazione internazionale delle malattie (ICD-X-CM).

Per entrambi gli esiti, ricoveri ospedalieri e decessi, le analisi relative ai residenti in età pediatrica sono state effettuate considerando maschi e femmine insieme.

Ai fini di una descrizione più accurata dello stato di salute di Fermo e Ponzano di Fermo è stata effettuata un'analisi sui dati aggregati nell'intero periodo in studio (2006-2012 per quanto riguarda le dimissioni ospedaliere, 2006-2011 per i decessi), utilizzando i seguenti indicatori epidemiologici:

1. rapporto di incidenza standardizzato (SIR) per genere, classi di età quinquennali e indice di deprivazione (2), con il relativo intervallo di confidenza al 90% di probabilità;

2. rapporto di incidenza bayesiano (BIR) con il relativo intervallo di credibilità al 90% controllato per genere, classi di età quinquennali e indice di deprivazione (2).

I rapporti standardizzati di incidenza (SIR, BIR) sono stati calcolati adottando come popolazione di riferimento la regione Marche.

Per la regione Marche e per i due comuni considerati nello studio, sono stati analizzati i trend temporali dei tassi standardizzati nell'intero periodo (dal 1997 all'ultimo anno in cui sono disponibili i dati) e sono stati riportati i relativi grafici a dispersione con le rette di regressione dei gruppi che mostrano, su tutti gli anni considerati, un valore sempre positivo per il tasso; laddove almeno un tasso della serie storica risulta pari a zero il trend non è stato calcolato. Le serie temporali dei tassi sono state analizzate con il metodo di regressione Joinpoint che individua i punti dove si verificano i cambiamenti nel tempo, statisticamente significativi, del coefficiente angolare della funzione lineare che identifica il trend; i test di significatività sono basati sul metodo di permutazione di Monte Carlo (3).

Al fine di localizzare aggregazioni di comuni che presentano eccessi statisticamente significativi di incidenza di ricovero per causa, è stata applicata la metodologia del *cluster detection* basata sulla statistica Scan di Kulldorff (4), (5), (6). I cluster statisticamente significativi sono stati rappresentati graficamente su mappe di variazione del rischio (choropleth).

Tutte le analisi statistiche sono state effettuate considerando i soggetti residenti di tutte le età e di età compresa tra 0 e 14 anni.

Tabella 1. Cause di ricovero analizzate (tutti i ricoveri) , tutte le età

Descrizione della causa di ricovero	ICD-IX-CM
Tutte le cause (escl. cataratta, IVG, parto, trattamenti e violente)	000-365, 367-634, 636-649, 655-659, 670-799
Malattie infettive	001-139
Malattie ischemiche acute (infarto miocardico, altre forme acute e subacute di cardiopatia ischemica)	410-411
Malattie ischemiche del cuore	410-4149
Malattie acute delle prime vie aeree	460-466
Asma	493
Aborto spontaneo	634
Cause maldefinite	780-799
Accidenti da trasporto	800-848
Traumatismi e avvelenamenti	800-999
Avvelenamenti accidentali	850-869
Cadute ed altri infortuni	880-928

Tabella 2. Cause di ricovero analizzate (tutti i ricoveri) , 0-14 anni

Descrizione della causa di ricovero	ICD-IX-CM
Tutte le cause	000-999
Malattie infettive	001-139
Infezioni acute delle vie respiratorie, polmonite e influenza	460-466, 480-487
Asma	493
Accidenti da trasporto	800-848
Traumatismi e avvelenamenti	800-999
Avvelenamenti accidentali	850-869

Tabella 3. Cause di ricovero analizzate (primo ricovero), tutte le età

Descrizione della causa di ricovero	ICD-IX-CM
Tumori maligni delle vie aeree e digestive superiori	140-150, 161
Tumori maligni	140-208
Tumori maligni dell'esofago	150
Tumori maligni dello stomaco	151
Tumori maligni dell'intestino tenue, compreso il duodeno	152
Tumori maligni del colon	153
Tumori maligni del colon-retto	153-154
Tumori maligni del retto, della giunzione retto-sigmoidea e dell'ano	154
Tumore fegato e dotti biliari	1550-1551
Tumori maligni del pancreas	157
Tumore del retroperitoneo	1580
Tumori maligni del naso	1600
Tumori maligni della laringe	161
Tumori maligni della trachea, dei bronchi e dei polmoni	162
Tumori maligni della pleura	163
Mesoteliomi pleurici e peritoneali	1588, 163
Tumori maligni delle ossa e della cartilagine articolare	170
Tumori maligni del connettivo e di altri tessuti molli	171
Melanoma maligno della pelle	172
Tumori maligni della mammella	174-175
Tumori maligni dell'utero	179-180, 182
Tumori maligni del corpo dell'utero	182
Tumori maligni dell'ovaio e degli altri annessi uterini	183
Tumore della prostata	185
Tumore del testicolo	186
Tumori maligni della vescica	188
Tumori maligni del rene e di altri e non specificati organi urinari	189
Tumori maligni dell'encefalo	191
Tumori maligni del sistema nervoso centrale	191-192
Tumori maligni della ghiandola tiroide	193
Linfoma non Hodgkin	200, 202
Tumori emolinfopoietici	200-208
Malattia di Hodgkin	201
Mieloma multiplo e tumori immunoproliferativi	203
Leucemie	204-208
Gozzo non tossico	240-241
Malattie endocrine e della nutrizione	240-2799
Tireotossicosi	242
Ipotiroidismo	243-244
Diabete mellito	250
Malattie del sangue e degli organi emopoietici	280-289
Malattie neuro-psichiatriche (escluse tossicod.)	290-303, 306-319
Malattie del sistema nervoso e degli organi di senso	320-389

Tabella 3. (segue). Cause di ricovero analizzate (primo ricovero), tutte le età

Descrizione della causa di ricovero	ICD-IX-CM
Malattia di Alzheimer	3310
Morbo di Parkinson	3320
Malattia dei neuroni motori	3352
Sclerosi multipla	340
Malattie cardiache	390-429
Malattie dell'apparato circolatorio	390-459
Insufficienza cardiaca (scompenso cardiaco)	428
Malattie cerebrovascolari	430-438
Malattie acute delle prime vie aeree	460-466
Malattie dell'apparato respiratorio	460-5199
Malattie polmonari cronico ostruttive	490-492, 494, 496
Pneumoconiosi	500-505
Malattie dell'apparato digerente	520-579
Cirrosi e altre malattie croniche del fegato	571
Nefropatie croniche e acute	580-589
Malattie dell'apparato urinario	580-599
Calcolosi del rene e delle vie urinarie	592, 594
Endometriosi	617
Malformazioni congenite	740-759

Tabella 4. Cause di ricovero analizzate (primo ricovero), 0-14 anni

Descrizione della causa di ricovero	ICD-IX-CM
Malattie infettive	001-139
Tumori maligni	140-208
Tumori maligni delle ossa e della cartilagine articolare	170
Tumori maligni del connettivo e di altri tessuti molli	171
Tumori maligni del rene e di altri e non specificati organi urinari	189
Tumori maligni dell'encefalo	191
Tumori maligni del sistema nervoso centrale	191-192
Tumori maligni della ghiandola tiroidea	193
Linfomi non Hodgkin	200, 202
Tumori emolinfopoietici	200-208
Leucemie	204-208
Malattie endocrine e della nutrizione	240-279
Diabete mellito	250
Malattie neuro-psichiatriche	290-319
Psicosi con origine specifica dell'infanzia	299
Disturbi nervosi dell'infanzia	313-319
Malattie ereditarie e degenerative e altri disturbi del sistema nervoso centrale	330-349
Malattie cardiache	390-429
Malattie del sistema circolatorio	390-459
Malattie dell'apparato respiratorio	460-5199
Malattie dell'apparato digerente	520-579
Nefrite, sindrome nefrosica, e nefrosi	580-589
Malattie dell'apparato urinario	580-599
Anomalie del sistema nervoso	740-742
Malformazioni congenite	740-759
Anomalie cardiovascolari	745-747
Anomalie dell'apparato genito-urinario	752-753
Anomalie cromosomiche	758

Tabella 5. Cause di morte analizzate, tutte le età

Cause di morte	ICD-X-CM
Mortalità generale (escluse cause violente)	A00-R99
Mortalità per cause esterne o violente	S00-Y99
Malattie infettive	A00-B99
Tumori maligni delle vie aeree e digestive superiori	C00-C15, C32
Tumori maligni	C00-C97
Tumori maligni dell'esofago	C15
Tumori maligni dello stomaco	C16
Tumori maligni dell'intestino tenue, compreso il duodeno	C17
Tumori maligni del colon	C18
Tumori maligni del retto, della giunzione retto-sigmoidea e dell'ano	C19-C21
Tumore fegato e dotti biliari	C22
Tumori maligni del pancreas	C25
Tumore del retroperitoneo	C48
Tumori maligni della laringe	C32
Tumori maligni della trachea, dei bronchi e dei polmoni	C33-C34
Mesotelioma (pleura, peritoneo, endocardio, ecc.)	C45
Tumori maligni delle ossa e della cartilagine articolare	C40-C41
Tumori maligni del connettivo e di altri tessuti molli	C49
Melanoma maligno della pelle	C43
Tumori maligni della mammella	C50
Tumori maligni dell'utero	C53-C55
Tumori maligni del corpo dell'utero	C54
Tumori maligni dell'ovaio e degli altri annessi uterini	C56-C57
Tumore della prostata	C61
Tumore del testicolo	C62
Tumori maligni della vescica	C67
Tumori maligni del rene e di altri e non specificati organi	C64-C66, C68
tumore del sistema nervoso centrale	C70-C72, D33
Tumori maligni dell'encefalo	C71
Tumori maligni della ghiandola tiroide	C73
Tumori emolinfopoietici	C81-C96
Malattia di Hodgkin	C81
Linfoma non Hodgkin	C82-C85
Mieloma multiplo e tumori immunoproliferativi	C88, C90
Leucemie	C91-C95
Leucemia linfoide (acuta e cronica)	C91
Leucemia mieloide (acuta e cronica)	C92
Angiosarcoma epatico	C223
Malattie del sangue e degli organi emopoietici	D50-D77
Malattie endocrine, della nutrizione ed immunitarie	E00-E90, D80-D89
Tireotossicosi	E05
Ipotiroidismo	E00-E03

Tabella 5 (segue). Cause di morte analizzate, tutte le età

Cause di morte	ICD-X-CM
Diabete mellito	E10-E14
Demenze	F00-F01, F020-F023, F03, G30, G310
Malattie neuro-psichiatriche (escluse tossicod.)	F00-F09, F20-F99
Malattie del sistema nervoso e degli organi di senso	G00-H95
Morbo di Parkinson	G20
Malattia di Alzheimer	G30
Malattia dei neuroni motori	G122
Sclerosi multipla	G35
Malattie dell'apparato circolatorio	I00-I99
Malattie ischemiche del cuore	I20-I25
Infarto miocardico acuto	I21-I22
Malattie cerebrovascolari	I60-I69
Malattie dell'apparato respiratorio	J00-J99
Malattie respiratorie acute	J00-J06, J10-J18, J20-J22
Malattie croniche dell'apparato respiratorio (BCPO)	J41-J44, J47
Asma	J45
Pneumoconiosi	J60-J64
Malattie dell'apparato digerente	K00-K93
Cirrosi e altre malattie croniche del fegato	K70, K73-K74
Nefropatie croniche e acute	N00-N12
Malattie dell'apparato genito-urinario	N00-N99
Insufficienza renale acuta e cronica	N17-N19
Sintomi, segni e stati morbosi mal definiti	R00-R99
Traumatismi e avvelenamenti	S00-T98

Tabella 6. Cause di morte analizzate, 0-14 anni

Cause di morte	ICD-X-CM
Mortalità generale (escluse cause violente)	A00-R99
Mortalità per cause esterne o violente	S00-Y99
Malattie infettive e parassitarie	A00-B99
Tumori maligni e benigni	C00-D48
Tumori maligni	C00-C97
Tumori maligni delle ossa e della cartilagine articolare	C40-C41
Tumori maligni del connettivo e di altri tessuti molli	C49
Tumori maligni del rene e di altri e non specificati organi urinari	C64-C66,C68
Tumori maligni dell'encefalo	C71
Tumori maligni del sistema nervoso centrale	C70-C72,D33
Tumori emolinfopoietici	C81-C96
Leucemie	C91-C95
Anomalie del sistema nervoso	G00-H95
Malattie dell'apparato respiratorio	J00-J99
Malattie respiratorie acute	J00-J06, J10-J18, J20-J22
Malattie dell'apparato digerente	K00-K93
Malformazioni congenite	Q00-Q99
Anomalie cardiovascolari	Q20-Q28
Anomalie dell'apparato genito-urinario	Q50-Q56
Anomalie cromosomiche (non classificate altrimenti)	Q90-Q99
Accidenti da trasporto	V01-V99
Sintomi, segni e stati morbosi mal definiti	R00-R99
Traumatismi e avvelenamenti	S00-T98
Avvelenamenti accidentali	X29, X49

L'analisi degli indicatori epidemiologici è stata effettuata utilizzando i software SAS System v.9.4 e PATED v.4.2 (Procedura per l'analisi territoriale di epidemiologia descrittiva) mentre l'analisi dei trend temporali è stata realizzata con il software Joinpoint v.3.5.3 prodotto da US National Cancer Institute.

2.1 INDICATORI EPIDEMIOLOGICI UTILIZZATI

Tassi Standardizzati

Il confronto fra tassi grezzi (casi/popolazione*100.000) può portare ad una interpretazione fuorviante a causa delle differenze tra le strutture per età, genere e/o altre variabili di confondimento delle popolazioni in esame. Nel confronto di due regioni, ad esempio, una mediamente più anziana e l'altra mediamente più giovane, i tassi di mortalità possono differire sia per le caratteristiche intrinseche della regione e sia per un effetto dovuto alla struttura per età. Per poter operare dei confronti accurati si utilizzano, pertanto, i tassi standardizzati (di mortalità o di morbosità) che esprimono il fenomeno della mortalità/morbosità al netto dell'effetto della composizione per età, genere e altre variabili confondenti (2).

Rapporti Standardizzati di Incidenza (SIR)

L'indicatore epidemiologico SIR è una misura sintetica che stima il rischio relativo di incidenza di una patologia in un'area in studio. Il SIR è dato dal rapporto percentuale tra il numero di eventi osservati e il numero di eventi attesi nel comune ed esprime l'eccesso (SIR maggiore di 100) o il difetto (SIR minore di 100) di mortalità/morbosità esistente tra il comune e la popolazione presa come riferimento, cioè in questo caso quella regionale nel suo complesso, al netto delle variabili di confondimento considerate.

Essendo uno stimatore basato su un rapporto, il SIR assume dei valori estremamente alti in presenza di eventi attesi molto bassi (vicino allo zero), anche con eventi osservati pari a uno o di poco superiori; di conseguenza, in presenza di un numero esiguo di eventi e/o di una popolazione a rischio piccola, la mappa dei SIR può fornire una rappresentazione del rischio di incidenza nell'area in studio lontana dalla situazione reale.

Per superare i problemi di instabilità di questo stimatore sono stati proposti, tra gli altri, metodi di stima bayesiani (7).

Stimatori Bayesiani (BIR)

Le stime bayesiane del rischio relativo di incidenza di una patologia (BIR) sono determinate con metodi iterativi tenendo in considerazione contemporaneamente sia la frequenza degli eventi nelle aree limitrofe al singolo comune e sia la frequenza degli eventi nell'intera regione; in questo modo i BIR mostrano una minore variabilità poiché i valori estremi dei SIR tendono a scomparire rendendo la mappa più correttamente interpretabile (7).

Si è inteso infine semplificare le modalità di lettura ed interpretazione dei dati, associando alla presentazione dei valori numerici anche una rappresentazione grafica, che si avvale dell'utilizzo di emoticons, come esplicitato in tabella 7.

Tabella 7. Modalità di rappresentazione dei risultati (livelli di attenzione)

Emoticons	Livello di attenzione/preoccupazione
	0 - Difetti significativi. Nessuna azione da intraprendere.
	1 - Nessuna azione da intraprendere.
	2 - Nessuna preoccupazione. Ricontrollare nel tempo.
	3 - Necessaria attenzione. Sorvegliare nel tempo.
	4 - Sicuro / molto probabile eccesso. Sorvegliare nel tempo e nello spazio.
	5 - Eccesso in evoluzione o d'interesse d'area. Necessitano approfondimenti.
	6 - Eccesso conclamato. Necessitano approfondimenti e sorveglianza.
	7 - Parametri contrastanti. Necessitano eventuali accertamenti

3. RISULTATI

3.1 RICOVERI OSPEDALIERI DEI RESIDENTI DI TUTTE LE ETÀ

Le tabelle A1-A2 e B1-B2 in appendice riportano, rispettivamente per i comuni di Fermo e Ponzano di Fermo, il numero di casi osservati, il numero di casi attesi, i cluster statisticamente significativi, il rapporto standardizzato di incidenza percentuale del cluster, il tasso standardizzato per 100.000 abitanti, il rapporto standardizzato di incidenza percentuale e il rapporto di incidenza bayesiano percentuale, con i relativi intervalli di probabilità e credibilità al 90%, eccessi e difetti statisticamente significativi e trend temporali per le patologie in studio, calcolati sui ricoveri ospedalieri dei residenti di tutte le età per causa sul periodo 2006-2012 (tabelle A: tutti gli eventi, tabelle B: primi eventi).

La tabella 8 mostra gli eventi sanitari che si sono verificati nei comuni di Fermo e Ponzano di Fermo che necessitano di particolare attenzione, in quanto fanno rilevare una situazione critica in confronto con il riferimento regionale (indicatori statisticamente significativi).

Tabella 8. Eventi sanitari statisticamente significativi che necessitano di particolare attenzione - Ricoveri ospedalieri

	Causa (ICD-IX)	Genere	SIR sign.	BIR sign.	Trend	Livello attenzione
Fermo	Malattie endocrine e della nutrizione (240-2799)	F, M+F	↑	↑	→	5 
	Morbo di Parkinson (3320)	F, M+F	↑	↑	→	5 
	Malattia dei neuroni motori (3352)	F	↑	↑	n.c.	5 
	Malattia dei neuroni motori (3352)	M+F	↑	↑	↘	5 
	Malattie ischemiche acute (infarto miocardico, altre forme acute e subacute di cardiopatia ischemica) (410-411)*	F, M, M+F	↑	↑	→	5 
	Accidenti da trasporto (800-848)*	M + F	↑	↑	→	5 
	Tutte le cause (escl. cataratta, IVG, parto, trattamenti e violente) (000-365, 367-634, 636-649, 655-659, 670-799)*	F, M+F	↑	↑	↘	4 
	Tumori maligni del colon (153)	M + F	↑	↑	→	4 
Tumori maligni del colon-retto (153-154)	F	↑	↑	→	4 	

	Causa (ICD-IX)	Genere	SIR sign.	BIR sign.	Trend	Livello attenzione
	Gozzo non tossico (240-241)	F, M, M+F		↑	↘	4 😊
	Malattie neuro-psichiatriche (escluse tossicod.) (290-303, 306-319)	M, M+F	↑	↑	→	4 😊
	Malattie dell'apparato circolatorio (390-459)	F, M, M+F	↑	↑	↘	4 😊
	Malattie ischemiche del cuore (410-4149)*	F, M, M+F	↑	↑	↘	4 😊
	Malattie cerebrovascolari (430-438)	F, M, M+F	↑	↑	↘	4 😊
	Traumatismi e avvelenamenti (800-999)*	F, M, M+F	↑	↑	↘	4 😊
	Avvelenamenti accidentali (850-869)*	F, M+F	↑	↑	↘	4 😊
	Accidenti da trasporto (800-848)*	F, M	↑	↑	↘	4 😊
Ponzano di Fermo	Accidenti da trasporto (800-848)*	M + F	↑	↑	↗	6 😡
	Malattie ischemiche acute (infarto miocardico, altre forme acute e subacute di cardiopatia ischemica) (410-411)*	M + F	↑	↑	n.c.	5 😞
	Malattie ischemiche del cuore (410-4149)*	F, M+F	↑	↑	→	5 😞
	Gozzo non tossico (240-241)	F	↑	↑	n.c.	5 😞
	Malattie ischemiche acute (infarto miocardico, altre forme acute e subacute di cardiopatia ischemica) (410-411)*	F	↑	↑	n.c.	4 😊
	Malattie ischemiche del cuore (410-4149)*	M		↑	→	4 😊
	Morbo di Parkinson (3320)	M + F		↑	n.c.	4 😊

↑ / ↗ = eccessi/incrementi, ↓ / ↘ = difetti/decrementi statisticamente significativi; n.c. = non calcolabile

* Per queste cause sono stati considerati tutti gli eventi avvenuti nel periodo

Il comune di **Fermo** mostra eccessi statisticamente significativi rispetto alla regione Marche (tabelle A1 e B1 in appendice) per:

primi ricoveri per le malattie endocrine e della nutrizione (ICD-IX: 240-2799) delle femmine con un rapporto standardizzato di incidenza percentuale di 119 (I.C. 90%: 111-127) e un indicatore bayesiano di 116 (I.C. 90%: 108-122), e di maschi e femmine insieme con un SIR di 110 (I.C. 90%: 104-115) e un BIR di 108 (I.C. 90%: 103-114);

primi ricoveri per il morbo di Parkinson (ICD-IX: 3320) dei residenti di genere femminile (SIR: 216, I.C. 90%: 165-284; BIR: 172, I.C. 90%: 127-233) e dei due generi in toto (SIR: 148, I.C. 90%: 119-184; BIR: 146, I.C. 90%: 124-177);

primi ricoveri per la malattia dei neuroni motori (ICD-IX: 3352) delle donne con un rapporto standardizzato di incidenza percentuale di 206 (I.C. 90%: 133-319) e BIR di 152 (I.C. 90%: 117-207), e di maschi e femmine in totale (SIR: 152, I.C. 90%: 106-219; BIR: 151, I.C. 90%: 121-182);

tutti i ricoveri per le malattie ischemiche acute (infarto miocardico, altre forme acute e subacute di cardiopatia ischemica) (ICD-IX: 410-411) dei residenti di genere femminile (SIR: 131, I.C. 90%: 117-147; BIR: 128, I.C. 90%: 121-134), maschile (SIR: 111, I.C. 90%: 102-122; BIR: 111, I.C. 90%: 105-117) e dei due generi in complesso (SIR: 118, I.C. 90%: 110-127; BIR: 119, I.C. 90%: 112-123);

tutti i ricoveri per gli incidenti da trasporto (ICD-IX: 800-848);

per tutte le patologie precedenti il trend temporale si attesta per lo più costante nel tempo;

tutti i ricoveri per tutte le cause (escl. cataratta, IVG, parto, trattamenti e violente) (000-365, 367-634, 636-649, 655-659, 670-799) delle femmine con un rapporto standardizzato di incidenza percentuale di 105 (I.C. 90%: 103-107) e un indicatore bayesiano di 105 (I.C. 90%: 104-106), e di maschi e femmine insieme con un SIR di 103 (I.C. 90%: 101-104) e un BIR di 103 (I.C. 90%: 102-104);

tutti i ricoveri per le malattie ischemiche del cuore (ICD-IX: 410-4149) delle femmine con un rapporto standardizzato di incidenza percentuale di 127 (I.C. 90%: 115-141) e un indicatore bayesiano di 123 (I.C. 90%: 117-130), dei residenti di genere maschile con SIR di 117 (I.C. 90%: 109-125) e BIR di 117 (I.C. 90%: 110-123) e di maschi e femmine insieme con un SIR di 120 (I.C. 90%: 114-127) e un BIR di 120 (I.C. 90%: 116-124);

tutti i ricoveri per traumatismi e avvelenamenti (ICD-IX: 800-999), per avvelenamenti accidentali (ICD-IX: 850-869) e per incidenti da trasporto (ICD-IX: 800-848);

primi ricoveri per i tumori maligni del colon (ICD-IX: 153) dei due generi nel complesso con un rapporto standardizzato di incidenza percentuale di 127 (I.C.

90%: 114-141) e un indicatore bayesiano di 111 (I.C. 90%: 101-120);

primi ricoveri per i tumori maligni del colon-retto (ICD-IX: 153-154) delle residenti di genere femminile con SIR pari a 127 (I.C. 90%: 111-144) e BIR di 110 (I.C. 90%: 101-121);

primi ricoveri per il gozzo non tossico (ICD-IX: 240-241) delle femmine (BIR: 120, I.C. 90%: 105-131), dei maschi (BIR: 122, I.C. 90%: 102-149) e dei due generi in totale (BIR: 118, I.C. 90%: 101-137) con rapporti standardizzati di incidenza non statisticamente significativi;

primi ricoveri per le malattie neuro-psichiatriche (escluse tossicod.) (ICD-IX: 290-303, 306-319) dei residenti maschi con SIR pari a 113 (I.C. 90%: 103-125) e BIR di 110 (I.C. 90%: 101-119) e dei due generi insieme con SIR pari a 114 (I.C. 90%: 107-123) e BIR di 111 (I.C. 90%: 104-116);

primi ricoveri per le malattie dell'apparato circolatorio (ICD-IX: 390-459) delle femmine (SIR: 105, I.C. 90%: 101-109; BIR: 105, I.C. 90%: 100-109), dei maschi (SIR: 107, I.C. 90%: 103-110; BIR: 106, I.C. 90%: 103-110) e dei due generi in totale (SIR: 106, I.C. 90%: 103-109; BIR: 106, I.C. 90%: 104-108);

primi ricoveri per le malattie cerebrovascolari (ICD-IX: 430-438) delle femmine (SIR: 115, I.C. 90%: 108-123; BIR: 113, I.C. 90%: 108-119), dei maschi (SIR: 109, I.C. 90%: 103-116; BIR: 108, I.C. 90%: 103-114) e dei due generi in totale (SIR: 112, I.C. 90%: 107-117; BIR: 111, I.C. 90%: 107-116);

per tutte le precedenti cause di ricovero si osservano per lo più andamenti nel tempo in calo o costanti.

Nel comune di **Fermo** si sono osservati difetti statisticamente significativi rispetto al riferimento regionale, con un trend temporale per tutto il periodo in studio in significativo calo, (tabelle A1 e B1 in appendice) per:



tutti i ricoveri per le malattie acute delle prime vie aeree (ICD-IX: 460-466) dei maschi, per l'asma (ICD-IX: 493) delle femmine e dei due generi in totale;

primi ricoveri per i tumori maligni del retto, della giunzione retto-sigmoidea e dell'ano (ICD-IX: 154), per i tumori maligni della trachea, dei bronchi e dei polmoni (ICD-IX: 162), per le malattie del sangue e degli organi emopoietici (ICD-IX: 280-289), per le malattie dell'apparato digerente (ICD-IX: 520-579) dei residenti di genere maschile;

primi ricoveri per le malattie dell'apparato digerente (ICD-IX: 520-579) e per le malformazioni congenite (ICD-IX: 740-759) dei residenti di genere femminile;

primi ricoveri per le malattie del sangue e degli organi emopoietici (ICD-IX: 280-289), per le malattie del sistema nervoso e degli organi di senso (ICD-IX: 320-389) e per le calcolosi del rene e delle vie urinarie (ICD-IX: 592, 594) dei maschi e dei due generi insieme;

primi ricoveri per diabete mellito (ICD-IX: 250) e per le malattie polmonari cronico ostruttive (ICD-IX: 490-492, 494, 496) di tutti i generi considerati (maschi, femmine e maschi + femmine).

Il comune di **Ponzano di Fermo** mostra eccessi statisticamente significativi rispetto alla regione Marche (tabelle A2 e B2 in appendice) per:

	tutti i ricoveri per incidenti da trasporto (ICD-IX: 800-848) dei due generi nel complesso con andamento temporale in crescita in maniera statisticamente significativa;
	<p>tutti i ricoveri per le malattie ischemiche acute (infarto miocardico, altre forme acute e subacute di cardiopatia ischemica) (ICD-IX: 410-411) dei due generi in totale con un rapporto standardizzato di incidenza percentuale di 141 (I.C. 90%: 105-189) e un indicatore bayesiano di 127 (I.C. 90%: 107-152);</p> <p>tutti i ricoveri per le malattie ischemiche del cuore (ICD-IX: 410-4149) nelle residenti di genere femminile con SIR pari a 179 (I.C. 90%: 115-278) e BIR a 135 (I.C. 90%: 105-168) e dei due generi nel complesso (SIR: 137, I.C. 90%: 106-176; BIR: 127, I.C. 90%: 109-142);</p> <p>primi ricoveri per il gozzo non tossico (ICD-IX: 240-241) delle femmine con un rapporto standardizzato di incidenza percentuale di 254 (I.C. 90%: 138-469) e un indicatore bayesiano di 155 (I.C. 90%: 126-189);</p>
	<p>tutti i ricoveri per le malattie ischemiche acute (infarto miocardico, altre forme acute e subacute di cardiopatia ischemica) (ICD-IX: 410-411) delle femmine con SIR pari a 196 (I.C. 90%: 125-308) e BIR pari a 139 (I.C. 90%: 112-188);</p> <p>tutti i ricoveri per le malattie ischemiche del cuore (ICD-IX: 410-4149) dei residenti di genere maschile (BIR: 118, I.C. 90%: 103-137) e rapporto standardizzato di incidenza percentuale non statisticamente significativo;</p> <p>primi ricoveri per il morbo di Parkinson (ICD-IX: 3320) dei residenti dei due generi in totale con un indicatore bayesiano di 166 (I.C. 90%: 121-234) e SIR non statisticamente significativo.</p>

Nel comune di **Ponzano di Fermo** si sono osservati difetti statisticamente significativi rispetto al riferimento regionale per i ricoveri ospedalieri (tabelle A2 e B2 in appendice), con un trend temporale per tutto il periodo in studio in significativo calo, per:



tutti i ricoveri per tutte le cause (escl. cataratta, IVG, parto, trattamenti e violente) (000-365, 367-634, 636-649, 655-659, 670-799) dei residenti di genere maschile;

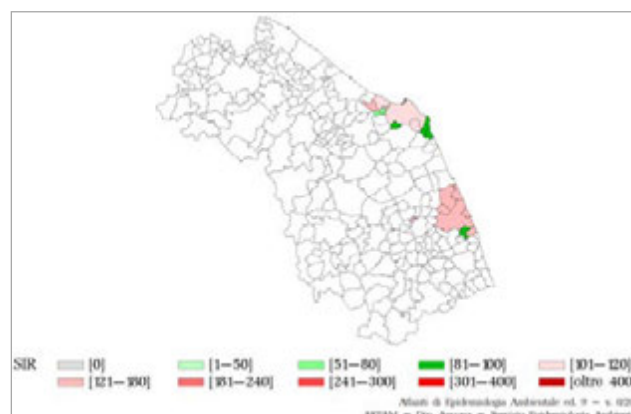
primi ricoveri per tumori maligni (ICD-IX: 140-208) dei maschi e dei due generi nel complesso.

3.1.1 Cluster di malattia dei residenti di tutte le età

L'analisi spaziale su base comunale, effettuata per individuare eventuali cluster di casi che comprendano i due comuni di Fermo e Ponzano di Fermo, ha messo in evidenza, nell'ambito delle patologie che necessitano di particolare attenzione, che i comuni in studio fanno parte di aggregati spaziali statisticamente significativi ($p\text{-value} < 0,05$) per tutti i ricoveri ospedalieri per le malattie ischemiche acute (infarto miocardico, altre forme acute e subacute di cardiopatia ischemica) e le malattie ischemiche del cuore e per i primi ricoveri per il gozzo non tossico e il morbo di Parkinson; tuttavia per tutte le cause riportate il numero di comuni compreso nel cluster è troppo elevato per poter ipotizzare cause di origine ambientale.

In figura 1 si riporta la mappa di rischio di tutti i ricoveri per malattie ischemiche acute (infarto miocardico, altre forme acute e subacute di cardiopatia ischemica) (ICD-IX: 410-411) per i residenti di genere femminile, in quanto il cluster evidenziato comprende solo 7 comuni ed ha un raggio pari a 10 chilometri; tale aggregato spaziale include il comune di Fermo e non quello di Ponzano di Fermo.

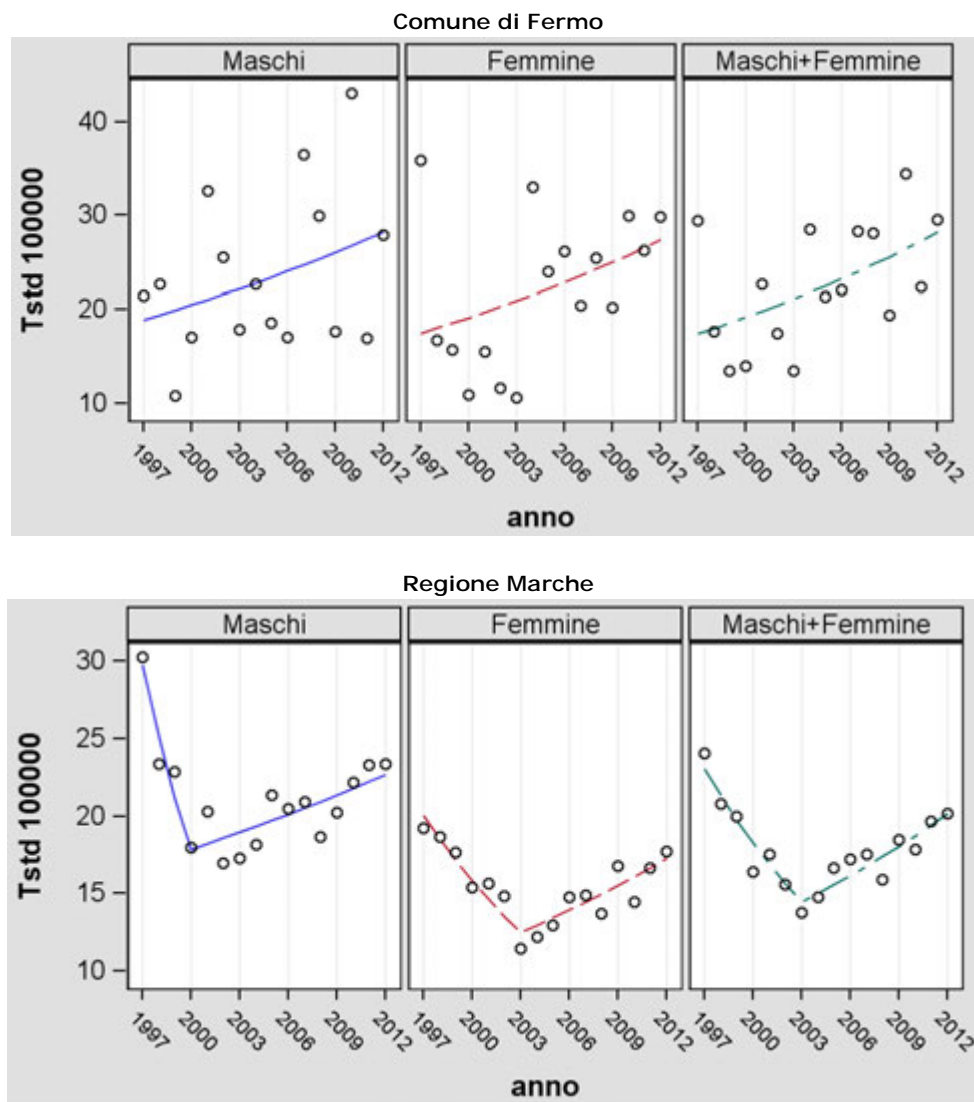
Figura 1. Mappa di rischio di tutti i ricoveri per malattie ischemiche acute (infarto miocardico, altre forme acute e subacute di cardiopatia ischemica) (ICD-IX: 410-411) - Cluster statisticamente significativo, femmine - riferimento regione Marche.



3.1.2 Trend temporali dei ricoveri ospedalieri dei residenti di tutte le età

Per i primi ricoveri per mieloma multiplo e tumori immunoproliferativi (ICD-IX: 203) vengono riportati graficamente i trend temporali dei tassi standardizzati di incidenza, per il comune di Fermo e per l'area di riferimento, la regione Marche, per tutto il periodo per il quale sono disponibili le informazioni relative alle dimissioni ospedaliere, dal 1997 al 2012 (figura 2), poiché, in particolare per i due generi in totale, nel comune in studio si sono riscontrati andamenti significativamente crescenti non in linea con quelli registrati nella regione Marche.

Figura 2. Trend temporali di primi ricoveri ospedalieri per mieloma multiplo e tumori immunoproliferativi (ICD-IX: 203) – Anni 1997-2012, tutte le età



3.2 MORTALITÀ DEI RESIDENTI DI TUTTE LE ETÀ

Le tabelle C1 e C2 in appendice riportano, per i comuni di Fermo e Ponzano di Fermo rispettivamente, il numero di casi osservati, il numero di casi attesi, i cluster statisticamente significativi, il rapporto standardizzato di incidenza percentuale del cluster, il tasso standardizzato per 100.000 abitanti, il rapporto standardizzato di incidenza percentuale e il rapporto di incidenza bayesiano percentuale, con i relativi intervalli di probabilità e credibilità al 90%, eccessi e difetti statisticamente significativi e trend temporali per le patologie in studio, calcolati sui decessi per causa dei residenti di tutte le età sul periodo 2006-2011.

La tabella 9 riporta gli eventi sanitari che si sono verificati nel comune di Fermo che necessitano di particolare attenzione, in quanto fanno rilevare una situazione critica in confronto con il riferimento regionale (indicatori statisticamente significativi); nel comune di Ponzano di Fermo non si sono osservati eccessi significativi nei decessi dei residenti di tutte le età.

Tabella 9. Eventi sanitari statisticamente significativi che necessitano di particolare attenzione - Decessi, tutte le età – riferimento regione Marche

	Causa (ICD-X)	Genere	SIR sign.	BIR sign.	Trend	Livello attenzione
Fermo	Malattie del sistema nervoso e degli organi di senso (G00-H95)	M	↑	↑	→	5 
	Tumori maligni della mammella (C50)	F	↑	↑	→	4 
	Malattie del sistema nervoso e degli organi di senso (G00-H95)	M + F	↑	↑	↘	4 
	Morbo di Parkinson (G20)	F		↑	n.c.	4 
	Malattia di Alzheimer (G30)	F	↑	↑	→	4 
	Malattia di Alzheimer (G30)	M + F	↑	↑	↘	4 

↑ / ↗ = eccessi/incrementi, ↓ / ↘ = difetti/decrementi statisticamente significativi; n.c. = non calcolabile

Il comune di **Fermo** mostra eccessi statisticamente significativi di decessi rispetto alla regione Marche (tabella C1 in appendice) per:

	<p>le malattie del sistema nervoso e degli organi di senso (ICD-X: G00-H95) dei residenti di genere maschile, con un rapporto standardizzato di incidenza percentuale pari a 158 (I.C. 90%: 130-190), un rapporto di incidenza bayesiano di 119 (I.C. 90%: 104-146) e un trend temporale costante;</p>
	<p>le malattie del sistema nervoso e degli organi di senso (ICD-X: G00-H95) dei due generi nel complesso con SIR di 144 (I.C. 90%: 126-164) e BIR di 119 (I.C. 90%: 109-130), ma con un trend temporale in significativo calo;</p> <p>i tumori maligni della mammella (ICD-X: C50) (SIR: 129, I.C. 90%: 104-160; BIR: 114, I.C. 90%: 104-126), con andamento nel tempo costante;</p> <p>il morbo di Parkinson (ICD-X: G20) dei residenti di genere femminile con un rapporto di incidenza bayesiano di 128 (I.C. 90%: 101-155) e SIR non statisticamente significativo;</p> <p>la malattia di Alzheimer (ICD-X: G30) sia delle femmine (SIR: 163, I.C. 90%: 129-206; BIR: 126, I.C. 90%: 109-165) che dei due generi in totale (SIR: 164, I.C. 90%: 136-197; BIR: 139, I.C. 90%: 116-163); solo per i due generi si evidenzia un trend temporale in significativo calo.</p>

3.2.1 Cluster di decessi dei residenti di tutte le età

L'analisi spaziale su base comunale, effettuata per individuare eventuali cluster di decessi, ha messo in evidenza, nell'ambito delle patologie che necessitano di particolare attenzione, che il comune di Fermo fa parte di un cluster spaziale di decessi statisticamente significativo ($p\text{-value} < 0,05$) per le malattie del sistema nervoso e degli organi di senso dei maschi e di maschi e femmine insieme e per il morbo di Parkinson delle femmine, tuttavia, il numero di comuni compreso nei cluster è troppo elevato per poter ipotizzare cause di origine ambientale.

3.2.2 Trend temporali dei decessi dei residenti di tutte le età

Per il tumore del fegato e dei dotti biliari (ICD-X: C22) dei maschi e i tumori maligni del pancreas (ICD-X: C25) nei due generi in totale nel comune di Fermo per l'intero periodo, 2006-2011, si sono riscontrati andamenti significativamente crescenti dei decessi in maniera statisticamente significativa; in figura 3 e 4 sono riportati i relativi grafici, insieme a quelli che riportano l'andamento del riferimento regionale.

Figura 3. Trend temporali di decessi per tumore del fegato e dei dotti biliari (ICD-X: C22) – Anni 2006-2011, tutte le età

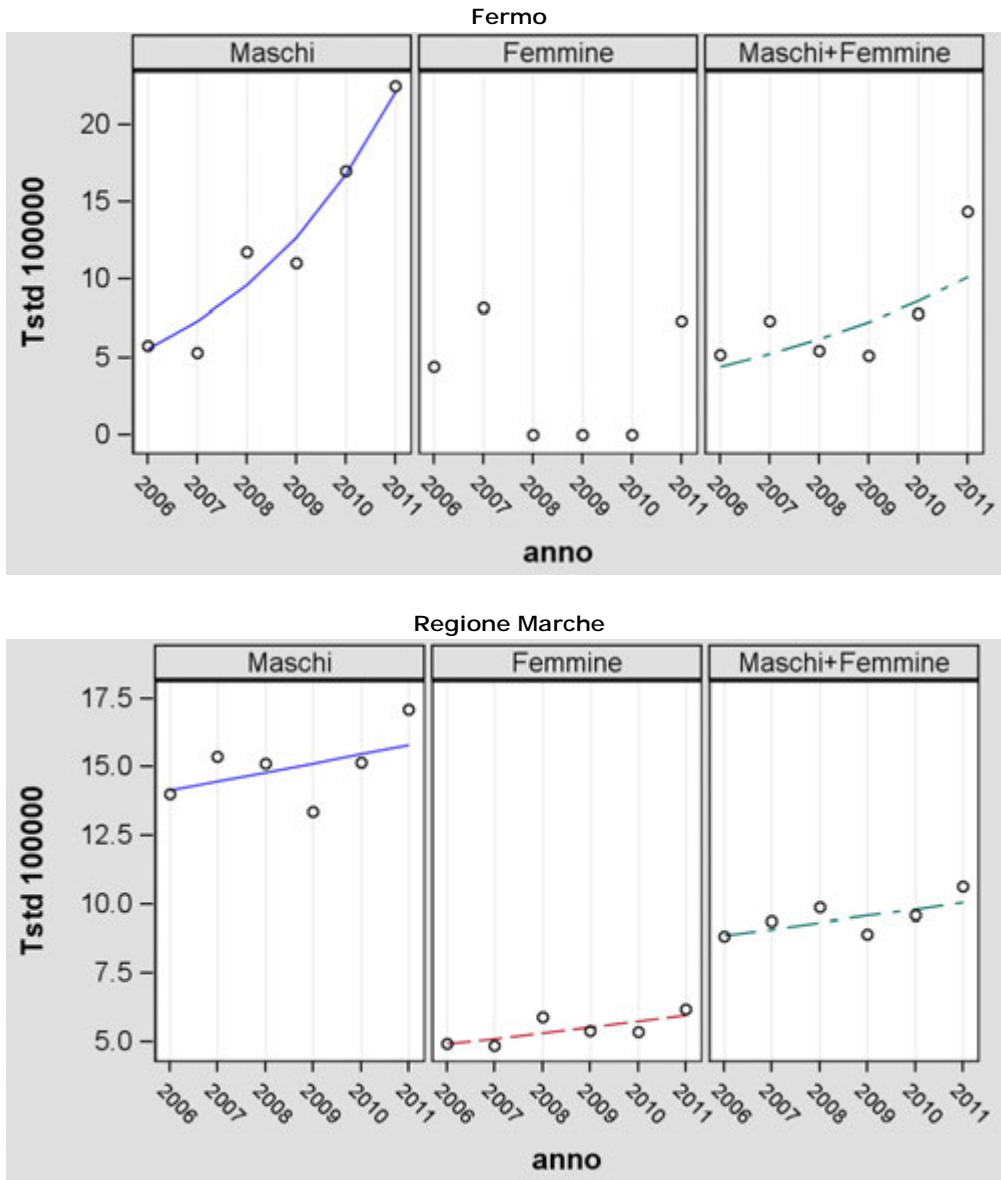
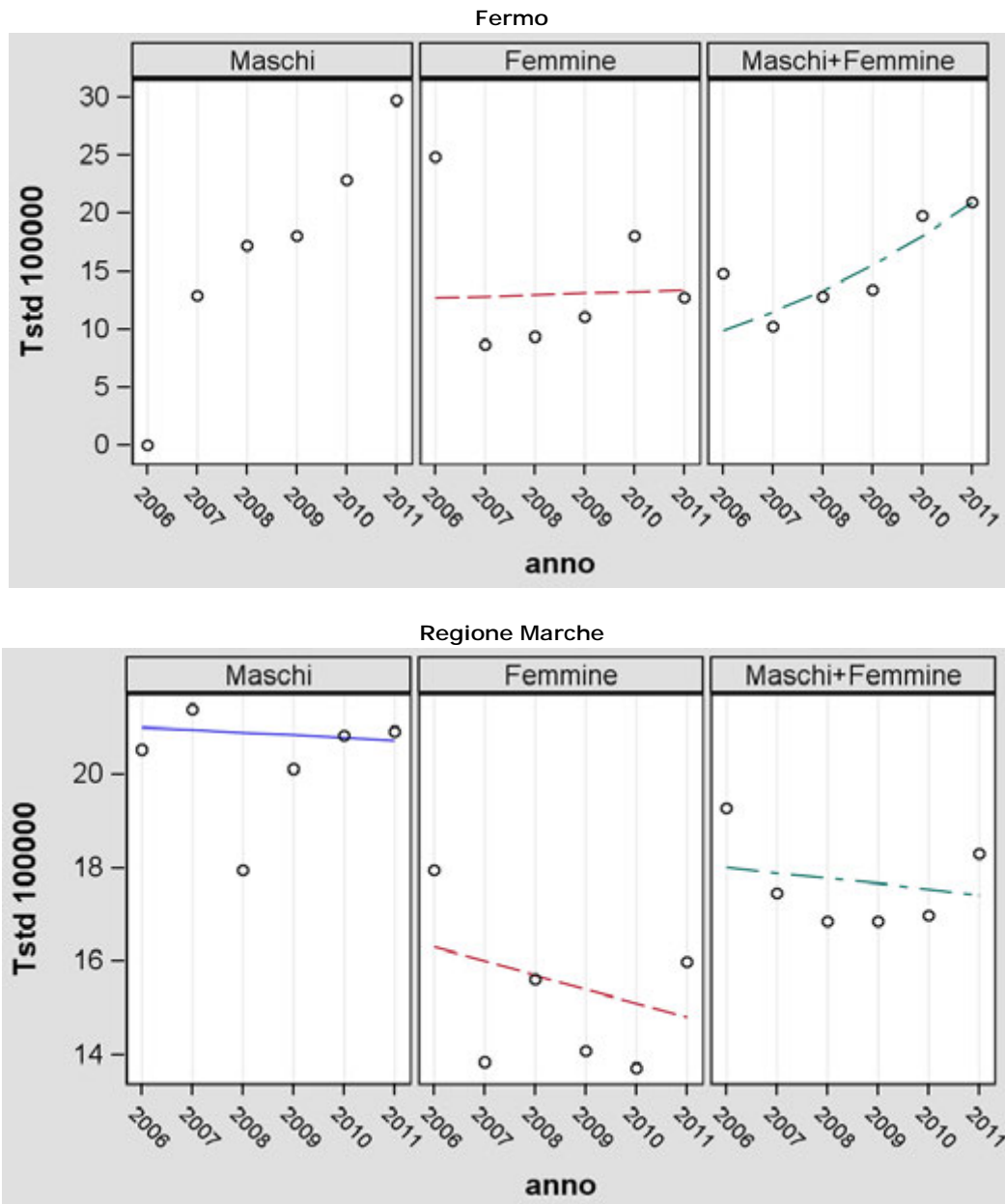


Figura 4. Trend temporali di decessi per tumori maligni del pancreas (ICD-X: C25) – Anni 2006-2011, tutte le età



3.3 RICOVERI OSPEDALIERI DEI RESIDENTI DI ETÀ PEDIATRICA (0-14 ANNI)

Le tabelle A1.b-A2.b e B1.b-B2.b in appendice riportano, rispettivamente per i comuni di Fermo e Ponzano di Fermo, il numero di casi osservati, il numero di casi attesi, i cluster statisticamente significativi, il rapporto standardizzato di incidenza percentuale del cluster, il tasso standardizzato per 100.000 abitanti, il rapporto standardizzato di incidenza percentuale e il rapporto di incidenza bayesiano percentuale, con i relativi intervalli di probabilità e credibilità al 90%, eccessi e difetti statisticamente significativi e trend temporali per le patologie in studio, calcolati sui ricoveri ospedalieri dei residenti di età pediatrica, 0-14 anni, per causa sul periodo 2006-2012 (tabelle A: tutti gli eventi, tabelle B: primi eventi). Le analisi sono state effettuate considerando i due generi insieme.

La tabella 10 mostra gli eventi sanitari che si sono verificati nei comuni di Fermo e Ponzano di Fermo che necessitano di particolare attenzione, in quanto fanno rilevare una situazione critica in confronto con il riferimento regionale (indicatori statisticamente significativi).

Tabella 10. Eventi sanitari statisticamente significativi che necessitano di particolare attenzione – Ricoveri ospedalieri, età 0-14 anni– riferimento regione Marche

	Causa (ICD-IX)	SIR sign.	BIR sign.	Trend	Livello attenzione
Fermo	Avvelenamenti accidentali (850-869)*	↑	↑	n.c.	5 
	Malattie endocrine e della nutrizione (240-279)	↑	↑	→	4 
	Malattie dell'apparato urinario (580-599)	↑	↑	↘	4 
	Tutte le cause (000-999)*	↑	↑	↘	4 
	Traumatismi e avvelenamenti (800-999)*	↑	↑	↘	4 
Ponzano di Fermo	Tutte le cause (000-999)		↑	↘	4 

↑ / ↗ = eccessi/incrementi, ↓ / ↘ = difetti/decrementi statisticamente significativi; n.c. = non calcolabile

* Per queste cause sono stati considerati tutti gli eventi avvenuti nel periodo

Il comune di **Fermo** mostra eccessi statisticamente significativi rispetto alla regione Marche (tabelle A1.b e B1.b in appendice) per:

	tutti i ricoveri per avvelenamenti accidentali (ICD-IX: 850-869);
	tutti i ricoveri per tutte le cause (ICD-IX: 000-999) con un rapporto standardizzato di incidenza percentuale di 114 (I.C. 90%: 108-119) e un indicatore bayesiano di 114 (I.C. 90%: 110-117), con trend temporale in calo; tutti i ricoveri per traumatismi e avvelenamenti (ICD-IX: 800-999) e trend in discesa; primi ricoveri per le malattie endocrine e della nutrizione (ICD-IX: 240-279) con SIR pari a 125 (I.C. 90%: 114-137) e BIR di 123 (I.C. 90%: 112-133), con un andamento temporale costante; primi ricoveri per le malattie dell'apparato urinario (ICD-IX: 580-599) con un rapporto standardizzato di incidenza percentuale di 139 (I.C. 90%: 119-164) e un indicatore bayesiano di 122 (I.C. 90%: 109-133), con trend temporale in calo.

Nel comune di **Fermo** si sono osservati difetti statisticamente significativi rispetto al riferimento regionale, con un trend temporale per tutto il periodo in studio in significativo calo, (tabelle A1.b e B1.b in appendice) per:

	tutti i ricoveri per le infezioni acute delle vie respiratorie, polmonite e influenza (ICD-IX: 460-466, 480-487); primi ricoveri per le malattie infettive (ICD-IX: 001-139), le malattie neuropsichiatriche (ICD-IX: 290-319) e le malattie dell'apparato respiratorio (ICD-IX: 460-5199).
---	--

Il comune di **Ponzano di Fermo** mostra eccessi statisticamente significativi rispetto alla regione Marche (tabelle A2_b e B2_b in appendice) per:

	tutti i ricoveri per tutte le cause (ICD-IX: 000-999) con un indicatore bayesiano di 117 (I.C. 90%: 103-132), un rapporto standardizzato di incidenza non statisticamente significativo e trend temporale in calo.
---	--

3.3.1 Cluster di malattia dei residenti di età pediatrica (0-14 anni)

L'analisi spaziale su base comunale tra i residenti di età pediatrica, effettuata per individuare eventuali cluster di casi che comprendano i due comuni di Fermo e Ponzano di Fermo, ha messo in evidenza, che entrambi i comuni in studio fanno parte di aggregati spaziali statisticamente significativi ($p\text{-value} < 0,05$) per tutti i ricoveri ospedalieri per tutte le cause.

Il solo comune di Fermo fa parte di un cluster per le malattie dell'apparato urinario; tuttavia per tutte le cause riportate il numero di comuni compreso nel cluster è troppo elevato per poter ipotizzare cause di origine ambientale.

3.3.2 Trend temporali dei ricoveri ospedalieri dei residenti di età pediatrica (0-14 ANNI)

Per tutte le patologie in studio per l'intero periodo, 2006-2011, non si sono riscontrati andamenti significativamente crescenti dei ricoveri ospedalieri per causa in maniera statisticamente significativa.

3.4 MORTALITÀ DEI RESIDENTI DI ETÀ PEDIATRICA (0-14 ANNI)

L'analisi sulla mortalità per causa dei residenti di 0-14 anni nei due comuni di Fermo e Ponzano di Fermo non ha evidenziato decessi in quella fascia d'età nel periodo in studio.

4. CONSIDERAZIONI CONCLUSIVE

L'obiettivo del presente studio è stato quello di indagare l'occorrenza di alcuni esiti sanitari, quali decessi e ricoveri ospedalieri, nei residenti nei comuni di Fermo e di Ponzano di Fermo, al fine di rilevare eventuali scostamenti dei valori degli indicatori epidemiologici studiati dai riferimenti regionali. Lo studio, infatti, essendo puramente descrittivo, non si propone di verificare associazioni causali con potenziali fonti di pressione ambientale che possono essere individuate sul territorio, ma intende evidenziare, attraverso i risultati ottenuti, situazioni di particolare interesse meritevoli di eventuale approfondimento.

Dai risultati dello studio si rilevano alcune criticità per la presenza di eccessi di eventi sanitari in maniera statisticamente significativa.

Tra i residenti di tutte le età nel comune di Fermo si riscontrano eccessi di primi ricoveri ospedalieri, in particolare per malattie endocrine e della nutrizione e per alcune malattie neurologiche (morbo di Parkinson, malattia dei neuroni motori e malattie neuro-psichiatriche), e di tutti i ricoveri per malattie miocardiche ischemiche acute e croniche, con il comune che fa parte di un cluster statisticamente significativo.

In eccesso anche i primi ricoveri per tumori maligni del colon-retto, ma in questo caso il comune non fa parte di un cluster; l'eccesso per i primi ricoveri per malattie cerebrovascolari presenta un trend in discesa.

Tra i residenti di tutte le età nel comune Ponzano di Fermo si riscontrano eccessi di primi ricoveri ospedalieri, in particolare per gozzo non tossico tra le femmine, e il comune è inserito in un aggregato spaziale di altri comuni con il medesimo eccesso. Si riscontra inoltre un eccesso di tutti i ricoveri per malattie miocardiche ischemiche acute e croniche, con il comune che fa parte di un cluster statisticamente significativo.

A Fermo tra i residenti di età inferiore ai 15 anni si rilevano eccessi di primi ricoveri per malattie endocrine e della nutrizione e malattie dell'apparato urinario, quest'ultimo eccesso con trend in diminuzione. Interessante è infine l'eccesso di tutti i ricoveri pediatrici per avvelenamenti accidentali.

A Ponzano di Fermo tra i residenti di età inferiore ai 15 anni non si rilevano particolari criticità nei ricoveri ospedalieri.

Per quanto riguarda i decessi nella popolazione di tutte le età nel comune di Fermo, un dato significativo viene evidenziato dalle malattie del sistema nervoso e degli organi di senso, e dal tumore maligno della mammella. Non si riscontrano eccessi di morte nella popolazione infantile.

Per l'evento decesso non si rilevano criticità nel comune di Ponzano di Fermo tra i residenti, sia di tutte le età che di età inferiore ai 15 anni.

Nel complesso la situazione sanitaria dei residenti nei comuni di Fermo e di Ponzano di Fermo, almeno sulla base dell'analisi dei dati sui ricoveri ospedalieri e sui decessi, pare non particolarmente preoccupante, specie in assenza di informazioni su specifiche pressioni ambientali nell'area. Si raccomanda comunque di mantenere l'attenzione sulle patologie per cui è stato evidenziato uno scostamento dall'andamento regionale.

Pur non riportando la significatività statistica, è infine importante segnalare, per una eventuale sorveglianza nel tempo, l'andamento a Fermo dei ricoveri per mieloma multiplo e tumori immunoproliferativi.

BIBLIOGRAFIA

1. Pirastu R, Iavarone I, Pasetto R, Zona A, Comba P. SENTIERI -Studio epidemiologico nazionale dei territori e degli insediamenti esposti a rischio da inquinamento: mortalità, incidenza oncologica e ricoveri ospedalieri. *Epidemiologia & Prevenzione*. 2011 Settembre-dicembre; 35(5-6).
2. Caranci N, Biggeri A, Grisotto L, Pacelli B, Spadea T, Costa G. L'indice di deprivazione italiano a livello di sezione di censimento: definizione, descrizione e associazione con la mortalità 167-176. *Epidemiol Prev*. 2010 luglio-agosto; 34 (4)(167-176).
3. Kim H, Fay M, Feuer E, Midthune D. Permutation tests for joinpoint regression with applications to cancer rates. *Stat Med*. 2000; 19(335-51).
4. Kulldorff M. A spatial scan statistic. *Communications in Statistics: Theory and Methods*. 1997; 26(1481-1496).
5. Kulldorff M, Huang L, Pickle L, Duczmal L. An elliptic spatial scan statistics. *Statistics in Medicine*. 2006; 25(3929-3943).
6. Kulldorff M. A spatial scan statistic. *Communication in statistics: Theory and Methods*. 1997; 26(1481-1496).
7. Besag J, York J, Mollié A. Bayesian image restoration with two applications in spatial statistics. *Annals of the Institute of Statistical Mathematics*. 1991; 43: p. 1-59.

BREVE GLOSSARIO

Termine	Definizione
Cancerogenicità	Capacità di una sostanza di provocare il cancro.
Caso incidente	Il nuovo caso di malattia che compare nel periodo in studio; è definito come il primo evento registrato nel periodo, dello stesso individuo per la stessa causa, considerando o meno un periodo temporale precedente il periodo in studio per l'esclusione degli eventi.
Causalità	Definisce il vincolo concettuale tra fenomeni che seguono uno all'altro in quanto uno è evidente causa dell'altro.
Cluster spaziale	Una aggregazione anomala di eventi (sanitari, economici, etc.) limitata geograficamente.
Follow-up (studio di)	Studio analitico in cui l'arruolamento è basato sullo stato di esposizione a un certo fattore o all'appartenenza a un certo gruppo. Gli individui arruolati vengono quindi seguiti nel tempo per verificare e confrontare l'occorrenza di malattie, morte o altri esiti relativi alla salute (anche studio di coorte).
ICD IX-CM codifica	La classificazione ICD9-CM (International Classification of Diseases, 9th revision – Clinical Modification) descrive in codici alfa-numeriche i termini medici in cui sono espressi le diagnosi di malattia o di traumatismo, gli altri problemi di salute, le cause di traumatismo, le procedure diagnostiche e terapeutiche e gli interventi chirurgici. Tale classificazione è utilizzata per la codifica delle diagnosi e delle procedure/interventi riportate nella Scheda di Dimissione Ospedaliera (SDO). A partire dal primo gennaio 2009, per la codifica delle diagnosi, principale e secondarie, e degli interventi/procedure, principali e secondari, viene adottata per tutto il territorio nazionale la versione 2007 della classificazione ICD9-CM.
Incidenza	Numero di nuovi casi di una malattia o condizione che si sviluppa in una popolazione durante un determinato intervallo di tempo. Può essere definita in due modi: tasso di incidenza, corrisponde al quoziente ottenuto ponendo al numeratore il numero di nuovi casi verificati in una popolazione e come denominatore il tempo-persona a rischio durante lo studio; rischio (tasso di incidenza cumulativa), corrisponde al quoziente ottenuto ponendo al numeratore il numero di nuovi casi verificati in una popolazione e come denominatore il numero di persone a rischio all'inizio dello studio, il tutto moltiplicato per una costante pari a cento o multiplo di cento.
Indice di deprivazione	L'indicatore sintetico di deprivazione rappresenta una misura importante nell'ambito dell'analisi dell'esclusione sociale. A partire da una pluralità di indicatori semplici, riferiti a diverse dimensioni del disagio economico, l'indicatore sintetico fornisce un'utile indicazione sulla diffusione di alcune difficoltà del vivere quotidiano e rappresenta un complemento all'analisi condotta in termini di povertà monetaria. Come altre dimensioni del disagio, anche la deprivazione mostra una forte associazione con il territorio, la struttura familiare, il livello di istruzione e la partecipazione al mercato del lavoro.
Intervallo di confidenza	L'intervallo di confidenza fornisce informazioni riguardo alla precisione dei valori ottenuti attraverso lo studio di un campione, in modo tale che si può confidare - con un margine di certezza ragionevole - che un dato intervallo contenga il <i>valore vero</i> ricercato. L'intervallo di confidenza rappresenta un parametro di fondamentale importanza soprattutto negli studi epidemiologici in cui la variabilità del campione (molto spesso dovuta al fatto che il campione è piccolo) potrebbe distorcere l'interpretazione dei risultati.

Morbosità	E' definita come la frequenza od occorrenza, in valore assoluto, dell'evento malattia in una popolazione. Le due più importanti misure di frequenza degli eventi in epidemiologia sono la prevalenza e l'incidenza.
Mortalità	Numero di morti in rapporto alla popolazione studiata in un anno.
Organismo	Essere vivente inteso come unità (una singola pianta, un singolo animale).
Organo	Qualsiasi parte di un organismo che svolge una funzione definita; un gruppo di cellule o di tessuti che agiscono come unità per qualche scopo specifico.
Proxy	Indicatore indiretto che approssima l'esposizione o l'effetto.
Rapporto standardizzato di incidenza/morbosità/mortalità (SIR Standardized incidence ratio; SMR, Standardized morbidity/mortality ratio)	E' una misura sintetica che stima il rischio relativo di morbosità/incidenza di una patologia in un'area in studio. Il SIR/SMR è dato dal rapporto percentuale tra il numero di eventi osservati e il numero di eventi attesi nell'area in studio ed esprime l'eccesso (SIR/SMR maggiore di 100) o il difetto (SIR/SMR minore di 100) di morbosità/incidenza esistente tra la popolazione dell'area in studio e la popolazione presa come riferimento, al netto delle variabili di confondimento considerate. Essendo uno stimatore basato su un rapporto, il SIR/SMR assume dei valori estremamente alti in presenza di eventi attesi molto bassi (vicino allo zero), anche con eventi osservati pari a uno o di poco superiori; di conseguenza, in presenza di un numero esiguo di eventi e/o di una popolazione a rischio piccola, la mappa dei SIR/SMR può fornire una rappresentazione del rischio di incidenza nell'area in studio lontana dalla situazione reale.
Rapporto di incidenza/morbosità/mortalità bayesiano (BIR, bayesian incidence ratio; BMR, bayesian morbidity/mortality ratio)	E' una stima bayesiana del rischio relativo di incidenza/morbosità/mortalità di una patologia ed è determinata con metodi iterativi tenendo conto contemporaneamente sia della variabilità generale dei rischi nell'area di riferimento e sia i rischi adiacenti all'area in studio considerata. Il BIR/BMR mostra una minore variabilità rispetto al SIR/SMR poiché i valori estremi di SIR/SMR tendono a scomparire rendendo la mappa più correttamente interpretabile.
Serie storica	E' la registrazione cronologica di un fenomeno.
Significatività statistica	Si ottiene quando determinate misurazioni nell'ambito di uno studio di comparazione portano a ipotizzare che un dato risultato sia non casuale (cioè non una conseguenza di un caso).
Stimatore	Una funzione che associa ad ogni possibile campione un valore del parametro da stimare. È una funzione di un campione di dati estratti casualmente da una popolazione. Il valore assunto dallo stimatore in corrispondenza a un particolare campione è detto stima.
Studi descrittivi di epidemiologia spaziale (o geografici)	Studi che effettuano la descrizione e l'analisi delle variazioni geografiche di eventi sanitari in relazione a fattori di rischio demografici, ambientali, comportamentali, genetici e socio-economici. In base alle finalità perseguite, si possono suddividere in quattro tipologie: mappe di rischio, correlazione geografica, valutazione del rischio in riferimento a fonti puntuali o lineari di emissione, identificazione di cluster.
Tasso grezzo	Rapporto tra il numero di eventi osservati (ricoveri ordinari, accessi in day hospital) nel periodo e la popolazione residente. Il tasso grezzo x 1000 esprime il numero medio di eventi osservati in un anno per 1000 residenti.
Tasso standardizzato con metodo diretto	Per poter effettuare confronti tra realtà territoriali diverse (comuni) occorre assicurarsi che fattori riconosciuti influenti sul rischio di ricevere una prestazione assistenziale non siano distribuiti in modo diverso fra le aree che si vogliono porre a confronto (variabili di confondimento). Il tasso standardizzato rappresenta quindi la misura della frequenza di quel particolare evento misurato in diverse popolazioni, utilizzando la stessa distribuzione delle variabili di confondimento di una popolazione standard. In questa sede i tassi sono stati standardizzati per sesso ed età, usando

	come popolazione standard quella regionale dello stesso anno, calcolando il numero di eventi per 1000 residenti. I tassi standardizzati diventano così comparabili, almeno per i fattori controllati, tra le diverse popolazioni analizzate.
Trend di una serie storica	E' la tendenza di fondo del fenomeno osservato nel lungo periodo; esprime la tendenza all'incremento o al decremento dei valori della serie nel lungo periodo.

APPENDICE

POPOLAZIONE DI TUTTE LE ETA'

Tabella A1. Ricoveri ospedalieri (tutti) per causa nel comune di Fermo, tutte le età - Anni 2006-2012, confronto Regione Marche

Causa (ICD-IX) Fermo	Genere	Osservati	Attesi	n. cluster sign.	SIR cluster	Tasso std. * 100000 (ic)	SIR (ic)	BIR (ic)	SIR sign.	BIR sign.	Trend	Livello attenzione
Tutte le cause (escl. cataratta, IVG, parto, trattamenti e violente) (000-365, 367-634, 636-649, 655-659, 670-799)	F	18976	18037	.	.	13884 (13607-14166)	105 (103-107)	105 (104-106)	↑	↑	↘	4 
Tutte le cause (escl. cataratta, IVG, parto, trattamenti e violente) (000-365, 367-634, 636-649, 655-659, 670-799)	M	18549	18446	.	.	14137 (13837-14444)	101 (98-103)	101 (100-102)			↘	0 
Tutte le cause (escl. cataratta, IVG, parto, trattamenti e violente) (000-365, 367-634, 636-649, 655-659, 670-799)	M + F	37525	36483	.	.	14007 (13802-14214)	103 (101-104)	103 (102-104)	↑	↑	↘	4 
Malattie infettive (001-139)	F	275	271.9	.	.	202 (179-227)	101 (90-114)	98 (91-106)			→	0 
Malattie infettive (001-139)	M	347	324.5	.	.	268 (242-297)	107 (97-118)	104 (97-113)			↘	0 
Malattie infettive (001-139)	M + F	622	596.4	.	.	234 (216-253)	104 (96-113)	104 (98-111)			↘	0 
Malattie ischemiche acute (infarto miocardico, altre forme acute e subacute di cardiopatia ischemica) (410-411)	F	431	329.0	1	136.9	310 (276-347)	131 (117-147)	128 (121-134)	↑	↑	→	5 
Malattie ischemiche acute (infarto miocardico, altre forme acute e subacute di cardiopatia ischemica) (410-411)	M	683	613.6	1	111.7	509 (466-555)	111 (102-122)	111 (105-117)	↑	↑	→	5 

Causa (ICD-IX) Fermo	Genere	Osservati	Attesi	n. cluster sign.	SIR cluster	Tasso std. * 100000 (ic)	SIR (ic)	BIR (ic)	SIR sign.	BIR sign.	Trend	Livello attenzione
Malattie ischemiche acute (infarto miocardico, altre forme acute e subacute di cardiopatia ischemica) (410-411)	M + F	1114	942.6	1	110.6	406 (379-436)	118 (110-127)	119 (112-123)	↑	↑	→	5 
Malattie ischemiche del cuore (410-4149)	F	614	482.4	1	115.1	441 (399-488)	127 (115-141)	123 (117-130)	↑	↑	↘	4 
Malattie ischemiche del cuore (410-4149)	M	1189	1017.2	1	110.9	894 (834-958)	117 (109-125)	117 (110-123)	↑	↑	↘	4 
Malattie ischemiche del cuore (410-4149)	M + F	1803	1499.6	1	110.8	661 (624-700)	120 (114-127)	120 (116-124)	↑	↑	↘	4 
Malattie acute delle prime vie aeree (460-466)	F	112	106.9	.	.	84 (71-99)	105 (89-123)	100 (86-114)			→	0 
Malattie acute delle prime vie aeree (460-466)	M	102	123.9	.	.	79 (67-94)	82 (70-97)	81 (73-97)	↓	↓	↘	0 
Malattie acute delle prime vie aeree (460-466)	M + F	214	230.7	.	.	82 (73-92)	93 (83-104)	91 (81-100)		↓	↘	0 
Asma (493)	F	21	35.9	.	.	16 (10-24)	58 (39-88)	62 (48-75)	↓	↓	↘	0 
Asma (493)	M	31	34.5	.	.	24 (17-34)	90 (65-124)	84 (67-105)			n.c.	0 
Asma (493)	M + F	52	70.5	.	.	20 (15-26)	74 (57-95)	74 (59-88)	↓	↓	↘	0 
Aborto spontaneo (634)	F	163	149.0	1	149.5	124 (108-142)	109 (96-125)	110 (98-119)			→	2 

Causa (ICD-IX) Fermo	Genere	Osservati	Attesi	n. cluster sign.	SIR cluster	Tasso std. * 100000 (ic)	SIR (ic)	BIR (ic)	SIR sign.	BIR sign.	Trend	Livello attenzione
Cause maldefinite (780-799)	F	673	734.0	.	.	495 (461-531)	92 (85-98)	91 (86-96)	↓	↓	↘	0 
Cause maldefinite (780-799)	M	726	823.5	.	.	554 (517-593)	88 (82-94)	89 (83-95)	↓	↓	→	0 
Cause maldefinite (780-799)	M + F	1399	1557.5	.	.	524 (499-550)	90 (86-94)	90 (87-94)	↓	↓	↘	0 
Accidenti da trasporto (800-848)	F	1017	926.0	2	110.4	739 (698-782)	110 (104-116)	109 (104-115)	↑	↑	↘	4 
Accidenti da trasporto (800-848)	M	939	842.3	.	.	736 (695-780)	111 (105-118)	110 (105-114)	↑	↑	↘	4 
Accidenti da trasporto (800-848)	M + F	1956	1768.3	1	108.8	738 (708-768)	111 (106-115)	110 (106-114)	↑	↑	→	5 
Traumatismi e avvelenamenti (800-999)	F	1655	1543.8	.	.	1206 (1151-1264)	107 (102-112)	106 (102-111)	↑	↑	↘	4 
Traumatismi e avvelenamenti (800-999)	M	1798	1692.4	.	.	1403 (1341-1468)	106 (102-111)	105 (102-109)	↑	↑	↘	4 
Traumatismi e avvelenamenti (800-999)	M + F	3453	3236.3	.	.	1302 (1260-1345)	107 (103-110)	106 (104-109)	↑	↑	↘	4 
Avvelenamenti accidentali (850-869)	F	153	120.0	1	129.4	113 (98-131)	128 (110-148)	114 (102-127)	↑	↑	↘	4 
Avvelenamenti accidentali (850-869)	M	235	206.8	.	.	181 (160-204)	114 (101-128)	108 (97-115)	↑		↘	2 
Avvelenamenti accidentali (850-869)	M + F	388	326.7	2	123.3	146 (133-160)	119 (108-130)	114 (104-123)	↑	↑	↘	4 

Causa (ICD-IX) Fermo	Genere	Osservati	Attesi	n. cluster sign.	SIR cluster	Tasso std. * 100000 (ic)	SIR (ic)	BIR (ic)	SIR sign.	BIR sign.	Trend	Livello attenzione
Cadute ed altri infortuni (880-928)	F	113	144.7	.	.	83 (70-98)	78 (66-92)	82 (70-90)	↓	↓	↘	0 
Cadute ed altri infortuni (880-928)	M	277	256.3	.	.	220 (198-244)	108 (97-120)	104 (93-115)			→	0 
Cadute ed altri infortuni (880-928)	M + F	390	401.1	.	.	149 (137-163)	97 (89-106)	96 (90-102)			↘	0 

Tabella A2. Ricoveri ospedalieri (tutti) per causa nel comune di Ponzano di Fermo, tutte le età - Anni 2006-2012, confronto Regione Marche

Causa (ICD-IX) Ponzano di Fermo	Genere	Osservati	Attesi	n. cluster sign.	SIR cluster	Tasso std. * 100000 (ic)	SIR (ic)	BIR (ic)	SIR sign.	BIR sign.	Trend	Livello attenzione
Tutte le cause (escl. cataratta, IVG, parto, trattamenti e violente) (000-365, 367-634, 636-649, 655-659, 670-799)	F	777	740.0	.	.	13686 (12400-15106)	105 (95-116)	104 (97-111)			↘	0 😊
Tutte le cause (escl. cataratta, IVG, parto, trattamenti e violente) (000-365, 367-634, 636-649, 655-659, 670-799)	M	692	823.8	.	.	11722 (10606-12956)	84 (76-93)	87 (82-93)	↓	↓	↘	0 😊
Tutte le cause (escl. cataratta, IVG, parto, trattamenti e violente) (000-365, 367-634, 636-649, 655-659, 670-799)	M + F	1469	1563.8	.	.	12733 (11866-13663)	94 (88-101)	94 (91-98)		↓	↘	0 😊
Malattie infettive (001-139)	F	<5	11.8	.	.	66 (20-214)	34 (15-77)	71 (53-103)	↓		n.c.	0 😊
Malattie infettive (001-139)	M	6	14.8	.	.	103 (45-235)	40 (21-79)	72 (52-102)	↓		n.c.	0 😊
Malattie infettive (001-139)	M + F	10	26.7	.	.	84 (47-150)	37 (22-63)	68 (50-83)	↓	↓	n.c.	0 😊
Malattie ischemiche acute (infarto miocardico, altre forme acute e subacute di cardiopatia ischemica) (410-411)	F	24	12.3	.	.	461 (284-750)	196 (125-308)	139 (112-188)	↑	↑	n.c.	4 😞
Malattie ischemiche acute (infarto miocardico, altre forme acute e subacute di cardiopatia ischemica) (410-411)	M	31	26.8	1	111.7	524 (351-784)	116 (79-170)	116 (93-140)			n.c.	2 😊
Malattie ischemiche acute (infarto miocardico, altre forme acute e subacute di cardiopatia ischemica) (410-411)	M + F	55	39.0	1	110.6	492 (362-669)	141 (105-189)	127 (107-152)	↑	↑	n.c.	5 😞

Causa (ICD-IX)	Genere	Osservati	Attesi	n. cluster sign.	SIR cluster	Tasso std. * 100000 (ic)	SIR (ic)	BIR (ic)	SIR sign.	BIR sign.	Trend	Livello attenzione
Malattie ischemiche del cuore (410-4149)	F	32	17.9	1	115.1	615 (390-971)	179 (115-278)	135 (105-168)	↑	↑	→	5 
Malattie ischemiche del cuore (410-4149)	M	53	44.2	1	110.9	915 (665-1259)	120 (88-163)	118 (103-137)		↑	→	4 
Malattie ischemiche del cuore (410-4149)	M + F	85	62.0	1	110.8	761 (585-989)	137 (106-176)	127 (109-142)	↑	↑	→	5 
Malattie acute delle prime vie aeree (460-466)	F	<5	>5	.	.	48 (9-262)	61 (24-159)	76 (41-116)			n.c.	0 
Malattie acute delle prime vie aeree (460-466)	M	<5	>5	.	.	53 (10-286)	54 (21-140)	67 (45-92)		↓	n.c.	0 
Malattie acute delle prime vie aeree (460-466)	M + F	6	10.4	.	.	50 (22-115)	57 (29-112)	63 (44-89)		↓	n.c.	0 
Asma (493)	F	<5	<5	.	.	14 (.-.)	62 (12-320)	64 (41-96)		↓	n.c.	0 
Asma (493)	M	0	1.6	.	.	0 (.-.)	0 (0-141)	74 (40-104)			n.c.	0 
Asma (493)	M + F	<5	<5	.	.	7 (.-.)	31 (6-160)	70 (42-104)			n.c.	0 
Aborto spontaneo (634)	F	6	6.9	1	149.5	101 (44-230)	87 (45-171)	95 (70-134)			n.c.	2 
Cause maldefinite (780-799)	F	39	30.6	.	.	671 (473-953)	127 (89-183)	106 (87-134)			→	0 
Cause maldefinite (780-799)	M	30	37.4	.	.	526 (341-812)	80 (54-119)	88 (72-104)			→	0 

Causa (ICD-IX)	Genere	Osservati	Attesi	n. cluster sign.	SIR cluster	Tasso std. * 100000 (ic)	SIR (ic)	BIR (ic)	SIR sign.	BIR sign.	Trend	Livello attenzione
Ponzano di Fermo Cause maldefinite (780-799)	M + F	69	68.0	.	.	601 (459-787)	101 (78-132)	99 (84-113)			→	0 
Accidenti da trasporto (800-848)	F	41	36.5	2	110.4	743 (564-979)	112 (86-147)	105 (91-119)			n.c.	1 
Accidenti da trasporto (800-848)	M	51	39.7	.	.	815 (632-1051)	129 (100-164)	111 (98-121)	↑		→	2 
Accidenti da trasporto (800-848)	M + F	92	76.2	1	108.8	778 (646-936)	121 (101-145)	110 (100-121)	↑	↑	↗	6 
Traumatismi e avvelenamenti (800-999)	F	66	62.0	.	.	1188 (940-1502)	106 (85-134)	100 (91-115)			→	0 
Traumatismi e avvelenamenti (800-999)	M	85	78.8	.	.	1395 (1121-1737)	108 (88-133)	107 (96-119)			→	0 
Traumatismi e avvelenamenti (800-999)	M + F	151	140.8	.	.	1289 (1099-1511)	107 (92-125)	105 (95-118)			→	0 
Avvelenamenti accidentali (850-869)	F	6	5.0	1	129.4	106 (46-244)	119 (61-233)	119 (74-164)			n.c.	2 
Avvelenamenti accidentali (850-869)	M	8	9.6	.	.	133 (68-260)	84 (47-150)	103 (81-126)			n.c.	0 
Avvelenamenti accidentali (850-869)	M + F	14	14.6	2	123.3	119 (73-192)	96 (62-149)	111 (85-135)			n.c.	1 
Cadute ed altri infortuni (880-928)	F	<5	>5	.	.	64 (20-208)	66 (29-151)	89 (70-111)			n.c.	0 

Causa (ICD-IX) Ponzano di Fermo	Genere	Osservati	Attesi	n. cluster sign.	SIR cluster	Tasso std. * 100000 (ic)	SIR (ic)	BIR (ic)	SIR sign.	BIR sign.	Trend	Livello attenzione
Cadute ed altri infortuni (880-928)	M	13	11.9	.	.	221 (130-376)	109 (67-178)	110 (89-143)			n.c.	0 
Cadute ed altri infortuni (880-928)	M + F	17	18.0	.	.	140 (89-219)	95 (62-144)	101 (80-130)			n.c.	0 

Tabella B1. Primi ricoveri ospedalieri per causa nel comune di Fermo, tutte le età - Anni 2006-2012, confronto Regione Marche

Causa (ICD-IX) Fermo	Genere	Osservati	Attesi	n. cluster sign.	SIR cluster	Tasso std. * 100000 (ic)	SIR (ic)	BIR (ic)	SIR sign.	BIR sign.	Trend	Livello attenzione
Tutte le cause (escl. cataratta, IVG, parto, trattamenti e violente) (000-365, 367-634, 636-649, 655-659, 670-799)	F	9179	8949.6	.	.	6744 (6629-6861)	103 (101-104)	102 (101-104)	↑	↑	↘	4 😞
Tutte le cause (escl. cataratta, IVG, parto, trattamenti e violente) (000-365, 367-634, 636-649, 655-659, 670-799)	M	8237	8274.2	.	.	6350 (6235-6467)	100 (98-101)	99 (98-101)			↘	0 😊
Tutte le cause (escl. cataratta, IVG, parto, trattamenti e violente) (000-365, 367-634, 636-649, 655-659, 670-799)	M + F	17416	17223	.	.	6554 (6472-6636)	101 (100-102)	101 (100-102)		↑	↘	3 😞
Malattie infettive (001-139)	F	234	235.6	.	.	172 (154-191)	99 (89-111)	98 (88-107)			→	0 😊
Malattie infettive (001-139)	M	288	274.3	.	.	223 (201-245)	105 (95-116)	102 (95-112)			↘	0 😊
Malattie infettive (001-139)	M + F	522	509.9	.	.	196 (182-211)	102 (95-110)	100 (93-106)			↘	0 😊
Tumori maligni delle vie aeree e digestive superiori (140-150, 161)	F	20	14.6	.	.	15 (10-21)	137 (95-198)	100 (86-122)			n.c.	0 😊
Tumori maligni delle vie aeree e digestive superiori (140-150, 161)	M	35	46.8	.	.	27 (20-35)	75 (57-99)	91 (77-105)	↓		→	0 😊
Tumori maligni delle vie aeree e digestive superiori (140-150, 161)	M + F	55	61.4	.	.	20 (16-26)	90 (72-112)	90 (80-101)			→	0 😊
Tumori maligni (140-208)	F	941	944.4	.	.	679 (643-716)	100 (94-105)	98 (92-102)			→	0 😊
Tumori maligni (140-208)	M	1041	1094.9	.	.	780 (740-821)	95 (90-100)	95 (91-99)		↓	↘	0 😊
Tumori maligni (140-208)	M + F	1982	2039.5	.	.	728 (701-755)	97 (94-101)	97 (94-100)		↓	↘	0 😊

Causa (ICD-IX) Fermo	Genere	Osservati	Attesi	n. cluster sign.	SIR cluster	Tasso std. * 100000 (ic)	SIR (ic)	BIR (ic)	SIR sign.	BIR sign.	Trend	Livello attenzione
Tumori maligni dell'esofago (150)	F	<5	<5	.	.	1 (0-5)	86 (28-260)	70 (47-119)			n.c.	0 
Tumori maligni dell'esofago (150)	M	<5	>5	.	.	2 (1-6)	47 (19-117)	62 (44-85)		↓	n.c.	0 
Tumori maligni dell'esofago (150)	M + F	5	8.7	.	.	2 (1-4)	57 (28-117)	72 (55-93)		↓	n.c.	0 
Tumori maligni dello stomaco (151)	F	35	41.3	.	.	25 (19-34)	85 (64-112)	99 (83-111)			→	0 
Tumori maligni dello stomaco (151)	M	48	56.1	.	.	35 (27-45)	86 (68-108)	92 (78-108)			↘	0 
Tumori maligni dello stomaco (151)	M + F	83	97.4	.	.	30 (25-36)	85 (71-102)	92 (80-104)			↘	0 
Tumori maligni dell'intestino tenue, compreso il duodeno (152)	F	2	2.6	.	.	1 (0-5)	76 (25-231)	69 (52-105)			n.c.	0 
Tumori maligni dell'intestino tenue, compreso il duodeno (152)	M	5	4.6	.	.	4 (1-8)	109 (53-224)	95 (72-129)			n.c.	0 
Tumori maligni dell'intestino tenue, compreso il duodeno (152)	M + F	7	7.2	.	.	3 (1-5)	97 (53-179)	75 (55-98)		↓	n.c.	0 
Tumori maligni del colon (153)	F	123	88.8	2	129.9	88 (76-103)	138 (119-161)	109 (97-124)	↑		→	3 
Tumori maligni del colon (153)	M	125	106.7	.	.	93 (80-108)	117 (101-136)	106 (93-120)	↑		→	2 
Tumori maligni del colon (153)	M + F	248	195.6	.	.	91 (81-101)	127 (114-141)	111 (101-120)	↑	↑	→	4 
Tumori maligni del colon-retto (153-154)	F	156	123.2	.	.	112 (98-128)	127 (111-144)	110 (101-121)	↑	↑	→	4 

Causa (ICD-IX) Fermo	Genere	Osservati	Attesi	n. cluster sign.	SIR cluster	Tasso std. * 100000 (ic)	SIR (ic)	BIR (ic)	SIR sign.	BIR sign.	Trend	Livello attenzione
Tumori maligni del colon-retto (153-154)	M	165	157.6	.	.	123 (108-140)	105 (92-119)	102 (91-113)			→	0 
Tumori maligni del colon-retto (153-154)	M + F	321	280.9	.	.	117 (107-129)	114 (104-125)	107 (99-115)	↑		→	2 
Tumori maligni del retto, della giunzione retto-sigmoidea e dell'ano (154)	F	40	41.1	.	.	29 (22-37)	97 (75-126)	95 (76-111)			↘	0 
Tumori maligni del retto, della giunzione retto-sigmoidea e dell'ano (154)	M	43	59.9	.	.	32 (24-42)	72 (56-92)	85 (70-100)	↓	↓	↘	0 
Tumori maligni del retto, della giunzione retto-sigmoidea e dell'ano (154)	M + F	83	101.1	.	.	30 (25-36)	82 (69-98)	92 (80-102)	↓		↘	0 
Tumore fegato e dotti biliari (1550-1551)	F	9	9.4	.	.	6 (3-11)	95 (55-164)	79 (61-109)			n.c.	0 
Tumore fegato e dotti biliari (1550-1551)	M	23	21.3	.	.	17 (12-25)	108 (77-152)	95 (77-113)			n.c.	0 
Tumore fegato e dotti biliari (1550-1551)	M + F	32	30.7	.	.	12 (9-16)	104 (78-139)	94 (78-118)			→	0 
Tumori maligni del pancreas (157)	F	26	27.6	.	.	19 (13-26)	94 (68-130)	87 (78-98)		↓	→	0 
Tumori maligni del pancreas (157)	M	22	29.3	.	.	17 (11-24)	75 (53-106)	87 (72-101)			→	0 
Tumori maligni del pancreas (157)	M + F	48	56.9	.	.	18 (14-22)	84 (67-107)	89 (83-100)		↓	→	0 
Tumore del retroperitoneo (1580)	F	<5	<5	.	.	1 (0-4)	53 (12-238)	94 (70-141)			n.c.	0 
Tumore del retroperitoneo (1580)	M	<5	<5	.	.	3 (1-7)	259 (116-577)	86 (57-135)	↑		n.c.	2 

Causa (ICD-IX) Fermo	Genere	Osservati	Attesi	n. cluster sign.	SIR cluster	Tasso std. * 100000 (ic)	SIR (ic)	BIR (ic)	SIR sign.	BIR sign.	Trend	Livello attenzione
Tumore del retroperitoneo (1580)	M + F	5	3.4	.	.	2 (1-4)	146 (71-300)	97 (69-126)			n.c.	0 
Tumori maligni del naso (1600)	F	0	0.5	.	.	0 (0-2)	0 (.-.)	53 (23-92)		↓	n.c.	0 
Tumori maligni del naso (1600)	M	<5	<5	.	.	2 (1-6)	277 (111-694)	98 (73-135)	↑		n.c.	2 
Tumori maligni del naso (1600)	M + F	<5	<5	.	.	1 (0-3)	187 (75-467)	128 (80-214)			n.c.	0 
Tumori maligni della laringe (161)	F	<5	<5	.	.	1 (0-5)	116 (39-352)	91 (57-152)			n.c.	0 
Tumori maligni della laringe (161)	M	15	19.6	.	.	12 (7-18)	77 (50-117)	96 (79-113)			→	0 
Tumori maligni della laringe (161)	M + F	17	21.3	.	.	6 (4-10)	80 (54-119)	84 (65-103)			→	0 
Tumori maligni della trachea, dei bronchi e dei polmoni (162)	F	41	39.8	.	.	29 (22-38)	103 (80-133)	83 (74-94)		↓	→	0 
Tumori maligni della trachea, dei bronchi e dei polmoni (162)	M	107	127.2	.	.	80 (68-95)	84 (72-99)	85 (76-95)	↓	↓	↘	0 
Tumori maligni della trachea, dei bronchi e dei polmoni (162)	M + F	148	167.1	.	.	54 (47-62)	89 (77-101)	88 (80-97)		↓	↘	0 
Tumori maligni della pleura (163)	F	<5	<5	.	.	2 (1-6)	133 (53-333)	73 (46-135)			n.c.	0 
Tumori maligni della pleura (163)	M	<5	>5	.	.	1 (0-4)	18 (4-81)	60 (36-93)	↓	↓	n.c.	0 
Tumori maligni della pleura (163)	M + F	<5	>5	.	.	1 (1-3)	51 (23-114)	61 (43-83)		↓	n.c.	0 

Causa (ICD-IX) Fermo	Genere	Osservati	Attesi	n. cluster sign.	SIR cluster	Tasso std. * 100000 (ic)	SIR (ic)	BIR (ic)	SIR sign.	BIR sign.	Trend	Livello attenzione
Mesoteliomi pleurici e peritoneali (1588, 163)	F	<5	<5	.	.	3 (1-7)	127 (57-283)	103 (80-121)			n.c.	0 
Mesoteliomi pleurici e peritoneali (1588, 163)	M	<5	>5	.	.	2 (0-5)	33 (11-99)	65 (40-101)	↓		n.c.	0 
Mesoteliomi pleurici e peritoneali (1588, 163)	M + F	6	9.3	.	.	2 (1-4)	65 (33-125)	77 (59-111)			n.c.	0 
Tumori maligni delle ossa e della cartilagine articolare (170)	F	<5	<5	.	.	2 (1-6)	100 (40-250)	115 (92-146)			n.c.	0 
Tumori maligni delle ossa e della cartilagine articolare (170)	M	<5	<5	.	.	1 (0-4)	26 (6-117)	94 (76-116)			n.c.	0 
Tumori maligni delle ossa e della cartilagine articolare (170)	M + F	<5	>5	.	.	2 (1-4)	59 (26-130)	90 (69-119)			n.c.	0 
Tumori maligni del connettivo e di altri tessuti molli (171)	F	5	7.7	.	.	4 (1-8)	65 (31-133)	81 (67-94)		↓	n.c.	0 
Tumori maligni del connettivo e di altri tessuti molli (171)	M	6	10.1	.	.	4 (2-9)	60 (31-115)	74 (53-97)		↓	n.c.	0 
Tumori maligni del connettivo e di altri tessuti molli (171)	M + F	11	17.8	.	.	4 (2-7)	62 (38-101)	76 (58-95)		↓	n.c.	0 
Melanoma maligno della pelle (172)	F	17	19.5	.	.	12 (8-19)	87 (59-129)	85 (74-103)			n.c.	0 
Melanoma maligno della pelle (172)	M	16	21.2	.	.	12 (8-18)	75 (50-113)	78 (58-100)		↓	n.c.	0 
Melanoma maligno della pelle (172)	M + F	33	40.8	.	.	12 (9-16)	81 (61-108)	85 (70-99)		↓	↘	0 
Tumori maligni della mammella (174-175)	F	241	252.3	.	.	174 (156-194)	96 (86-106)	97 (90-107)			↘	0 

Causa (ICD-IX) Fermo	Genere	Osservati	Attesi	n. cluster sign.	SIR cluster	Tasso std. * 100000 (ic)	SIR (ic)	BIR (ic)	SIR sign.	BIR sign.	Trend	Livello attenzione
Tumori maligni della mammella (174-175)	M	<5	<5	.	.	1 (0-5)	79 (26-239)	100 (78-126)			n.c.	0 
Tumori maligni della mammella (174-175)	M + F	243	254.8	.	.	90 (81-100)	95 (86-106)	97 (90-107)			↘	0 
Tumori maligni dell'utero (179-180, 182)	F	44	54.5	.	.	32 (24-41)	81 (63-103)	99 (90-106)			↘	0 
Tumori maligni del corpo dell'utero (182)	F	26	36.7	.	.	19 (13-26)	71 (51-98)	101 (92-109)	↓		↘	0 
Tumori maligni dell'ovaio e degli altri annessi uterini (183)	F	25	28.7	.	.	18 (13-25)	87 (63-121)	99 (90-107)			↘	0 
Tumore della prostata (185)	M	169	149.6	.	.	129 (113-147)	113 (100-128)	110 (98-122)			↘	0 
Tumore del testicolo (186)	M	8	10.6	.	.	7 (3-12)	76 (43-134)	91 (70-121)			n.c.	0 
Tumori maligni della vescica (188)	F	28	32.1	.	.	20 (14-28)	87 (64-119)	94 (83-107)			↘	0 
Tumori maligni della vescica (188)	M	147	145.8	.	.	108 (94-125)	101 (88-115)	98 (87-109)			↘	0 
Tumori maligni della vescica (188)	M + F	175	178.0	.	.	63 (55-71)	98 (87-111)	95 (87-106)			↘	0 
Tumori maligni del rene e di altri e non specificati organi urinari (189)	F	24	25.2	.	.	17 (12-24)	95 (68-133)	94 (83-106)			→	0 
Tumori maligni del rene e di altri e non specificati organi urinari (189)	M	48	52.1	.	.	36 (28-46)	92 (73-117)	91 (79-105)			→	0 
Tumori maligni del rene e di altri e non specificati organi urinari (189)	M + F	72	77.3	.	.	26 (22-32)	93 (77-113)	89 (81-100)		↓	→	0 

Causa (ICD-IX) Fermo	Genere	Osservati	Attesi	n. cluster sign.	SIR cluster	Tasso std. * 100000 (ic)	SIR (ic)	BIR (ic)	SIR sign.	BIR sign.	Trend	Livello attenzione
Tumori maligni dell'encefalo (191)	F	10	18.3	.	.	7 (4-12)	55 (33-91)	72 (60-92)	↓	↓	n.c.	0 
Tumori maligni dell'encefalo (191)	M	18	22.9	.	.	14 (9-21)	79 (53-115)	94 (80-111)			→	0 
Tumori maligni dell'encefalo (191)	M + F	28	41.2	.	.	10 (7-14)	68 (50-93)	90 (81-101)	↓		→	0 
Tumori maligni del sistema nervoso centrale (191-192)	F	14	20.7	.	.	10 (6-16)	68 (44-105)	84 (65-96)		↓	n.c.	0 
Tumori maligni del sistema nervoso centrale (191-192)	M	18	24.5	.	.	14 (9-21)	73 (50-108)	92 (80-106)			→	0 
Tumori maligni del sistema nervoso centrale (191-192)	M + F	32	45.2	.	.	12 (9-16)	71 (53-95)	90 (79-100)	↓	↓	→	0 
Tumori maligni della ghiandola tiroide (193)	F	42	37.0	.	.	31 (24-40)	114 (88-146)	100 (91-108)			→	0 
Tumori maligni della ghiandola tiroide (193)	M	14	13.2	.	.	11 (7-17)	106 (68-164)	100 (75-128)			n.c.	0 
Tumori maligni della ghiandola tiroide (193)	M + F	56	50.2	.	.	21 (17-27)	112 (90-139)	97 (81-115)			→	0 
Linfoma non Hodgkin (200, 202)	F	32	34.4	1	116.7	23 (17-31)	93 (70-124)	100 (90-112)			→	2 
Linfoma non Hodgkin (200, 202)	M	38	43.0	.	.	29 (21-38)	88 (68-115)	91 (78-105)			→	0 
Linfoma non Hodgkin (200, 202)	M + F	70	77.4	.	.	26 (21-32)	90 (74-110)	97 (84-105)			→	0 
Tumori emolinfopoietici (200-208)	F	81	76.1	.	.	58 (48-70)	106 (89-128)	97 (90-107)			→	0 

Causa (ICD-IX) Fermo	Genere	Osservati	Attesi	n. cluster sign.	SIR cluster	Tasso std. * 100000 (ic)	SIR (ic)	BIR (ic)	SIR sign.	BIR sign.	Trend	Livello attenzione
Tumori emolinfopoietici (200-208)	M	90	93.5	.	.	68 (57-81)	96 (81-115)	95 (84-107)			→	0 
Tumori emolinfopoietici (200-208)	M + F	171	169.5	.	.	63 (55-72)	101 (89-114)	97 (89-104)			→	0 
Malattia di Hodgkin (201)	F	8	6.9	.	.	6 (3-11)	116 (66-206)	76 (59-122)			n.c.	0 
Malattia di Hodgkin (201)	M	6	6.7	.	.	5 (2-10)	89 (46-172)	97 (79-122)			n.c.	0 
Malattia di Hodgkin (201)	M + F	14	13.6	.	.	5 (3-8)	103 (66-159)	103 (81-128)			n.c.	0 
Mieloma multiplo e tumori immunoproliferativi (203)	F	20	14.8	.	.	14 (10-21)	135 (94-195)	102 (83-123)			→	0 
Mieloma multiplo e tumori immunoproliferativi (203)	M	21	17.4	.	.	16 (10-23)	120 (84-172)	100 (82-127)			→	0 
Mieloma multiplo e tumori immunoproliferativi (203)	M + F	41	32.2	.	.	15 (11-19)	127 (98-164)	103 (84-117)			↗	1 
Leucemie (204-208)	F	25	23.6	.	.	18 (13-25)	106 (76-147)	93 (79-104)			→	0 
Leucemie (204-208)	M	32	31.7	.	.	24 (18-33)	101 (76-135)	92 (78-109)			→	0 
Leucemie (204-208)	M + F	57	55.3	.	.	21 (17-26)	103 (83-128)	94 (85-108)			→	0 
Gozzo non tossico (240-241)	F	73	68.5	1	126.7	53 (43-65)	107 (88-129)	120 (105-131)		↑	↘	4 
Gozzo non tossico (240-241)	M	24	20.7	1	130.3	18 (13-26)	116 (83-162)	122 (102-149)		↑	↘	4 

Causa (ICD-IX) Fermo	Genere	Osservati	Attesi	n. cluster sign.	SIR cluster	Tasso std. * 100000 (ic)	SIR (ic)	BIR (ic)	SIR sign.	BIR sign.	Trend	Livello attenzione
Gozzo non tossico (240-241)	M + F	97	89.2	1	126.4	36 (30-43)	109 (92-129)	118 (101-137)		↑	↘	4 
Malattie endocrine e della nutrizione (240-2799)	F	607	509.7	1	116.3	444 (415-475)	119 (111-127)	116 (108-122)	↑	↑	→	5 
Malattie endocrine e della nutrizione (240-2799)	M	376	387.8	.	.	285 (262-311)	97 (89-106)	96 (89-104)			↘	0 
Malattie endocrine e della nutrizione (240-2799)	M + F	983	897.3	2	114.9	368 (348-388)	110 (104-115)	108 (103-114)	↑	↑	→	5 
Tireotossicosi (242)	F	28	24.1	.	.	20 (15-28)	116 (85-159)	104 (87-120)			↘	0 
Tireotossicosi (242)	M	6	8.1	.	.	5 (2-9)	74 (38-143)	90 (59-129)			n.c.	0 
Tireotossicosi (242)	M + F	34	32.2	.	.	13 (9-17)	106 (80-140)	100 (82-118)			↘	0 
Ipotiroidismo (243-244)	F	13	9.5	1	132.5	10 (6-16)	136 (87-214)	103 (81-155)			n.c.	2 
Ipotiroidismo (243-244)	M	7	8.7	.	.	5 (3-10)	81 (44-149)	103 (82-127)			n.c.	0 
Ipotiroidismo (243-244)	M + F	20	18.2	.	.	8 (5-11)	110 (76-158)	106 (86-116)			→	0 
Diabete mellito (250)	F	48	103.9	.	.	35 (27-44)	46 (36-59)	53 (46-63)	↓	↓	↘	0 
Diabete mellito (250)	M	54	118.7	.	.	41 (32-52)	46 (36-57)	50 (42-58)	↓	↓	↘	0 
Diabete mellito (250)	M + F	102	222.6	.	.	38 (32-45)	46 (39-54)	50 (43-57)	↓	↓	↘	0 

Causa (ICD-IX) Fermo	Genere	Osservati	Attesi	n. cluster sign.	SIR cluster	Tasso std. * 100000 (ic)	SIR (ic)	BIR (ic)	SIR sign.	BIR sign.	Trend	Livello attenzione
Malattie del sangue e degli organi emopoietici (280-289)	F	140	152.0	.	.	102 (89-118)	92 (80-106)	90 (82-104)			↘	0 
Malattie del sangue e degli organi emopoietici (280-289)	M	107	133.1	.	.	81 (68-95)	80 (69-94)	85 (75-96)	↓	↓	↘	0 
Malattie del sangue e degli organi emopoietici (280-289)	M + F	247	285.1	.	.	92 (83-102)	87 (78-96)	88 (84-98)	↓	↓	↘	0 
Malattie neuro-psichiatriche (escluse tossicod.) (290-303, 306-319)	F	279	241.4	.	.	205 (185-227)	116 (105-128)	107 (98-119)	↑		→	2 
Malattie neuro-psichiatriche (escluse tossicod.) (290-303, 306-319)	M	294	259.1	.	.	233 (211-257)	113 (103-125)	110 (101-119)	↑	↑	→	4 
Malattie neuro-psichiatriche (escluse tossicod.) (290-303, 306-319)	M + F	573	500.4	.	.	219 (204-234)	114 (107-123)	111 (104-116)	↑	↑	→	4 
Malattie del sistema nervoso e degli organi di senso (320-389)	F	1673	1694.0	.	.	1207 (1159-1257)	99 (95-103)	99 (94-102)			↘	0 
Malattie del sistema nervoso e degli organi di senso (320-389)	M	1276	1361.5	.	.	960 (916-1005)	94 (90-98)	94 (90-98)	↓	↓	↘	0 
Malattie del sistema nervoso e degli organi di senso (320-389)	M + F	2949	3055.9	.	.	1087 (1054-1121)	97 (94-99)	96 (94-100)	↓	↓	↘	0 
Malattia di Alzheimer (3310)	F	53	52.4	.	.	38 (30-48)	101 (81-127)	94 (76-122)			↗	1 
Malattia di Alzheimer (3310)	M	23	28.2	.	.	16 (11-24)	82 (58-115)	66 (48-88)		↓	n.c.	0 
Malattia di Alzheimer (3310)	M + F	76	80.6	.	.	28 (23-33)	94 (78-114)	90 (74-114)			→	0 
Morbo di Parkinson (3320)	F	36	16.6	1	134.3	26 (19-34)	216 (165-284)	172 (127-233)	↑	↑	→	5 

Causa (ICD-IX) Fermo	Genere	Osservati	Attesi	n. cluster sign.	SIR cluster	Tasso std. * 100000 (ic)	SIR (ic)	BIR (ic)	SIR sign.	BIR sign.	Trend	Livello attenzione
Morbo di Parkinson (3320)	M	21	21.8	1	137.0	15 (10-22)	96 (67-138)	114 (86-144)			n.c.	2 
Morbo di Parkinson (3320)	M + F	57	38.4	1	137.1	20 (16-26)	148 (119-184)	146 (124-177)	↑	↑	→	5 
Malattia dei neuroni motori (3352)	F	14	6.8	1	173.5	10 (6-16)	206 (133-319)	152 (117-207)	↑	↑	n.c.	5 
Malattia dei neuroni motori (3352)	M	6	6.4	.	.	4 (2-9)	94 (49-182)	115 (83-151)			n.c.	0 
Malattia dei neuroni motori (3352)	M + F	20	13.1	1	161.1	7 (5-11)	152 (106-219)	151 (121-182)	↑	↑	→	5 
Sclerosi multipla (340)	F	17	24.5	.	.	13 (8-19)	69 (47-103)	81 (65-101)			→	0 
Sclerosi multipla (340)	M	13	12.1	.	.	10 (6-17)	107 (68-169)	96 (77-119)			n.c.	0 
Sclerosi multipla (340)	M + F	30	36.6	.	.	12 (8-16)	82 (61-110)	86 (76-99)		↓	→	0 
Malattie cardiache (390-429)	F	1108	1070.9	.	.	797 (758-838)	103 (98-109)	103 (96-109)			↘	0 
Malattie cardiache (390-429)	M	1422	1380.0	.	.	1057 (1012-1105)	103 (99-108)	102 (98-106)			↘	0 
Malattie cardiache (390-429)	M + F	2530	2450.3	.	.	924 (894-954)	103 (100-107)	103 (100-106)		↑	↘	3 
Malattie dell'apparato circolatorio (390-459)	F	2064	1962.4	.	.	1489 (1435-1544)	105 (101-109)	105 (100-109)	↑	↑	↘	4 
Malattie dell'apparato circolatorio (390-459)	M	2443	2292.5	1	104.4	1832 (1772-1895)	107 (103-110)	106 (103-110)	↑	↑	↘	4 

Causa (ICD-IX) Fermo	Genere	Osservati	Attesi	n. cluster sign.	SIR cluster	Tasso std. * 100000 (ic)	SIR (ic)	BIR (ic)	SIR sign.	BIR sign.	Trend	Livello attenzione
Malattie dell'apparato circolatorio (390-459)	M + F	4507	4254.3	1	104.0	1656 (1615-1697)	106 (103-109)	106 (104-108)	↑	↑	↘	4 
Insufficienza cardiaca (scompenso cardiaco) (428)	F	429	405.3	.	.	309 (285-334)	106 (98-115)	106 (99-112)			→	0 
Insufficienza cardiaca (scompenso cardiaco) (428)	M	393	386.4	.	.	281 (258-306)	102 (94-110)	101 (94-110)			→	0 
Insufficienza cardiaca (scompenso cardiaco) (428)	M + F	822	791.2	.	.	295 (279-313)	104 (98-110)	104 (99-108)			→	0 
Malattie cerebrovascolari (430-438)	F	672	584.0	2	113.9	484 (454-516)	115 (108-123)	113 (108-119)	↑	↑	↘	4 
Malattie cerebrovascolari (430-438)	M	655	602.7	1	113.2	476 (446-508)	109 (102-116)	108 (103-114)	↑	↑	↘	4 
Malattie cerebrovascolari (430-438)	M + F	1327	1186.6	1	113.6	480 (459-502)	112 (107-117)	111 (107-116)	↑	↑	↘	4 
Malattie acute delle prime vie aeree (460-466)	F	107	102.0	.	.	80 (68-94)	105 (90-123)	96 (83-108)			→	0 
Malattie acute delle prime vie aeree (460-466)	M	99	116.3	.	.	77 (65-91)	85 (72-100)	84 (71-95)		↓	↘	0 
Malattie acute delle prime vie aeree (460-466)	M + F	206	218.1	.	.	79 (70-88)	94 (84-106)	92 (81-100)			↘	0 
Malattie dell'apparato respiratorio (460-5199)	F	1047	1021.1	.	.	767 (729-807)	103 (97-108)	102 (97-107)			→	0 
Malattie dell'apparato respiratorio (460-5199)	M	1312	1349.7	.	.	996 (951-1043)	97 (93-102)	97 (93-101)			↘	0 
Malattie dell'apparato respiratorio (460-5199)	M + F	2359	2370.1	.	.	879 (849-909)	100 (96-103)	99 (96-102)			↘	0 

Causa (ICD-IX) Fermo	Genere	Osservati	Attesi	n. cluster sign.	SIR cluster	Tasso std. * 100000 (ic)	SIR (ic)	BIR (ic)	SIR sign.	BIR sign.	Trend	Livello attenzione
Malattie polmonari cronico ostruttive (490-492, 494, 496)	F	60	100.1	.	.	43 (34-54)	60 (48-74)	62 (50-73)	↓	↓	↘	0 
Malattie polmonari cronico ostruttive (490-492, 494, 496)	M	96	155.8	.	.	70 (58-83)	62 (52-73)	66 (57-76)	↓	↓	↘	0 
Malattie polmonari cronico ostruttive (490-492, 494, 496)	M + F	156	255.9	.	.	56 (49-64)	61 (53-70)	61 (55-69)	↓	↓	↘	0 
Pneumoconiosi (500-505)	F	0	0.3	.	.	0 (0-2)	0 (.-)	90 (39-198)			n.c.	0 
Pneumoconiosi (500-505)	M	0	2.5	.	.	0 (0-3)	0 (.-)	24 (9-56)		↓	n.c.	0 
Pneumoconiosi (500-505)	M + F	0	2.8	.	.	0 (0-1)	0 (.-)	32 (19-67)		↓	n.c.	0 
Malattie dell'apparato digerente (520-579)	F	1178	1352.3	.	.	860 (819-903)	87 (83-91)	88 (83-92)	↓	↓	↘	0 
Malattie dell'apparato digerente (520-579)	M	1804	1901.3	.	.	1388 (1334-1443)	95 (91-99)	95 (92-98)	↓	↓	↘	0 
Malattie dell'apparato digerente (520-579)	M + F	2982	3253.6	.	.	1116 (1083-1151)	92 (89-94)	92 (90-95)	↓	↓	↘	0 
Cirrosi e altre malattie croniche del fegato (571)	F	38	36.8	.	.	27 (20-36)	103 (79-135)	99 (78-112)			↘	0 
Cirrosi e altre malattie croniche del fegato (571)	M	54	64.9	.	.	42 (33-52)	83 (67-104)	85 (70-101)			↘	0 
Cirrosi e altre malattie croniche del fegato (571)	M + F	92	101.7	.	.	34 (29-41)	90 (76-107)	90 (80-102)			↘	0 
Nefropatie croniche e acute (580-589)	F	143	135.2	.	.	103 (90-119)	106 (92-121)	100 (90-118)			→	0 

Causa (ICD-IX) Fermo	Genere	Osservati	Attesi	n. cluster sign.	SIR cluster	Tasso std. * 100000 (ic)	SIR (ic)	BIR (ic)	SIR sign.	BIR sign.	Trend	Livello attenzione
Nefropatie croniche e acute (580-589)	M	176	182.7	.	.	129 (113-146)	96 (85-109)	96 (88-106)			↘	0 
Nefropatie croniche e acute (580-589)	M + F	319	317.7	.	.	116 (106-127)	100 (92-110)	97 (90-106)			→	0 
Malattie dell'apparato urinario (580-599)	F	377	361.6	.	.	275 (252-300)	104 (96-113)	101 (94-109)			↘	0 
Malattie dell'apparato urinario (580-599)	M	514	536.7	.	.	386 (358-415)	96 (89-103)	97 (92-103)			↘	0 
Malattie dell'apparato urinario (580-599)	M + F	891	898.1	.	.	329 (311-348)	99 (94-105)	99 (94-103)			↘	0 
Calcolosi del rene e delle vie urinarie (592, 594)	F	46	60.9	.	.	34 (26-43)	76 (59-96)	89 (77-102)	↓		→	0 
Calcolosi del rene e delle vie urinarie (592, 594)	M	89	128.7	.	.	69 (58-83)	69 (58-82)	82 (72-91)	↓	↓	↘	0 
Calcolosi del rene e delle vie urinarie (592, 594)	M + F	135	189.6	.	.	51 (44-59)	71 (62-82)	84 (75-91)	↓	↓	↘	0 
Endometriosi (617)	F	45	48.8	.	.	34 (26-43)	92 (72-118)	82 (73-96)		↓	→	0 
Malformazioni congenite (740-759)	F	171	173.0	.	.	128 (112-146)	99 (87-112)	95 (88-102)			→	0 
Malformazioni congenite (740-759)	M	211	252.9	.	.	168 (149-188)	83 (75-93)	84 (78-93)	↓	↓	↘	0 
Malformazioni congenite (740-759)	M + F	382	425.5	.	.	147 (135-160)	90 (83-98)	88 (84-97)	↓	↓	→	0 

Tabella B2. Primi ricoveri ospedalieri per causa nel comune di Ponzano di Fermo, tutte le età - Anni 2006-2012, confronto Regione Marche

Causa (ICD-IX) Ponzano di Fermo	Genere	Osservati	Attesi	n. cluster sign.	SIR cluster	Tasso std. * 100000 (ic)	SIR (ic)	BIR (ic)	SIR sign.	BIR sign.	Trend	Livello attenzione
Tutte le cause (escl. cataratta, IVG, parto, trattamenti e violente) (000-365, 367-634, 636-649, 655-659, 670-799)	F	391	374.6	.	.	6780 (6220-7386)	104 (96-113)	101 (94-106)			↘	0
Tutte le cause (escl. cataratta, IVG, parto, trattamenti e violente) (000-365, 367-634, 636-649, 655-659, 670-799)	M	341	374.4	.	.	5794 (5283-6357)	91 (83-100)	95 (90-101)	↓		↘	0
Tutte le cause (escl. cataratta, IVG, parto, trattamenti e violente) (000-365, 367-634, 636-649, 655-659, 670-799)	M + F	732	749.2	.	.	6299 (5917-6705)	98 (92-104)	98 (93-103)			↘	0
Malattie infettive (001-139)	F	<5	>5	.	.	66 (22-166)	39 (17-87)	86 (66-113)	↓		n.c.	0
Malattie infettive (001-139)	M	6	12.5	.	.	102 (44-226)	48 (25-93)	83 (64-105)	↓		n.c.	0
Malattie infettive (001-139)	M + F	10	22.8	.	.	84 (45-149)	44 (26-73)	80 (66-92)	↓	↓	n.c.	0
Tumori maligni delle vie aeree e digestive superiori (140-150, 161)	F	<5	<5	.	.	15 (1-95)	179 (40-801)	99 (75-127)			n.c.	0
Tumori maligni delle vie aeree e digestive superiori (140-150, 161)	M	0	2.0	.	.	0 (0-89)	0 (.-.)	94 (74-113)			n.c.	0
Tumori maligni delle vie aeree e digestive superiori (140-150, 161)	M + F	<5	<5	.	.	8 (0-49)	38 (9-172)	87 (73-109)			n.c.	0
Tumori maligni (140-208)	F	30	36.2	.	.	542 (389-746)	83 (61-112)	86 (77-94)		↓	→	0
Tumori maligni (140-208)	M	29	47.3	.	.	525 (374-733)	61 (45-83)	85 (76-95)	↓	↓	↘	0
Tumori maligni (140-208)	M + F	59	83.4	.	.	534 (424-669)	71 (57-88)	82 (72-92)	↓	↓	↘	0

Causa (ICD-IX) Ponzano di Fermo	Genere	Osservati	Attesi	n. cluster sign.	SIR cluster	Tasso std. * 100000 (ic)	SIR (ic)	BIR (ic)	SIR sign.	BIR sign.	Trend	Livello attenzione
Tumori maligni dell'esofago (150)	F	0	0.1	.	.	0 (0-72)	0 (.-)	72 (32-130)			n.c.	0 
Tumori maligni dell'esofago (150)	M	0	0.3	.	.	0 (0-89)	0 (.-)	60 (31-98)		↓	n.c.	0 
Tumori maligni dell'esofago (150)	M + F	0	0.4	.	.	0 (0-37)	0 (.-)	72 (45-99)		↓	n.c.	0 
Tumori maligni dello stomaco (151)	F	<5	<5	.	.	23 (1-112)	65 (14-290)	100 (70-115)			n.c.	0 
Tumori maligni dello stomaco (151)	M	<5	<5	.	.	14 (1-109)	42 (9-186)	89 (66-121)			n.c.	0 
Tumori maligni dello stomaco (151)	M + F	<5	<5	.	.	19 (3-67)	51 (17-153)	86 (69-107)			n.c.	0 
Tumori maligni dell'intestino tenue, compreso il duodeno (152)	F	0	0.1	.	.	0 (0-72)	0 (.-)	61 (38-128)			n.c.	0 
Tumori maligni dell'intestino tenue, compreso il duodeno (152)	M	0	0.2	.	.	0 (0-89)	0 (.-)	95 (67-125)			n.c.	0 
Tumori maligni dell'intestino tenue, compreso il duodeno (152)	M + F	0	0.3	.	.	0 (0-37)	0 (.-)	69 (49-109)			n.c.	0 
Tumori maligni del colon (153)	F	<5	<5	2	129.9	55 (15-154)	91 (36-228)	95 (78-115)			n.c.	1 
Tumori maligni del colon (153)	M	<5	<5	.	.	16 (1-111)	22 (5-97)	83 (63-105)		↓	n.c.	0 
Tumori maligni del colon (153)	M + F	<5	>5	.	.	36 (12-89)	51 (23-113)	83 (66-103)			n.c.	0 
Tumori maligni del colon-retto (153-154)	F	<5	<5	.	.	73 (25-178)	87 (39-195)	95 (76-110)			n.c.	0 

Causa (ICD-IX) Ponzano di Fermo	Genere	Osservati	Attesi	n. cluster sign.	SIR cluster	Tasso std. * 100000 (ic)	SIR (ic)	BIR (ic)	SIR sign.	BIR sign.	Trend	Livello attenzione
Tumori maligni del colon-retto (153-154)	M	<5	>5	.	.	35 (6-139)	29 (10-89)	88 (72-108)	↓		n.c.	0 
Tumori maligni del colon-retto (153-154)	M + F	6	11.4	.	.	55 (24-114)	53 (27-102)	89 (77-106)			n.c.	0 
Tumori maligni del retto, della giunzione retto-sigmoidea e dell'ano (154)	F	<5	<5	.	.	18 (1-100)	65 (15-293)	95 (73-119)			n.c.	0 
Tumori maligni del retto, della giunzione retto-sigmoidea e dell'ano (154)	M	<5	<5	.	.	19 (1-118)	39 (9-173)	93 (72-122)			n.c.	0 
Tumori maligni del retto, della giunzione retto-sigmoidea e dell'ano (154)	M + F	<5	<5	.	.	19 (3-65)	49 (16-147)	92 (70-111)			n.c.	0 
Tumore fegato e dotti biliari (1550-1551)	F	0	0.3	.	.	0 (0-72)	0 (.-)	66 (36-134)			n.c.	0 
Tumore fegato e dotti biliari (1550-1551)	M	0	0.9	.	.	0 (0-89)	0 (.-)	89 (61-118)			n.c.	0 
Tumore fegato e dotti biliari (1550-1551)	M + F	0	1.3	.	.	0 (0-37)	0 (.-)	74 (39-106)			n.c.	0 
Tumori maligni del pancreas (157)	F	0	1.0	.	.	0 (0-72)	0 (.-)	86 (70-109)			n.c.	0 
Tumori maligni del pancreas (157)	M	<5	<5	.	.	16 (1-112)	79 (18-354)	87 (65-114)			n.c.	0 
Tumori maligni del pancreas (157)	M + F	<5	<5	.	.	8 (0-49)	44 (10-196)	89 (77-109)			n.c.	0 
Tumore del retroperitoneo (1580)	F	0	0.1	.	.	0 (0-72)	0 (.-)	85 (64-138)			n.c.	0 
Tumore del retroperitoneo (1580)	M	0	0.1	.	.	0 (0-89)	0 (.-)	78 (36-152)			n.c.	0 

Causa (ICD-IX)	Genere	Osservati	Attesi	n. cluster sign.	SIR cluster	Tasso std. * 100000 (ic)	SIR (ic)	BIR (ic)	SIR sign.	BIR sign.	Trend	Livello attenzione
Ponzano di Fermo Tumore del retroperitoneo (1580)	M + F	0	0.1	.	.	0 (0-37)	0 (.-)	87 (45-154)			n.c.	0
Tumori maligni del naso (1600)	F	0	0.0	.	.	0 (0-72)	0 (.-)	55 (10-114)			n.c.	0
Tumori maligni del naso (1600)	M	0	0.0	.	.	0 (0-89)	0 (.-)	94 (68-132)			n.c.	0
Tumori maligni del naso (1600)	M + F	0	0.1	.	.	0 (0-37)	0 (.-)	124 (76-194)			n.c.	0
Tumori maligni della laringe (161)	F	0	0.1	.	.	0 (0-72)	0 (.-)	100 (44-176)			n.c.	0
Tumori maligni della laringe (161)	M	0	0.9	.	.	0 (0-89)	0 (.-)	98 (78-117)			n.c.	0
Tumori maligni della laringe (161)	M + F	0	0.9	.	.	0 (0-37)	0 (.-)	78 (54-99)		↓	n.c.	0
Tumori maligni della trachea, dei bronchi e dei polmoni (162)	F	<5	<5	.	.	51 (14-146)	202 (81-506)	83 (65-108)			n.c.	0
Tumori maligni della trachea, dei bronchi e dei polmoni (162)	M	<5	>5	.	.	65 (22-177)	73 (33-163)	83 (67-102)			n.c.	0
Tumori maligni della trachea, dei bronchi e dei polmoni (162)	M + F	7	6.9	.	.	58 (27-116)	101 (55-186)	86 (71-101)			n.c.	0
Tumori maligni della pleura (163)	F	0	0.1	.	.	0 (0-72)	0 (.-)	57 (29-156)			n.c.	0
Tumori maligni della pleura (163)	M	0	0.2	.	.	0 (0-89)	0 (.-)	64 (27-142)			n.c.	0
Tumori maligni della pleura (163)	M + F	0	0.3	.	.	0 (0-37)	0 (.-)	66 (28-146)			n.c.	0

Causa (ICD-IX) Ponzano di Fermo	Genere	Osservati	Attesi	n. cluster sign.	SIR cluster	Tasso std. * 100000 (ic)	SIR (ic)	BIR (ic)	SIR sign.	BIR sign.	Trend	Livello attenzione
Mesoteliomi pleurici e peritoneali (1588, 163)	F	0	0.1	.	.	0 (0-72)	0 (.-)	94 (71-128)			n.c.	0 
Mesoteliomi pleurici e peritoneali (1588, 163)	M	0	0.3	.	.	0 (0-89)	0 (.-)	69 (31-142)			n.c.	0 
Mesoteliomi pleurici e peritoneali (1588, 163)	M + F	0	0.4	.	.	0 (0-37)	0 (.-)	85 (43-152)			n.c.	0 
Tumori maligni delle ossa e della cartilagine articolare (170)	F	0	0.1	.	.	0 (0-72)	0 (.-)	116 (84-152)			n.c.	0 
Tumori maligni delle ossa e della cartilagine articolare (170)	M	0	0.2	.	.	0 (0-89)	0 (.-)	95 (74-118)			n.c.	0 
Tumori maligni delle ossa e della cartilagine articolare (170)	M + F	0	0.3	.	.	0 (0-37)	0 (.-)	86 (55-158)			n.c.	0 
Tumori maligni del connettivo e di altri tessuti molli (171)	F	0	0.3	.	.	0 (0-72)	0 (.-)	72 (52-88)		↓	n.c.	0 
Tumori maligni del connettivo e di altri tessuti molli (171)	M	0	0.4	.	.	0 (0-89)	0 (.-)	73 (43-117)			n.c.	0 
Tumori maligni del connettivo e di altri tessuti molli (171)	M + F	0	0.8	.	.	0 (0-37)	0 (.-)	79 (39-106)			n.c.	0 
Melanoma maligno della pelle (172)	F	<5	<5	.	.	20 (1-105)	129 (29-579)	82 (66-121)			n.c.	0 
Melanoma maligno della pelle (172)	M	0	0.9	.	.	0 (0-89)	0 (.-)	76 (46-123)			n.c.	0 
Melanoma maligno della pelle (172)	M + F	<5	<5	.	.	10 (1-54)	59 (13-263)	76 (61-107)			n.c.	0 
Tumori maligni della mammella (174-175)	F	12	9.8	.	.	213 (122-357)	122 (76-196)	98 (85-114)			n.c.	0 

Causa (ICD-IX)	Genere	Osservati	Attesi	n. cluster sign.	SIR cluster	Tasso std. * 100000 (ic)	SIR (ic)	BIR (ic)	SIR sign.	BIR sign.	Trend	Livello attenzione
Ponzano di Fermo												
Tumori maligni della mammella (174-175)	M	0	0.1	.	.	0 (0-89)	0 (.-)	102 (73-140)			n.c.	0 
Tumori maligni della mammella (174-175)	M + F	12	9.9	.	.	110 (63-184)	121 (76-194)	99 (85-114)			n.c.	0 
Tumori maligni dell'utero (179-180, 182)	F	<5	<5	.	.	23 (1-112)	47 (11-213)	98 (85-110)			n.c.	0 
Tumori maligni del corpo dell'utero (182)	F	<5	<5	.	.	23 (1-112)	73 (16-327)	104 (91-114)			n.c.	0 
Tumori maligni dell'ovaio e degli altri annessi uterini (183)	F	<5	<5	.	.	16 (1-97)	90 (20-406)	103 (89-118)			n.c.	0 
Tumore della prostata (185)	M	10	6.3	.	.	195 (106-349)	159 (95-266)	104 (82-132)			n.c.	0 
Tumore del testicolo (186)	M	0	0.5	.	.	0 (0-89)	0 (.-)	94 (66-133)			n.c.	0 
Tumori maligni della vescica (188)	F	0	1.2	.	.	0 (0-72)	0 (.-)	88 (62-115)			n.c.	0 
Tumori maligni della vescica (188)	M	<5	>5	.	.	74 (25-192)	64 (29-142)	89 (74-108)			n.c.	0 
Tumori maligni della vescica (188)	M + F	<5	>5	.	.	36 (12-89)	54 (24-120)	86 (70-108)			n.c.	0 
Tumori maligni del rene e di altri e non specificati organi urinari (189)	F	0	0.9	.	.	0 (0-72)	0 (.-)	88 (77-102)			n.c.	0 
Tumori maligni del rene e di altri e non specificati organi urinari (189)	M	<5	<5	.	.	15 (1-110)	44 (10-199)	89 (69-114)			n.c.	0 
Tumori maligni del rene e di altri e non specificati organi urinari (189)	M + F	<5	<5	.	.	7 (0-48)	31 (7-140)	88 (71-107)			n.c.	0 

Causa (ICD-IX) Ponzano di Fermo	Genere	Osservati	Attesi	n. cluster sign.	SIR cluster	Tasso std. * 100000 (ic)	SIR (ic)	BIR (ic)	SIR sign.	BIR sign.	Trend	Livello attenzione
Tumori maligni dell'encefalo (191)	F	0	0.7	.	.	0 (0-72)	0 (.-)	69 (48-108)			n.c.	0 
Tumori maligni dell'encefalo (191)	M	<5	<5	.	.	17 (1-114)	97 (22-436)	96 (79-119)			n.c.	0 
Tumori maligni dell'encefalo (191)	M + F	<5	<5	.	.	8 (0-50)	57 (13-256)	92 (79-106)			n.c.	0 
Tumori maligni del sistema nervoso centrale (191-192)	F	0	0.8	.	.	0 (0-72)	0 (.-)	82 (61-99)		↓	n.c.	0 
Tumori maligni del sistema nervoso centrale (191-192)	M	<5	<5	.	.	17 (1-114)	91 (20-407)	95 (79-113)			n.c.	0 
Tumori maligni del sistema nervoso centrale (191-192)	M + F	<5	<5	.	.	8 (0-50)	52 (12-234)	94 (73-115)			n.c.	0 
Tumori maligni della ghiandola tiroide (193)	F	<5	<5	.	.	32 (6-120)	129 (43-389)	97 (84-121)			n.c.	0 
Tumori maligni della ghiandola tiroide (193)	M	<5	<5	.	.	18 (1-116)	167 (37-749)	100 (63-152)			n.c.	0 
Tumori maligni della ghiandola tiroide (193)	M + F	<5	<5	.	.	26 (7-74)	139 (56-349)	94 (69-125)			n.c.	0 
Linfoma non Hodgkin (200, 202)	F	<5	<5	1	116.7	37 (6-128)	152 (50-459)	99 (84-118)			n.c.	2 
Linfoma non Hodgkin (200, 202)	M	0	1.9	.	.	0 (0-89)	0 (.-)	89 (69-112)			n.c.	0 
Linfoma non Hodgkin (200, 202)	M + F	<5	<5	.	.	19 (3-66)	62 (21-188)	91 (68-126)			n.c.	0 
Tumori emolinfopoietici (200-208)	F	<5	<5	.	.	37 (6-128)	68 (23-206)	91 (72-108)			n.c.	0 

Causa (ICD-IX)	Genere	Osservati	Attesi	n. cluster sign.	SIR cluster	Tasso std. * 100000 (ic)	SIR (ic)	BIR (ic)	SIR sign.	BIR sign.	Trend	Livello attenzione
Ponzano di Fermo Tumori emolinfopoietici (200-208)	M	0	4.1	.	.	0 (0-89)	0 (.-)	88 (68-110)			n.c.	0 😊
Tumori emolinfopoietici (200-208)	M + F	<5	<5	.	.	19 (3-66)	28 (9-86)	90 (72-112)	↓		n.c.	0 😊
Malattia di Hodgkin (201)	F	0	0.3	.	.	0 (0-72)	0 (.-)	79 (35-146)			n.c.	0 😊
Malattia di Hodgkin (201)	M	0	0.3	.	.	0 (0-89)	0 (.-)	98 (75-129)			n.c.	0 😊
Malattia di Hodgkin (201)	M + F	0	0.6	.	.	0 (0-37)	0 (.-)	106 (81-137)			n.c.	0 😊
Mieloma multiplo e tumori immunoproliferativi (203)	F	0	0.5	.	.	0 (0-72)	0 (.-)	90 (59-137)			n.c.	0 😊
Mieloma multiplo e tumori immunoproliferativi (203)	M	0	0.8	.	.	0 (0-89)	0 (.-)	91 (65-125)			n.c.	0 😊
Mieloma multiplo e tumori immunoproliferativi (203)	M + F	0	1.3	.	.	0 (0-37)	0 (.-)	87 (55-120)			n.c.	0 😊
Leucemie (204-208)	F	0	0.9	.	.	0 (0-72)	0 (.-)	84 (62-111)			n.c.	0 😊
Leucemie (204-208)	M	0	1.4	.	.	0 (0-89)	0 (.-)	85 (61-117)			n.c.	0 😊
Leucemie (204-208)	M + F	0	2.3	.	.	0 (0-37)	0 (.-)	92 (74-120)			n.c.	0 😊
Gozzo non tossico (240-241)	F	7	2.8	1	126.7	123 (57-243)	254 (138-469)	155 (126-189)	↑	↑	n.c.	5 😞
Gozzo non tossico (240-241)	M	0	0.9	1	130.3	0 (0-89)	0 (.-)	123 (81-180)			n.c.	2 😊

Causa (ICD-IX) Ponzano di Fermo	Genere	Osservati	Attesi	n. cluster sign.	SIR cluster	Tasso std. * 100000 (ic)	SIR (ic)	BIR (ic)	SIR sign.	BIR sign.	Trend	Livello attenzione
Gozzo non tossico (240-241)	M + F	7	3.7	1	126.4	63 (29-125)	190 (103-350)	153 (99-206)	↑		n.c.	3 
Malattie endocrine e della nutrizione (240-2799)	F	28	21.8	1	116.3	465 (330-650)	128 (94-175)	117 (98-145)			↘	2 
Malattie endocrine e della nutrizione (240-2799)	M	15	18.0	.	.	236 (145-387)	83 (55-127)	92 (74-113)			→	0 
Malattie endocrine e della nutrizione (240-2799)	M + F	43	39.9	.	.	354 (270-463)	108 (84-139)	109 (86-131)			↘	0 
Tireotossicosi (242)	F	<5	<5	.	.	48 (13-142)	303 (121-758)	113 (83-164)	↑		n.c.	2 
Tireotossicosi (242)	M	0	0.4	.	.	0 (0-89)	0 (.-)	102 (50-197)			n.c.	0 
Tireotossicosi (242)	M + F	<5	<5	.	.	25 (7-73)	222 (89-556)	110 (82-180)			n.c.	0 
Ipotiroidismo (243-244)	F	0	0.4	1	132.5	0 (0-72)	0 (.-)	85 (52-167)			n.c.	2 
Ipotiroidismo (243-244)	M	<5	<5	.	.	16 (1-111)	263 (59-1177)	103 (76-142)			n.c.	0 
Ipotiroidismo (243-244)	M + F	<5	<5	.	.	8 (0-49)	121 (27-544)	100 (68-122)			n.c.	0 
Diabete mellito (250)	F	<5	<5	.	.	51 (14-147)	73 (29-184)	61 (33-90)		↓	n.c.	0 
Diabete mellito (250)	M	<5	>5	.	.	32 (6-134)	37 (12-113)	55 (35-92)		↓	n.c.	0 
Diabete mellito (250)	M + F	5	9.4	.	.	42 (17-96)	53 (26-109)	58 (38-90)		↓	n.c.	0 

Causa (ICD-IX) Ponzano di Fermo	Genere	Osservati	Attesi	n. cluster sign.	SIR cluster	Tasso std. * 100000 (ic)	SIR (ic)	BIR (ic)	SIR sign.	BIR sign.	Trend	Livello attenzione
Malattie del sangue e degli organi emopoietici (280-289)	F	6	6.2	.	.	103 (44-217)	96 (50-186)	85 (70-114)			n.c.	0 
Malattie del sangue e degli organi emopoietici (280-289)	M	<5	>5	.	.	30 (5-130)	33 (11-100)	80 (58-105)			n.c.	0 
Malattie del sangue e degli organi emopoietici (280-289)	M + F	8	12.3	.	.	67 (33-129)	65 (37-116)	80 (64-96)		↓	n.c.	0 
Malattie neuro-psichiatriche (escluse tossicod.) (290-303, 306-319)	F	9	10.4	.	.	147 (76-271)	87 (50-149)	94 (78-116)			n.c.	0 
Malattie neuro-psichiatriche (escluse tossicod.) (290-303, 306-319)	M	10	12.1	.	.	173 (93-316)	83 (49-138)	93 (72-117)			n.c.	0 
Malattie neuro-psichiatriche (escluse tossicod.) (290-303, 306-319)	M + F	19	22.5	.	.	160 (104-241)	85 (58-123)	93 (75-114)			→	0 
Malattie del sistema nervoso e degli organi di senso (320-389)	F	57	65.7	.	.	1063 (840-1335)	87 (70-108)	90 (83-101)			→	0 
Malattie del sistema nervoso e degli organi di senso (320-389)	M	62	59.7	.	.	1076 (860-1348)	104 (84-128)	98 (86-111)			→	0 
Malattie del sistema nervoso e degli organi di senso (320-389)	M + F	119	125.4	.	.	1070 (912-1252)	95 (82-110)	93 (83-107)			→	0 
Malattia di Alzheimer (3310)	F	5	2.0	.	.	95 (38-210)	253 (123-521)	128 (71-208)		↑	n.c.	2 
Malattia di Alzheimer (3310)	M	<5	<5	.	.	15 (1-110)	83 (18-370)	41 (20-85)		↓	n.c.	0 
Malattia di Alzheimer (3310)	M + F	6	3.2	.	.	57 (25-117)	189 (98-365)	92 (45-178)			n.c.	0 
Morbo di Parkinson (3320)	F	<5	<5	1	134.3	19 (1-102)	163 (36-733)	153 (71-289)			n.c.	2 

Causa (ICD-IX) Ponzano di Fermo	Genere	Osservati	Attesi	n. cluster sign.	SIR cluster	Tasso std. * 100000 (ic)	SIR (ic)	BIR (ic)	SIR sign.	BIR sign.	Trend	Livello attenzione
Morbo di Parkinson (3320)	M	<5	<5	1	137.0	32 (6-133)	214 (71-648)	133 (82-221)			n.c.	2 
Morbo di Parkinson (3320)	M + F	<5	<5	1	137.1	25 (7-73)	194 (78-486)	166 (121-234)		↑	n.c.	4 
Malattia dei neuroni motori (3352)	F	0	0.3	1	173.5	0 (0-72)	0 (.-)	106 (43-224)			n.c.	2 
Malattia dei neuroni motori (3352)	M	<5	<5	.	.	16 (1-111)	364 (81-1631)	117 (76-180)			n.c.	0 
Malattia dei neuroni motori (3352)	M + F	<5	<5	1	161.1	8 (0-49)	189 (42-849)	144 (86-211)			n.c.	2 
Sclerosi multipla (340)	F	0	1.1	.	.	0 (0-72)	0 (.-)	84 (61-118)			n.c.	0 
Sclerosi multipla (340)	M	0	0.6	.	.	0 (0-89)	0 (.-)	94 (62-124)			n.c.	0 
Sclerosi multipla (340)	M + F	0	1.7	.	.	0 (0-37)	0 (.-)	88 (64-109)			n.c.	0 
Malattie cardiache (390-429)	F	44	40.4	.	.	836 (639-1083)	109 (85-140)	101 (88-112)			→	0 
Malattie cardiache (390-429)	M	66	60.0	.	.	1116 (898-1388)	110 (90-135)	100 (90-111)			→	0 
Malattie cardiache (390-429)	M + F	110	100.5	.	.	973 (824-1146)	110 (94-128)	103 (95-113)			→	0 
Malattie dell'apparato circolatorio (390-459)	F	82	75.1	.	.	1551 (1279-1872)	109 (91-131)	106 (93-121)			→	0 
Malattie dell'apparato circolatorio (390-459)	M	98	100.3	1	104.4	1676 (1405-2001)	98 (83-115)	101 (92-109)			→	2 

Causa (ICD-IX) Ponzano di Fermo	Genere	Osservati	Attesi	n. cluster sign.	SIR cluster	Tasso std. * 100000 (ic)	SIR (ic)	BIR (ic)	SIR sign.	BIR sign.	Trend	Livello attenzione
Malattie dell'apparato circolatorio (390-459)	M + F	180	175.4	1	104.0	1615 (1420-1833)	103 (91-116)	101 (96-111)			↘	2 
Insufficienza cardiaca (scompenso cardiaco) (428)	F	16	15.4	.	.	304 (191-470)	104 (69-157)	98 (79-125)			n.c.	0 
Insufficienza cardiaca (scompenso cardiaco) (428)	M	16	16.6	.	.	260 (163-417)	97 (64-145)	97 (79-118)			n.c.	0 
Insufficienza cardiaca (scompenso cardiaco) (428)	M + F	32	32.0	.	.	284 (206-387)	100 (75-134)	95 (81-119)			→	0 
Malattie cerebrovascolari (430-438)	F	25	22.1	2	113.9	475 (330-672)	113 (82-157)	103 (84-128)			→	1 
Malattie cerebrovascolari (430-438)	M	19	25.9	1	113.2	333 (218-509)	73 (50-107)	98 (83-117)			→	2 
Malattie cerebrovascolari (430-438)	M + F	44	48.0	1	113.6	406 (310-528)	92 (72-117)	100 (84-117)			→	2 
Malattie acute delle prime vie aeree (460-466)	F	<5	<5	.	.	48 (13-141)	64 (26-161)	72 (46-120)			n.c.	0 
Malattie acute delle prime vie aeree (460-466)	M	<5	>5	.	.	53 (14-163)	58 (23-144)	72 (47-112)			n.c.	0 
Malattie acute delle prime vie aeree (460-466)	M + F	6	9.9	.	.	50 (22-107)	61 (31-118)	67 (46-101)			n.c.	0 
Malattie dell'apparato respiratorio (460-5199)	F	43	43.1	.	.	730 (555-953)	100 (78-128)	92 (82-109)			→	0 
Malattie dell'apparato respiratorio (460-5199)	M	53	61.0	.	.	895 (701-1145)	87 (69-109)	95 (83-106)			→	0 
Malattie dell'apparato respiratorio (460-5199)	M + F	96	104.2	.	.	805 (674-960)	92 (78-109)	93 (84-101)			→	0 

Causa (ICD-IX)	Genere	Osservati	Attesi	n. cluster sign.	SIR cluster	Tasso std. * 100000 (ic)	SIR (ic)	BIR (ic)	SIR sign.	BIR sign.	Trend	Livello attenzione
Ponzano di Fermo												
Malattie polmonari cronico ostruttive (490-492, 494, 496)	F	<5	<5	.	.	58 (16-159)	79 (32-197)	60 (37-110)			n.c.	0 
Malattie polmonari cronico ostruttive (490-492, 494, 496)	M	<5	>5	.	.	49 (13-155)	45 (18-112)	64 (46-89)		↓	n.c.	0 
Malattie polmonari cronico ostruttive (490-492, 494, 496)	M + F	6	10.5	.	.	53 (23-112)	57 (30-110)	63 (42-87)		↓	n.c.	0 
Pneumoconiosi (500-505)	F	0	0.0	.	.	0 (0-72)	0 (.-)	99 (27-221)			n.c.	0 
Pneumoconiosi (500-505)	M	0	0.1	.	.	0 (0-89)	0 (.-)	35 (9-109)			n.c.	0 
Pneumoconiosi (500-505)	M + F	0	0.1	.	.	0 (0-37)	0 (.-)	49 (14-94)		↓	n.c.	0 
Malattie dell'apparato digerente (520-579)	F	46	56.1	.	.	754 (579-976)	82 (64-104)	87 (83-96)		↓	↘	0 
Malattie dell'apparato digerente (520-579)	M	80	85.7	.	.	1358 (1116-1654)	93 (78-112)	95 (87-104)			↘	0 
Malattie dell'apparato digerente (520-579)	M + F	126	141.8	.	.	1048 (898-1221)	89 (77-103)	91 (81-99)		↓	↘	0 
Cirrosi e altre malattie croniche del fegato (571)	F	<5	<5	.	.	32 (6-119)	140 (46-423)	100 (63-132)			n.c.	0 
Cirrosi e altre malattie croniche del fegato (571)	M	<5	<5	.	.	31 (5-131)	69 (23-208)	87 (57-126)			n.c.	0 
Cirrosi e altre malattie croniche del fegato (571)	M + F	<5	<5	.	.	31 (11-81)	92 (41-205)	87 (64-112)			n.c.	0 
Nefropatie croniche e acute (580-589)	F	<5	>5	.	.	75 (26-181)	77 (34-171)	85 (62-121)			n.c.	0 

Causa (ICD-IX) Ponzano di Fermo	Genere	Osservati	Attesi	n. cluster sign.	SIR cluster	Tasso std. * 100000 (ic)	SIR (ic)	BIR (ic)	SIR sign.	BIR sign.	Trend	Livello attenzione
Nefropatie croniche e acute (580-589)	M	13	8.0	.	.	233 (136-393)	163 (104-256)	104 (80-134)	↑		n.c.	2 😊
Nefropatie croniche e acute (580-589)	M + F	17	13.2	.	.	145 (92-224)	129 (87-191)	102 (81-131)			n.c.	0 😊
Malattie dell'apparato urinario (580-599)	F	16	14.6	.	.	290 (181-450)	110 (73-165)	102 (79-124)			n.c.	0 😊
Malattie dell'apparato urinario (580-599)	M	25	23.6	.	.	433 (299-625)	106 (76-147)	97 (85-112)			→	0 😊
Malattie dell'apparato urinario (580-599)	M + F	41	38.2	.	.	353 (267-464)	107 (83-138)	97 (89-111)			→	0 😊
Calcolosi del rene e delle vie urinarie (592, 594)	F	3	2.5	.	.	56 (15-156)	120 (48-300)	91 (69-121)			n.c.	0 😊
Calcolosi del rene e delle vie urinarie (592, 594)	M	5	5.8	.	.	79 (31-193)	87 (42-178)	90 (71-115)			n.c.	0 😊
Calcolosi del rene e delle vie urinarie (592, 594)	M + F	8	8.3	.	.	67 (33-128)	97 (55-172)	92 (77-114)			n.c.	0 😊
Endometriosi (617)	F	<5	<5	.	.	35 (6-124)	89 (30-269)	79 (54-106)			n.c.	0 😊
Malformazioni congenite (740-759)	F	4	8.1	.	.	71 (24-177)	49 (22-110)	91 (81-105)			n.c.	0 😊
Malformazioni congenite (740-759)	M	11	12.1	.	.	176 (98-316)	91 (56-149)	83 (66-108)			→	0 😊
Malformazioni congenite (740-759)	M + F	15	20.1	.	.	122 (75-199)	75 (49-114)	86 (76-102)			→	0 😊

Tabella C1. Decessi per causa nel comune di Fermo, tutte le età - Anni 2006-2011, confronto Regione Marche

Causa (ICD-X) Fermo	Genere	Osservati	Attesi	n. cluster sign.	SIR cluster	Tasso std. * 100000 (ic)	SIR (ic)	BIR (ic)	SIR sign.	BIR sign.	Trend	Livello attenzione
Mortalità generale (escluse cause violente) (A00-R99)	F	1185	1171.9	1	103.5	988 (942-1037)	101 (96-106)	101 (98-105)			→	2 
Mortalità generale (escluse cause violente) (A00-R99)	M	1143	1190.6	.	.	946 (900-993)	96 (91-101)	97 (93-100)			→	0 
Mortalità generale (escluse cause violente) (A00-R99)	M + F	2328	2362.5	.	.	968 (935-1001)	99 (95-102)	98 (96-101)			→	0 
Mortalità per cause esterne o violente (S00-Y99)	F	48	38.9	1	117.9	40 (31-51)	123 (97-156)	114 (99-134)			→	2 
Mortalità per cause esterne o violente (S00-Y99)	M	55	62.2	.	.	48 (38-60)	88 (71-110)	91 (84-98)		↓	→	0 
Mortalità per cause esterne o violente (S00-Y99)	M + F	103	101.1	.	.	44 (37-52)	102 (87-120)	100 (92-114)			↗	1 
Malattie infettive (A00-B99)	F	20	17.4	.	.	17 (11-25)	115 (80-166)	95 (81-112)			n.c.	0 
Malattie infettive (A00-B99)	M	24	17.6	1	120.6	21 (14-29)	136 (97-190)	111 (88-133)			→	2 
Malattie infettive (A00-B99)	M + F	44	35.0	.	.	19 (14-24)	126 (98-161)	108 (90-122)			→	0 
Tumori maligni delle vie aeree e digestive superiori (C00-C15, C32)	F	<5	<5	.	.	3 (1-8)	106 (48-237)	105 (78-141)			n.c.	0 
Tumori maligni delle vie aeree e digestive superiori (C00-C15, C32)	M	11	13.9	.	.	10 (5-16)	79 (49-130)	76 (57-88)		↓	→	0 

Causa (ICD-X) Fermo	Genere	Osservati	Attesi	n. cluster sign.	SIR cluster	Tasso std. * 100000 (ic)	SIR (ic)	BIR (ic)	SIR sign.	BIR sign.	Trend	Livello attenzione
Tumori maligni delle vie aeree e digestive superiori (C00-C15, C32)	M + F	15	17.6	.	.	6 (4-10)	85 (56-130)	83 (71-98)		↓	→	0 
Tumori maligni (C00-C97)	F	276	283.0	.	.	232 (210-257)	98 (88-108)	98 (92-106)			→	0 
Tumori maligni (C00-C97)	M	352	388.0	.	.	298 (272-325)	91 (83-99)	92 (87-98)	↓	↓	→	0 
Tumori maligni (C00-C97)	M + F	628	670.9	.	.	264 (247-282)	94 (88-100)	95 (90-99)	↓	↓	→	0 
Tumori maligni esofago (C15)	F	<5	<5	.	.	1 (0-4)	84 (19-375)	67 (46-95)		↓	n.c.	0 
Tumori maligni esofago (C15)	M	<5	<5	.	.	3 (1-7)	74 (29-184)	80 (65-118)			n.c.	0 
Tumori maligni esofago (C15)	M + F	<5	>5	.	.	2 (1-4)	76 (34-169)	83 (63-105)			n.c.	0 
Tumori maligni dello stomaco (C16)	F	19	23.5	.	.	16 (11-24)	81 (56-118)	100 (88-113)			→	0 
Tumori maligni dello stomaco (C16)	M	31	32.1	.	.	26 (19-35)	97 (72-130)	101 (90-112)			→	0 
Tumori maligni dello stomaco (C16)	M + F	50	55.6	.	.	21 (16-26)	90 (71-113)	97 (86-106)			→	0 
Tumori maligni intestino tenue compreso il duodeno (C17)	F	<5	<5	.	.	1 (0-4)	173 (39-777)	96 (61-215)			n.c.	0 
Tumori maligni intestino tenue compreso il duodeno (C17)	M	<5	<5	.	.	1 (0-4)	153 (34-688)	93 (42-170)			n.c.	0 

Causa (ICD-X) Fermo	Genere	Osservati	Attesi	n. cluster sign.	SIR cluster	Tasso std. * 100000 (ic)	SIR (ic)	BIR (ic)	SIR sign.	BIR sign.	Trend	Livello attenzione
Tumori maligni intestino tenue compreso il duodeno (C17)	M + F	<5	<5	.	.	1 (0-3)	163 (54-492)	93 (56-156)			n.c.	0 
Tumori maligni del colon (C18)	F	30	28.4	.	.	26 (18-35)	106 (78-143)	100 (85-114)			→	0 
Tumori maligni del colon (C18)	M	39	35.5	.	.	34 (25-44)	110 (85-143)	107 (91-121)			→	0 
Tumori maligni del colon (C18)	M + F	69	63.8	.	.	29 (24-36)	108 (89-132)	105 (96-112)			→	0 
Tumori maligni del retto della giunzione retto-sigmoidea e ano (C19-C21)	F	<5	>5	.	.	3 (1-7)	35 (14-87)	95 (80-118)	↓		n.c.	0 
Tumori maligni del retto della giunzione retto-sigmoidea e ano (C19-C21)	M	<5	>5	.	.	3 (1-7)	26 (10-64)	64 (47-82)	↓	↓	n.c.	0 
Tumori maligni del retto della giunzione retto-sigmoidea e ano (C19-C21)	M + F	6	20.3	.	.	3 (1-5)	30 (15-57)	67 (45-80)	↓	↓	n.c.	0 
Tumore fegato e dotti biliari (C22)	F	5	7.7	.	.	4 (2-9)	65 (31-133)	91 (73-106)			n.c.	0 
Tumore fegato e dotti biliari (C22)	M	13	15.7	.	.	11 (7-18)	83 (53-130)	85 (66-107)			↗	1 
Tumore fegato e dotti biliari (C22)	M + F	18	23.4	.	.	8 (5-11)	77 (52-113)	81 (63-95)		↓	→	0 
Tumori maligni del pancreas (C25)	F	19	20.9	.	.	16 (10-23)	91 (62-132)	87 (73-109)			→	0 
Tumori maligni del pancreas (C25)	M	17	21.1	.	.	15 (10-23)	80 (54-120)	73 (63-94)		↓	n.c.	0 

Causa (ICD-X) Fermo	Genere	Osservati	Attesi	n. cluster sign.	SIR cluster	Tasso std. * 100000 (ic)	SIR (ic)	BIR (ic)	SIR sign.	BIR sign.	Trend	Livello attenzione
Tumori maligni del pancreas (C25)	M + F	36	42.0	.	.	15 (11-20)	86 (65-113)	87 (75-95)		↓	↗	2 😊
Tumore del retroperitoneo (C48)	F	<5	<5	.	.	1 (0-4)	95 (21-427)	65 (40-130)			n.c.	0 😊
Tumore del retroperitoneo (C48)	M	<5	<5	.	.	1 (0-4)	128 (29-573)	96 (58-142)			n.c.	0 😊
Tumore del retroperitoneo (C48)	M + F	<5	<5	.	.	1 (0-3)	109 (36-330)	74 (49-128)			n.c.	0 😊
Tumori maligni della laringe (C32)	F	<5	<5	.	.	1 (0-4)	295 (66-1322)	77 (45-131)			n.c.	0 😊
Tumori maligni della laringe (C32)	M	<5	<5	.	.	2 (0-6)	41 (13-122)	83 (62-98)		↓	n.c.	0 😊
Tumori maligni della laringe (C32)	M + F	<5	>5	.	.	1 (0-3)	57 (23-142)	54 (38-77)		↓	n.c.	0 😊
Tumori maligni della trachea dei bronchi e dei polmoni (C33-C34)	F	23	27.2	.	.	19 (13-28)	85 (60-119)	101 (83-123)			→	0 😊
Tumori maligni della trachea dei bronchi e dei polmoni (C33-C34)	M	72	96.9	.	.	62 (50-76)	74 (61-90)	82 (75-93)	↓	↓	→	0 😊
Tumori maligni della trachea dei bronchi e dei polmoni (C33-C34)	M + F	95	124.1	.	.	40 (34-48)	77 (65-91)	84 (76-96)	↓	↓	→	0 😊
Mesotelioma (pleura, peritoneo, endocardio, ecc.) (C45)	F	0	1.2	.	.	0 (0-3)	0 (.-.)	50 (26-115)			n.c.	0 😊
Mesotelioma (pleura, peritoneo, endocardio, ecc.) (C45)	M	<5	<5	.	.	1 (0-4)	29 (6-128)	70 (52-105)			n.c.	0 😊

Causa (ICD-X) Fermo	Genere	Osservati	Attesi	n. cluster sign.	SIR cluster	Tasso std. * 100000 (ic)	SIR (ic)	BIR (ic)	SIR sign.	BIR sign.	Trend	Livello attenzione
Mesotelioma (pleura, peritoneo, endocardio, ecc.) (C45)	M + F	<5	<5	.	.	0 (0-2)	21 (5-96)	72 (54-99)	↓	↓	n.c.	0 
Tumori maligni delle ossa e della cartilagine articolare (C40-C41)	F	<5	<5	.	.	2 (0-6)	239 (79-723)	92 (48-143)			n.c.	0 
Tumori maligni delle ossa e della cartilagine articolare (C40-C41)	M	<5	<5	.	.	2 (0-6)	210 (70-635)	124 (78-189)			n.c.	0 
Tumori maligni delle ossa e della cartilagine articolare (C40-C41)	M + F	<5	<5	.	.	2 (1-4)	224 (100-499)	109 (84-167)	↑		n.c.	2 
Tumori maligni del connettivo e di altri tessuti molli (C49)	F	<5	<5	.	.	2 (0-6)	111 (37-334)	81 (51-136)			n.c.	0 
Tumori maligni del connettivo e di altri tessuti molli (C49)	M	<5	<5	.	.	1 (0-5)	59 (13-264)	86 (59-151)			n.c.	0 
Tumori maligni del connettivo e di altri tessuti molli (C49)	M + F	<5	<5	.	.	1 (0-4)	86 (34-214)	82 (64-122)			n.c.	0 
Melanoma maligno della pelle (C43)	F	<5	<5	.	.	2 (0-6)	61 (20-183)	75 (46-103)			n.c.	0 
Melanoma maligno della pelle (C43)	M	7	4.3	.	.	6 (3-12)	162 (88-298)	86 (66-111)			→	0 
Melanoma maligno della pelle (C43)	M + F	9	7.6	.	.	4 (2-7)	118 (69-203)	90 (70-108)			→	0 
Tumori maligni della mammella (C50)	F	58	44.9	.	.	49 (39-61)	129 (104-160)	114 (104-126)	↑	↑	→	4 
Tumori maligni utero (C53-C55)	F	9	10.8	.	.	8 (4-13)	83 (48-143)	97 (75-120)			n.c.	0 

Causa (ICD-X) Fermo	Genere	Osservati	Attesi	n. cluster sign.	SIR cluster	Tasso std. * 100000 (ic)	SIR (ic)	BIR (ic)	SIR sign.	BIR sign.	Trend	Livello attenzione
Tumori maligni del corpo dell'utero (C54)	F	<5	<5	.	.	3 (1-8)	137 (61-305)	86 (50-123)			n.c.	0 
Tumori maligni ovaio e degli altri annessi uterini (C56-C57)	F	11	13.0	.	.	9 (5-15)	85 (52-139)	85 (68-104)			→	0 
Tumore della prostata (C61)	M	38	34.1	.	.	30 (22-39)	111 (85-145)	99 (84-109)			↘	0 
Tumore del testicolo (C62)	M	<5	<5	.	.	1 (0-5)	316 (71-1417)	75 (33-151)			n.c.	0 
Tumori maligni della vescica (C67)	F	5	4.4	.	.	4 (2-9)	114 (56-235)	67 (47-128)			n.c.	0 
Tumori maligni della vescica (C67)	M	17	18.6	.	.	14 (9-21)	91 (62-136)	92 (80-106)			n.c.	0 
Tumori maligni della vescica (C67)	M + F	22	23.0	.	.	9 (6-13)	96 (68-136)	96 (87-108)			→	0 
Tumori maligni del rene e di altri e non specificati organi urinari (C64)	F	8	6.1	.	.	7 (3-12)	130 (73-231)	92 (70-119)			n.c.	0 
Tumori maligni del rene e di altri e non specificati organi urinari (C64)	M	7	12.2	.	.	6 (3-12)	57 (31-106)	86 (73-100)			n.c.	0 
Tumori maligni del rene e di altri e non specificati organi urinari (C64)	M + F	15	18.3	.	.	6 (4-10)	82 (54-125)	73 (60-88)		↓	→	0 
tumore del sistema nervoso centrale (C70-C72,D33)	F	6	5.8	.	.	5 (2-10)	104 (54-201)	87 (70-104)			n.c.	0 
tumore del sistema nervoso centrale (C70-C72,D33)	M	5	8.8	.	.	5 (2-10)	57 (28-116)	90 (77-116)			n.c.	0 

Causa (ICD-X) Fermo	Genere	Osservati	Attesi	n. cluster sign.	SIR cluster	Tasso std. * 100000 (ic)	SIR (ic)	BIR (ic)	SIR sign.	BIR sign.	Trend	Livello attenzione
tumore del sistema nervoso centrale (C70-C72,D33)	M + F	11	14.6	.	.	5 (3-8)	75 (46-123)	73 (60-90)		↓	n.c.	0 
Tumori maligni encefalo (C71)	F	5	5.5	.	.	4 (2-9)	92 (45-188)	87 (63-111)			n.c.	0 
Tumori maligni encefalo (C71)	M	5	8.6	.	.	5 (2-10)	58 (28-120)	79 (49-92)		↓	n.c.	0 
Tumori maligni encefalo (C71)	M + F	10	14.0	.	.	4 (2-7)	71 (43-119)	87 (71-100)		↓	n.c.	0 
Tumori maligni della ghiandola tiroide (C73)	F	0	1.2	.	.	0 (0-3)	0 (.-)	94 (39-142)			n.c.	0 
Tumori maligni della ghiandola tiroide (C73)	M	<5	<5	.	.	1 (0-4)	134 (30-600)	111 (56-169)			n.c.	0 
Tumori maligni della ghiandola tiroide (C73)	M + F	<5	<5	.	.	0 (0-2)	51 (11-228)	110 (61-158)			n.c.	0 
Tumori emolinfopoiетici (C81-C96)	F	27	26.9	.	.	23 (16-32)	100 (73-137)	97 (81-112)			n.c.	0 
Tumori emolinfopoiетici (C81-C96)	M	37	33.0	.	.	31 (23-41)	112 (86-147)	98 (88-116)			→	0 
Tumori emolinfopoiетici (C81-C96)	M + F	64	59.9	.	.	27 (22-33)	107 (87-131)	100 (93-107)			→	0 
Malattia di Hodgkin (C81)	F	0	0.5	.	.	0 (0-3)	0 (.-)	79 (40-133)			n.c.	0 
Malattia di Hodgkin (C81)	M	0	0.6	.	.	0 (0-3)	0 (.-)	95 (61-149)			n.c.	0 

Causa (ICD-X) Fermo	Genere	Osservati	Attesi	n. cluster sign.	SIR cluster	Tasso std. * 100000 (ic)	SIR (ic)	BIR (ic)	SIR sign.	BIR sign.	Trend	Livello attenzione
Malattia di Hodgkin (C81)	M + F	0	1.2	.	.	0 (0-1)	0 (.-.)	78 (39-147)			n.c.	0 
Linfoma non Hodgkin (C82-C85)	F	8	9.3	.	.	7 (3-12)	86 (49-153)	102 (77-119)			n.c.	0 
Linfoma non Hodgkin (C82-C85)	M	11	11.5	.	.	9 (5-15)	96 (59-156)	102 (83-129)			n.c.	0 
Linfoma non Hodgkin (C82-C85)	M + F	19	20.8	.	.	8 (5-12)	91 (63-133)	97 (83-110)			→	0 
Mieloma multiplo e tumori immunoproliferativi (C88, C90)	F	7	6.1	.	.	6 (3-11)	114 (62-210)	85 (72-96)		↓	n.c.	0 
Mieloma multiplo e tumori immunoproliferativi (C88, C90)	M	11	7.0	.	.	9 (5-16)	156 (96-255)	104 (88-124)			n.c.	0 
Mieloma multiplo e tumori immunoproliferativi (C88, C90)	M + F	18	13.2	.	.	8 (5-11)	137 (93-201)	91 (73-108)			n.c.	0 
Leucemie (C91-C95)	F	12	10.8	.	.	10 (6-17)	111 (70-178)	105 (90-131)			n.c.	0 
Leucemie (C91-C95)	M	15	13.7	.	.	13 (8-20)	110 (72-167)	94 (69-115)			→	0 
Leucemie (C91-C95)	M + F	27	24.4	.	.	11 (8-16)	111 (81-151)	96 (77-110)			↘	0 
Leucemia linfoide (acuta e cronica) (C91)	F	<5	<5	.	.	3 (1-7)	86 (34-215)	94 (73-140)			n.c.	0 
Leucemia linfoide (acuta e cronica) (C91)	M	7	5.1	.	.	6 (3-12)	136 (74-251)	104 (80-136)			n.c.	0 

Causa (ICD-X) Fermo	Genere	Osservati	Attesi	n. cluster sign.	SIR cluster	Tasso std. * 100000 (ic)	SIR (ic)	BIR (ic)	SIR sign.	BIR sign.	Trend	Livello attenzione
Leucemia linfoide (acuta e cronica) (C91)	M + F	10	8.6	.	.	4 (2-7)	116 (69-194)	93 (75-121)			n.c.	0 
Leucemia mieloide (acuta e cronica) (C92)	F	7	5.0	.	.	6 (3-11)	140 (76-258)	95 (71-125)			n.c.	0 
Leucemia mieloide (acuta e cronica) (C92)	M	<5	>5	.	.	3 (1-8)	67 (30-148)	74 (58-99)		↓	n.c.	0 
Leucemia mieloide (acuta e cronica) (C92)	M + F	11	11.0	.	.	5 (3-8)	100 (61-163)	95 (80-111)		→	n.c.	0 
Malattie del sangue e degli organi emopoietici (D50-D77)	F	5	6.3	.	.	4 (2-9)	80 (39-163)	104 (75-140)			n.c.	0 
Malattie del sangue e degli organi emopoietici (D50-D77)	M	6	4.9	.	.	5 (2-10)	123 (64-238)	85 (56-113)			n.c.	0 
Malattie del sangue e degli organi emopoietici (D50-D77)	M + F	11	11.2	.	.	4 (3-8)	99 (60-161)	98 (73-121)			→	0 
Malattie endocrine della nutrizione ed immunitarie (E00-E90, D80-D89)	F	58	50.9	.	.	49 (39-61)	114 (92-141)	101 (87-117)			↘	0 
Malattie endocrine della nutrizione ed immunitarie (E00-E90, D80-D89)	M	38	42.8	.	.	32 (24-42)	89 (68-116)	98 (77-111)			→	0 
Malattie endocrine della nutrizione ed immunitarie (E00-E90, D80-D89)	M + F	96	93.7	.	.	40 (34-48)	102 (87-121)	102 (91-115)			→	0 
Tireotossicosi (E05)	F	0	0.6	.	.	0 (0-3)	0 (.-.)	111 (65-172)			n.c.	0 
Tireotossicosi (E05)	M	0	0.2	.	.	0 (0-3)	0 (.-.)	88 (33-197)			n.c.	0 

Causa (ICD-X) Fermo	Genere	Osservati	Attesi	n. cluster sign.	SIR cluster	Tasso std. * 100000 (ic)	SIR (ic)	BIR (ic)	SIR sign.	BIR sign.	Trend	Livello attenzione
Tireotossicosi (E05)	M + F	0	0.8	.	.	0 (0-1)	0 (.-)	82 (40-148)			n.c.	0 
Ipotiroidismo (E00-E03)	F	<5	<5	.	.	1 (0-4)	214 (48-960)	91 (33-154)			n.c.	0 
Ipotiroidismo (E00-E03)	M	0	0.1	.	.	0 (0-3)	0 (.-)	51 (20-162)			n.c.	0 
Ipotiroidismo (E00-E03)	M + F	1	0.6	.	.	0 (0-2)	181 (40-813)	96 (47-170)			n.c.	0 
Diabete mellito (E10-E14)	F	43	38.1	.	.	36 (27-47)	113 (88-145)	102 (93-113)			↘	0 
Diabete mellito (E10-E14)	M	31	32.3	.	.	26 (19-35)	96 (72-129)	95 (81-119)			→	0 
Diabete mellito (E10-E14)	M + F	74	70.3	.	.	31 (25-38)	105 (87-127)	99 (89-114)			→	0 
Demenze (F00-F01, F02.0-F02.3, F03, G30, G31.0)	F	76	66.4	.	.	64 (53-78)	114 (95-138)	103 (87-124)			→	0 
Demenze (F00-F01, F02.0-F02.3, F03, G30, G31.0)	M	46	38.5	.	.	37 (29-48)	119 (94-152)	101 (84-120)			→	0 
Demenze (F00-F01, F02.0-F02.3, F03, G30, G31.0)	M + F	122	104.9	.	.	51 (44-59)	116 (100-135)	107 (98-126)	↑		→	2 
Malattie neuro-psichiatriche (escluse tossicod.) (F00-F09, F20-F99)	F	32	38.2	.	.	27 (20-36)	84 (63-112)	84 (68-104)			→	0 
Malattie neuro-psichiatriche (escluse tossicod.) (F00-F09, F20-F99)	M	17	21.8	.	.	13 (9-20)	78 (52-116)	74 (57-95)		↓	→	0 

Causa (ICD-X) Fermo	Genere	Osservati	Attesi	n. cluster sign.	SIR cluster	Tasso std. * 100000 (ic)	SIR (ic)	BIR (ic)	SIR sign.	BIR sign.	Trend	Livello attenzione
Malattie neuro-psichiatriche (escluse tossicod.) (F00-F09, F20-F99)	M + F	49	60.0	.	.	20 (16-26)	82 (65-103)	81 (72-100)		↓	→	0 
Malattie del sistema nervoso e degli organi di senso (G00-H95)	F	79	59.3	.	.	66 (55-80)	133 (111-160)	113 (97-134)	↑		→	2 
Malattie del sistema nervoso e degli organi di senso (G00-H95)	M	76	48.2	1	117.3	63 (52-77)	158 (130-190)	119 (104-146)	↑	↑	→	5 
Malattie del sistema nervoso e degli organi di senso (G00-H95)	M + F	155	107.6	1	116.3	65 (57-74)	144 (126-164)	119 (109-130)	↑	↑	↘	4 
Morbo di Parkinson (G20)	F	7	8.5	1	124.8	6 (3-11)	82 (45-152)	128 (101-155)		↑	n.c.	4 
Morbo di Parkinson (G20)	M	20	10.6	2	150.5	16 (11-24)	189 (131-272)	116 (97-135)	↑		→	3 
Morbo di Parkinson (G20)	M + F	27	19.1	1	135.2	11 (8-15)	141 (103-194)	125 (90-149)	↑		→	3 
Malattia di Alzheimer (G30)	F	49	30.0	.	.	41 (32-53)	163 (129-206)	126 (109-165)	↑	↑	→	4 
Malattia di Alzheimer (G30)	M	30	18.2	.	.	25 (18-34)	165 (122-222)	124 (97-159)	↑		→	2 
Malattia di Alzheimer (G30)	M + F	79	48.2	.	.	33 (27-40)	164 (136-197)	139 (116-163)	↑	↑	↘	4 
Malattia dei neuroni motori (G122)	F	<5	<5	.	.	3 (1-7)	68 (27-171)	46 (29-84)		↓	n.c.	0 
Malattia dei neuroni motori (G122)	M	<5	<5	.	.	3 (1-8)	89 (40-198)	76 (51-107)			n.c.	0 

Causa (ICD-X) Fermo	Genere	Osservati	Attesi	n. cluster sign.	SIR cluster	Tasso std. * 100000 (ic)	SIR (ic)	BIR (ic)	SIR sign.	BIR sign.	Trend	Livello attenzione
Malattia dei neuroni motori (G122)	M + F	7	8.9	.	.	3 (1-6)	79 (43-145)	58 (37-89)		↓	n.c.	0 
Sclerosi multipla (G35)	F	<5	<5	.	.	2 (0-5)	293 (97-886)	109 (74-150)			n.c.	0 
Sclerosi multipla (G35)	M	<5	<5	.	.	1 (0-5)	193 (43-867)	67 (30-143)			n.c.	0 
Sclerosi multipla (G35)	M + F	<5	<5	.	.	1 (0-3)	250 (100-626)	116 (79-165)			n.c.	0 
Malattie apparato circolatorio (I00-I99)	F	552	538.4	1	109.8	459 (427-492)	103 (96-110)	103 (97-109)			→	2 
Malattie apparato circolatorio (I00-I99)	M	455	461.4	.	.	372 (344-402)	99 (91-107)	99 (92-104)			→	0 
Malattie apparato circolatorio (I00-I99)	M + F	1007	999.8	.	.	417 (395-439)	101 (96-106)	101 (97-107)			→	0 
Malattie ischemiche del cuore (I20-I25)	F	187	176.7	.	.	157 (138-177)	106 (94-119)	100 (90-112)			→	0 
Malattie ischemiche del cuore (I20-I25)	M	205	188.4	.	.	168 (150-189)	109 (97-122)	100 (91-108)			→	0 
Malattie ischemiche del cuore (I20-I25)	M + F	392	365.1	.	.	162 (149-177)	107 (99-117)	105 (98-112)			→	0 
Infarto miocardico acuto (I21-I22)	F	42	52.8	.	.	35 (27-46)	80 (62-102)	86 (75-102)			↘	0 
Infarto miocardico acuto (I21-I22)	M	67	69.2	.	.	56 (45-69)	97 (79-118)	94 (82-105)			↘	0 

Causa (ICD-X) Fermo	Genere	Osservati	Attesi	n. cluster sign.	SIR cluster	Tasso std. * 100000 (ic)	SIR (ic)	BIR (ic)	SIR sign.	BIR sign.	Trend	Livello attenzione
Infarto miocardico acuto (I21-I22)	M + F	109	122.0	.	.	46 (39-54)	89 (76-105)	88 (76-102)			↘	0 
Malattie cerebrovascolari (I60-I69)	F	147	154.7	1	118.7	123 (107-141)	95 (83-109)	106 (95-116)			→	2 
Malattie cerebrovascolari (I60-I69)	M	110	120.8	1	120.0	90 (76-105)	91 (78-106)	105 (95-114)			→	2 
Malattie cerebrovascolari (I60-I69)	M + F	257	275.5	1	117.1	107 (96-118)	93 (84-103)	101 (93-109)			→	2 
Malattie apparato respiratorio (J00-J99)	F	53	63.8	.	.	43 (34-55)	83 (66-104)	87 (77-95)		↓	↘	0 
Malattie apparato respiratorio (J00-J99)	M	84	97.3	.	.	68 (56-81)	86 (72-103)	86 (79-97)		↓	→	0 
Malattie apparato respiratorio (J00-J99)	M + F	137	161.1	.	.	55 (48-64)	85 (74-98)	88 (81-96)	↓	↓	→	0 
Malattie respiratorie acute (J00-J06, J10-J18, J20-J22)	F	16	18.9	.	.	13 (8-20)	84 (56-127)	70 (53-90)		↓	→	0 
Malattie respiratorie acute (J00-J06, J10-J18, J20-J22)	M	10	20.6	.	.	8 (4-14)	48 (29-81)	79 (64-90)	↓	↓	n.c.	0 
Malattie respiratorie acute (J00-J06, J10-J18, J20-J22)	M + F	26	39.6	.	.	10 (7-15)	66 (48-91)	69 (55-83)	↓	↓	→	0 
Malattie croniche apparato respiratorio (BCPO) (J41-J44, J47)	F	19	26.2	.	.	15 (10-23)	72 (50-105)	84 (62-98)		↓	↘	0 
Malattie croniche apparato respiratorio (BCPO) (J41-J44, J47)	M	60	52.6	.	.	48 (39-60)	114 (92-141)	99 (85-117)			→	0 

Causa (ICD-X) Fermo	Genere	Osservati	Attesi	n. cluster sign.	SIR cluster	Tasso std. * 100000 (ic)	SIR (ic)	BIR (ic)	SIR sign.	BIR sign.	Trend	Livello attenzione
Malattie croniche apparato respiratorio (BCPO) (J41-J44, J47)	M + F	79	78.9	.	.	31 (26-38)	100 (83-120)	95 (82-105)			→	0 
Asma (J45)	F	0	1.0	.	.	0 (0-3)	0 (.-)	83 (36-160)			n.c.	0 
Asma (J45)	M	0	0.8	.	.	0 (0-3)	0 (.-)	60 (29-109)			n.c.	0 
Asma (J45)	M + F	0	1.7	.	.	0 (0-1)	0 (.-)	92 (68-141)			n.c.	0 
Pneumoconiosi (J60-J64)	M	<5	<5	.	.	2 (0-6)	87 (29-264)	45 (18-79)		↓	n.c.	0 
Pneumoconiosi (J60-J64)	M + F	<5	<5	.	.	1 (0-3)	87 (29-264)	45 (18-79)		↓	n.c.	0 
Malattie apparato digerente (K00-K93)	F	43	44.4	.	.	36 (27-46)	97 (75-124)	96 (87-107)			→	0 
Malattie apparato digerente (K00-K93)	M	43	44.9	.	.	35 (27-46)	96 (75-123)	100 (91-112)			→	0 
Malattie apparato digerente (K00-K93)	M + F	86	89.4	.	.	35 (29-42)	96 (81-115)	95 (86-103)			→	0 
Cirrosi e altre malattie croniche del fegato (K70, K73-K74)	F	7	7.7	.	.	6 (3-11)	91 (50-169)	97 (74-124)			n.c.	0 
Cirrosi e altre malattie croniche del fegato (K70, K73-K74)	M	7	13.5	.	.	6 (3-11)	52 (28-95)	88 (74-103)	↓		n.c.	0 
Cirrosi e altre malattie croniche del fegato (K70, K73-K74)	M + F	14	21.2	.	.	6 (4-9)	66 (43-102)	85 (66-98)		↓	n.c.	0 

Causa (ICD-X) Fermo	Genere	Osservati	Attesi	n. cluster sign.	SIR cluster	Tasso std. * 100000 (ic)	SIR (ic)	BIR (ic)	SIR sign.	BIR sign.	Trend	Livello attenzione
Nefropatie croniche e acute (N00-N12)	F	<5	<5	.	.	1 (0-4)	253 (56-1133)	90 (30-236)			n.c.	0 
Nefropatie croniche e acute (N00-N12)	M	0	0.4	.	.	0 (0-3)	0 (.-)	74 (33-147)			n.c.	0 
Nefropatie croniche e acute (N00-N12)	M + F	<5	<5	.	.	0 (0-2)	127 (28-567)	89 (65-141)			n.c.	0 
Malattie apparato genito-urinario (N00-N99)	F	27	22.6	.	.	22 (16-31)	119 (87-164)	109 (91-129)			→	0 
Malattie apparato genito-urinario (N00-N99)	M	21	23.7	.	.	17 (11-25)	89 (62-127)	97 (81-120)			→	0 
Malattie apparato genito-urinario (N00-N99)	M + F	48	46.3	.	.	20 (15-25)	104 (82-131)	107 (93-125)			→	0 
Insufficienza renale acuta e cronica (N17-N19)	F	24	18.4	1	119.6	20 (14-28)	131 (94-183)	114 (97-139)			→	2 
Insufficienza renale acuta e cronica (N17-N19)	M	18	18.9	.	.	14 (9-22)	95 (65-140)	103 (82-135)			→	0 
Insufficienza renale acuta e cronica (N17-N19)	M + F	42	37.3	1	111.0	17 (13-22)	113 (87-145)	112 (93-136)			→	2 
Sintomi, segni e stati morbosi mal definiti (R00-R99)	F	7	16.3	.	.	6 (3-11)	43 (23-79)	48 (32-80)	↓	↓	n.c.	0 
Sintomi, segni e stati morbosi mal definiti (R00-R99)	M	4	7.9	.	.	3 (1-8)	51 (23-113)	59 (35-97)		↓	n.c.	0 
Sintomi, segni e stati morbosi mal definiti (R00-R99)	M + F	11	24.2	.	.	5 (3-8)	45 (28-74)	51 (32-72)	↓	↓	→	0 

Causa (ICD-X) Fermo	Genere	Osservati	Attesi	n. cluster sign.	SIR cluster	Tasso std. * 100000 (ic)	SIR (ic)	BIR (ic)	SIR sign.	BIR sign.	Trend	Livello attenzione
Traumatismi e avvelenamenti (S00-T98)	F	48	38.9	1	117.9	40 (31-51)	123 (97-156)	114 (99-134)			→	2 
Traumatismi e avvelenamenti (S00-T98)	M	55	62.2	.	.	48 (38-60)	88 (71-110)	91 (84-98)		↓	→	0 
Traumatismi e avvelenamenti (S00-T98)	M + F	103	101.1	.	.	44 (37-52)	102 (87-120)	100 (92-114)			↗	1 

Tabella C2. Decessi per causa nel comune di Ponzano di Fermo, tutte le età - Anni 2006-2011, confronto Regione Marche

Causa (ICD-X) Ponzano di Fermo	Genere	Osservati	Attesi	n. cluster sign.	SIR cluster	Tasso std. * 100000 (ic)	SIR (ic)	BIR (ic)	SIR sign.	BIR sign.	Trend	Livello attenzione
Mortalità generale (escluse cause violente) (A00-R99)	F	41	43.0	1	103.5	889 (673-1166)	95 (74-123)	102 (94-109)			→	2 😊
Mortalità generale (escluse cause violente) (A00-R99)	M	37	50.2	.	.	742 (550-1012)	74 (56-97)	97 (87-106)	↓		→	0 😊
Mortalità generale (escluse cause violente) (A00-R99)	M + F	78	93.1	.	.	818 (670-1002)	84 (70-101)	96 (91-103)			→	0 😊
Mortalità per cause esterne o violente (S00-Y99)	F	<5	<5	1	117.9	21 (1-121)	68 (15-305)	112 (82-158)			n.c.	2 😊
Mortalità per cause esterne o violente (S00-Y99)	M	<5	<5	.	.	81 (28-232)	146 (66-326)	98 (78-115)			n.c.	0 😊
Mortalità per cause esterne o violente (S00-Y99)	M + F	5	4.2	1	118.3	50 (20-126)	119 (58-245)	99 (82-120)			n.c.	2 😊
Malattie infettive (A00-B99)	F	0	0.7	.	.	0 (0-90)	0 (.-)	80 (55-116)			n.c.	0 😊
Malattie infettive (A00-B99)	M	0	0.8	1	120.6	0 (0-125)	0 (.-)	105 (71-155)			n.c.	2 😊
Malattie infettive (A00-B99)	M + F	0	1.4	.	.	0 (0-61)	0 (.-)	98 (69-136)			n.c.	0 😊
Tumori maligni delle vie aeree e digestive superiori (C00-C15, C32)	F	0	0.1	.	.	0 (0-90)	0 (.-)	98 (63-141)			n.c.	0 😊
Tumori maligni delle vie aeree e digestive superiori (C00-C15, C32)	M	0	0.6	.	.	0 (0-125)	0 (.-)	71 (52-88)		↓	n.c.	0 😊

Causa (ICD-X)	Genere	Osservati	Attesi	n. cluster sign.	SIR cluster	Tasso std. * 100000 (ic)	SIR (ic)	BIR (ic)	SIR sign.	BIR sign.	Trend	Livello attenzione
Ponzano di Fermo Tumori maligni delle vie aeree e digestive superiori (C00-C15, C32)	M + F	0	0.7	.	.	0 (0-61)	0 (.-)	87 (61-113)			n.c.	0 
Tumori maligni (C00-C97)	F	10	10.6	.	.	210 (114-372)	94 (56-158)	99 (89-107)			n.c.	0 
Tumori maligni (C00-C97)	M	15	16.6	.	.	297 (182-495)	91 (59-138)	95 (87-103)			n.c.	0 
Tumori maligni (C00-C97)	M + F	25	27.2	.	.	252 (175-369)	92 (66-128)	96 (84-107)			n.c.	0 
Tumori maligni esofago (C15)	F	0	0.0	.	.	0 (0-90)	0 (.-)	57 (32-93)		↓	n.c.	0 
Tumori maligni esofago (C15)	M	0	0.2	.	.	0 (0-125)	0 (.-)	83 (45-120)			n.c.	0 
Tumori maligni esofago (C15)	M + F	0	0.2	.	.	0 (0-61)	0 (.-)	76 (44-103)			n.c.	0 
Tumori maligni dello stomaco (C16)	F	<5	<5	.	.	27 (1-134)	114 (25-510)	107 (85-136)			n.c.	0 
Tumori maligni dello stomaco (C16)	M	0	1.4	.	.	0 (0-125)	0 (.-)	97 (70-131)			n.c.	0 
Tumori maligni dello stomaco (C16)	M + F	<5	<5	.	.	14 (1-82)	45 (10-200)	91 (66-123)			n.c.	0 
Tumori maligni intestino tenue compreso il duodeno (C17)	F	0	0.0	.	.	0 (0-90)	0 (.-)	103 (47-258)			n.c.	0 
Tumori maligni intestino tenue compreso il duodeno (C17)	M	0	0.0	.	.	0 (0-125)	0 (.-)	114 (51-220)			n.c.	0 

Causa (ICD-X) Ponzano di Fermo	Genere	Osservati	Attesi	n. cluster sign.	SIR cluster	Tasso std. * 100000 (ic)	SIR (ic)	BIR (ic)	SIR sign.	BIR sign.	Trend	Livello attenzione
Tumori maligni intestino tenue compreso il duodeno (C17)	M + F	0	0.0	.	.	0 (0-61)	0 (.-)	80 (28-255)			n.c.	0 
Tumori maligni del colon (C18)	F	<5	<5	.	.	42 (8-153)	189 (62-571)	98 (79-130)			n.c.	0 
Tumori maligni del colon (C18)	M	0	1.5	.	.	0 (0-125)	0 (.-)	99 (79-124)			n.c.	0 
Tumori maligni del colon (C18)	M + F	<5	<5	.	.	22 (4-91)	78 (26-235)	106 (90-114)			n.c.	0 
Tumori maligni del retto della giunzione retto-sigmoidea e ano (C19-C21)	F	0	0.3	.	.	0 (0-90)	0 (.-)	96 (70-129)			n.c.	0 
Tumori maligni del retto della giunzione retto-sigmoidea e ano (C19-C21)	M	0	0.5	.	.	0 (0-125)	0 (.-)	71 (37-107)			n.c.	0 
Tumori maligni del retto della giunzione retto-sigmoidea e ano (C19-C21)	M + F	0	0.8	.	.	0 (0-61)	0 (.-)	66 (36-97)		↓	n.c.	0 
Tumore fegato e dotti biliari (C22)	F	0	0.3	.	.	0 (0-90)	0 (.-)	88 (64-124)			n.c.	0 
Tumore fegato e dotti biliari (C22)	M	<5	<5	.	.	19 (1-150)	150 (33-672)	86 (55-116)			n.c.	0 
Tumore fegato e dotti biliari (C22)	M + F	<5	<5	.	.	9 (0-73)	104 (23-467)	72 (47-97)		↓	n.c.	0 
Tumori maligni del pancreas (C25)	F	<5	<5	.	.	22 (1-124)	128 (29-575)	80 (58-136)			n.c.	0 

Causa (ICD-X)	Genere	Osservati	Attesi	n. cluster sign.	SIR cluster	Tasso std. * 100000 (ic)	SIR (ic)	BIR (ic)	SIR sign.	BIR sign.	Trend	Livello attenzione
Tumori maligni del pancreas (C25)	M	0	0.9	.	.	0 (0-125)	0 (.-)	73 (53-127)			n.c.	0 
Tumori maligni del pancreas (C25)	M + F	<5	<5	.	.	11 (1-77)	60 (13-267)	87 (66-105)			n.c.	0 
Tumore del retroperitoneo (C48)	F	0	0.0	.	.	0 (0-90)	0 (.-)	75 (32-125)			n.c.	0 
Tumore del retroperitoneo (C48)	M	0	0.0	.	.	0 (0-125)	0 (.-)	103 (46-185)			n.c.	0 
Tumore del retroperitoneo (C48)	M + F	0	0.1	.	.	0 (0-61)	0 (.-)	74 (24-136)			n.c.	0 
Tumori maligni della laringe (C32)	F	0	0.0	.	.	0 (0-90)	0 (.-)	79 (36-157)			n.c.	0 
Tumori maligni della laringe (C32)	M	0	0.2	.	.	0 (0-125)	0 (.-)	82 (62-125)			n.c.	0 
Tumori maligni della laringe (C32)	M + F	0	0.2	.	.	0 (0-61)	0 (.-)	51 (31-89)		↓	n.c.	0 
Tumori maligni della trachea dei bronchi e dei polmoni (C33-C34)	F	0	1.0	.	.	0 (0-90)	0 (.-)	100 (69-157)			n.c.	0 
Tumori maligni della trachea dei bronchi e dei polmoni (C33-C34)	M	5	4.1	.	.	95 (37-248)	121 (59-248)	83 (65-100)		↓	n.c.	0 
Tumori maligni della trachea dei bronchi e dei polmoni (C33-C34)	M + F	5	5.2	.	.	46 (18-120)	97 (47-199)	86 (70-102)			n.c.	0 
Mesotelioma (pleura, peritoneo, endocardio, ecc.) (C45)	F	0	0.0	.	.	0 (0-90)	0 (.-)	48 (24-123)			n.c.	0 

Causa (ICD-X)	Genere	Osservati	Attesi	n. cluster sign.	SIR cluster	Tasso std. * 100000 (ic)	SIR (ic)	BIR (ic)	SIR sign.	BIR sign.	Trend	Livello attenzione
Mesotelioma (pleura, peritoneo, endocardio, ecc.) (C45)	M	0	0.1	.	.	0 (0-125)	0 (.-)	79 (40-150)			n.c.	0 
Mesotelioma (pleura, peritoneo, endocardio, ecc.) (C45)	M + F	0	0.2	.	.	0 (0-61)	0 (.-)	76 (43-112)			n.c.	0 
Tumori maligni delle ossa e della cartilagine articolare (C40-C41)	F	0	0.0	.	.	0 (0-90)	0 (.-)	86 (49-137)			n.c.	0 
Tumori maligni delle ossa e della cartilagine articolare (C40-C41)	M	0	0.0	.	.	0 (0-125)	0 (.-)	135 (58-298)			n.c.	0 
Tumori maligni delle ossa e della cartilagine articolare (C40-C41)	M + F	0	0.1	.	.	0 (0-61)	0 (.-)	95 (58-144)			n.c.	0 
Tumori maligni del connettivo e di altri tessuti molli (C49)	F	0	0.1	.	.	0 (0-90)	0 (.-)	71 (44-140)			n.c.	0 
Tumori maligni del connettivo e di altri tessuti molli (C49)	M	0	0.1	.	.	0 (0-125)	0 (.-)	71 (36-141)			n.c.	0 
Tumori maligni del connettivo e di altri tessuti molli (C49)	M + F	0	0.1	.	.	0 (0-61)	0 (.-)	69 (41-135)			n.c.	0 
Melanoma maligno della pelle (C43)	F	0	0.1	.	.	0 (0-90)	0 (.-)	70 (34-137)			n.c.	0 
Melanoma maligno della pelle (C43)	M	0	0.2	.	.	0 (0-125)	0 (.-)	81 (42-151)			n.c.	0 
Melanoma maligno della pelle (C43)	M + F	0	0.3	.	.	0 (0-61)	0 (.-)	86 (47-133)			n.c.	0 
Tumori maligni della mammella (C50)	F	<5	<5	.	.	60 (16-177)	178 (71-444)	114 (99-130)			n.c.	0 

Causa (ICD-X) Ponzano di Fermo	Genere	Osservati	Attesi	n. cluster sign.	SIR cluster	Tasso std. * 100000 (ic)	SIR (ic)	BIR (ic)	SIR sign.	BIR sign.	Trend	Livello attenzione
Tumori maligni utero (C53-C55)	F	0	0.4	.	.	0 (0-90)	0 (.-)	93 (55-129)			n.c.	0 
Tumori maligni del corpo dell'utero (C54)	F	0	0.1	.	.	0 (0-90)	0 (.-)	75 (37-180)			n.c.	0 
Tumori maligni ovaio e degli altri annessi uterini (C56-C57)	F	<5	<5	.	.	18 (1-116)	207 (46-926)	96 (64-154)			n.c.	0 
Tumore della prostata (C61)	M	5	1.4	.	.	98 (38-253)	350 (171-720)	111 (91-139)	↑		n.c.	2 
Tumore del testicolo (C62)	M	0	0.0	.	.	0 (0-125)	0 (.-)	88 (23-438)			n.c.	0 
Tumori maligni della vescica (C67)	F	0	0.2	.	.	0 (0-90)	0 (.-)	67 (33-122)			n.c.	0 
Tumori maligni della vescica (C67)	M	<5	<5	.	.	17 (1-148)	126 (28-566)	93 (71-118)			n.c.	0 
Tumori maligni della vescica (C67)	M + F	<5	<5	.	.	8 (0-72)	105 (23-470)	94 (79-118)			n.c.	0 
Tumori maligni del rene e di altri e non specificati organi urinari (C64)	F	0	0.2	.	.	0 (0-90)	0 (.-)	96 (64-132)			n.c.	0 
Tumori maligni del rene e di altri e non specificati organi urinari (C64)	M	0	0.5	.	.	0 (0-125)	0 (.-)	91 (70-113)			n.c.	0 
Tumori maligni del rene e di altri e non specificati organi urinari (C64)	M + F	0	0.8	.	.	0 (0-61)	0 (.-)	77 (52-115)			n.c.	0 
tumore del sistema nervoso centrale (C70-C72,D33)	F	0	0.2	.	.	0 (0-90)	0 (.-)	78 (53-97)		↓	n.c.	0 

Causa (ICD-X)	Genere	Osservati	Attesi	n. cluster sign.	SIR cluster	Tasso std. * 100000 (ic)	SIR (ic)	BIR (ic)	SIR sign.	BIR sign.	Trend	Livello attenzione
tumore del sistema nervoso centrale (C70-C72,D33)	M	0	0.4	.	.	0 (0-125)	0 (.-)	92 (70-141)			n.c.	0 
tumore del sistema nervoso centrale (C70-C72,D33)	M + F	0	0.6	.	.	0 (0-61)	0 (.-)	75 (48-113)			n.c.	0 
Tumori maligni encefalo (C71)	F	0	0.2	.	.	0 (0-90)	0 (.-)	78 (48-118)			n.c.	0 
Tumori maligni encefalo (C71)	M	0	0.4	.	.	0 (0-125)	0 (.-)	71 (39-132)			n.c.	0 
Tumori maligni encefalo (C71)	M + F	0	0.6	.	.	0 (0-61)	0 (.-)	92 (68-119)			n.c.	0 
Tumori maligni della ghiandola tiroide (C73)	F	0	0.0	.	.	0 (0-90)	0 (.-)	89 (46-199)			n.c.	0 
Tumori maligni della ghiandola tiroide (C73)	M	0	0.0	.	.	0 (0-125)	0 (.-)	126 (52-243)			n.c.	0 
Tumori maligni della ghiandola tiroide (C73)	M + F	0	0.1	.	.	0 (0-61)	0 (.-)	106 (52-193)			n.c.	0 
Tumori emolinfopietici (C81-C96)	F	0	1.0	.	.	0 (0-90)	0 (.-)	86 (69-113)			n.c.	0 
Tumori emolinfopietici (C81-C96)	M	0	1.4	.	.	0 (0-125)	0 (.-)	93 (77-118)			n.c.	0 
Tumori emolinfopietici (C81-C96)	M + F	0	2.4	.	.	0 (0-61)	0 (.-)	100 (89-111)			n.c.	0 
Malattia di Hodgkin (C81)	F	0	0.0	.	.	0 (0-90)	0 (.-)	77 (42-130)			n.c.	0 

Causa (ICD-X)	Genere	Osservati	Attesi	n. cluster sign.	SIR cluster	Tasso std. * 100000 (ic)	SIR (ic)	BIR (ic)	SIR sign.	BIR sign.	Trend	Livello attenzione
Malattia di Hodgkin (C81)	M	0	0.0	.	.	0 (0-125)	0 (.-)	111 (54-230)			n.c.	0 
Malattia di Hodgkin (C81)	M + F	0	0.1	.	.	0 (0-61)	0 (.-)	75 (20-199)			n.c.	0 
Linfoma non Hodgkin (C82-C85)	F	0	0.3	.	.	0 (0-90)	0 (.-)	97 (69-140)			n.c.	0 
Linfoma non Hodgkin (C82-C85)	M	0	0.5	.	.	0 (0-125)	0 (.-)	101 (68-143)			n.c.	0 
Linfoma non Hodgkin (C82-C85)	M + F	0	0.8	.	.	0 (0-61)	0 (.-)	103 (69-133)			n.c.	0 
Mieloma multiplo e tumori immunoproliferativi (C88, C90)	F	0	0.2	.	.	0 (0-90)	0 (.-)	79 (66-106)			n.c.	0 
Mieloma multiplo e tumori immunoproliferativi (C88, C90)	M	0	0.3	.	.	0 (0-125)	0 (.-)	109 (78-132)			n.c.	0 
Mieloma multiplo e tumori immunoproliferativi (C88, C90)	M + F	0	0.5	.	.	0 (0-61)	0 (.-)	85 (73-117)			n.c.	0 
Leucemie (C91-C95)	F	0	0.4	.	.	0 (0-90)	0 (.-)	90 (71-130)			n.c.	0 
Leucemie (C91-C95)	M	0	0.6	.	.	0 (0-125)	0 (.-)	87 (64-130)			n.c.	0 
Leucemie (C91-C95)	M + F	0	1.0	.	.	0 (0-61)	0 (.-)	87 (68-108)			n.c.	0 
Leucemia linfoide (acuta e cronica) (C91)	F	0	0.1	.	.	0 (0-90)	0 (.-)	93 (56-158)			n.c.	0 

Causa (ICD-X) Ponzano di Fermo	Genere	Osservati	Attesi	n. cluster sign.	SIR cluster	Tasso std. * 100000 (ic)	SIR (ic)	BIR (ic)	SIR sign.	BIR sign.	Trend	Livello attenzione
Leucemia linfoide (acuta e cronica) (C91)	M	0	0.2	.	.	0 (0-125)	0 (.-)	98 (54-157)			n.c.	0 
Leucemia linfoide (acuta e cronica) (C91)	M + F	0	0.4	.	.	0 (0-61)	0 (.-)	91 (61-143)			n.c.	0 
Leucemia mieloide (acuta e cronica) (C92)	F	0	0.2	.	.	0 (0-90)	0 (.-)	88 (54-143)			n.c.	0 
Leucemia mieloide (acuta e cronica) (C92)	M	0	0.3	.	.	0 (0-125)	0 (.-)	59 (43-101)			n.c.	0 
Leucemia mieloide (acuta e cronica) (C92)	M + F	0	0.4	.	.	0 (0-61)	0 (.-)	88 (63-108)			n.c.	0 
Malattie del sangue e degli organi emopoietici (D50-D77)	F	<5	<5	.	.	21 (1-121)	437 (97-1957)	103 (57-217)			n.c.	0 
Malattie del sangue e degli organi emopoietici (D50-D77)	M	0	0.2	.	.	0 (0-125)	0 (.-)	73 (36-124)			n.c.	0 
Malattie del sangue e degli organi emopoietici (D50-D77)	M + F	<5	<5	.	.	11 (1-76)	232 (52-1041)	99 (71-143)			n.c.	0 
Malattie endocrine della nutrizione ed immunitarie (E00-E90, D80-D89)	F	<5	<5	.	.	44 (8-156)	107 (35-323)	97 (84-123)			n.c.	0 
Malattie endocrine della nutrizione ed immunitarie (E00-E90, D80-D89)	M	<5	<5	2	132.2	18 (1-149)	56 (12-251)	105 (81-143)			n.c.	1 
Malattie endocrine della nutrizione ed immunitarie (E00-E90, D80-D89)	M + F	<5	<5	.	.	31 (8-103)	82 (33-205)	107 (74-141)			n.c.	0 
Tireotossicosi (E05)	F	0	0.0	.	.	0 (0-90)	0 (.-)	101 (52-208)			n.c.	0 

Causa (ICD-X)	Genere	Osservati	Attesi	n. cluster sign.	SIR cluster	Tasso std. * 100000 (ic)	SIR (ic)	BIR (ic)	SIR sign.	BIR sign.	Trend	Livello attenzione
Tireotossicosi (E05)	M	0	0.0	.	.	0 (0-125)	0 (.-)	100 (29-227)			n.c.	0 
Tireotossicosi (E05)	M + F	0	0.0	.	.	0 (0-61)	0 (.-)	114 (18-475)			n.c.	0 
Ipotiroidismo (E00-E03)	F	0	0.0	.	.	0 (0-90)	0 (.-)	60 (24-130)			n.c.	0 
Ipotiroidismo (E00-E03)	M	0	0.0	.	.	0 (0-125)	0 (.-)	56 (13-272)			n.c.	0 
Ipotiroidismo (E00-E03)	M + F	0	0.0	.	.	0 (0-61)	0 (.-)	99 (40-196)			n.c.	0 
Diabete mellito (E10-E14)	F	<5	<5	.	.	44 (8-156)	141 (47-427)	112 (96-131)			n.c.	0 
Diabete mellito (E10-E14)	M	<5	<5	.	.	18 (1-149)	74 (17-333)	98 (78-128)			n.c.	0 
Diabete mellito (E10-E14)	M + F	<5	<5	.	.	31 (8-103)	109 (43-272)	108 (79-148)			n.c.	0 
Demenze (F00-F01, F02.0-F02.3, F03, G30, G31.0)	F	6	2.5	.	.	132 (57-275)	242 (125-468)	125 (88-165)	↑		n.c.	2 
Demenze (F00-F01, F02.0-F02.3, F03, G30, G31.0)	M	0	1.6	.	.	0 (0-125)	0 (.-)	105 (77-149)			n.c.	0 
Demenze (F00-F01, F02.0-F02.3, F03, G30, G31.0)	M + F	6	4.1	.	.	68 (29-151)	146 (75-282)	118 (85-188)			n.c.	0 
Malattie neuro-psichiatriche (escluse tossicod.) (F00-F09, F20-F99)	F	6	1.4	.	.	132 (57-275)	429 (222-829)	129 (67-219)	↑		n.c.	2 

Causa (ICD-X)	Genere	Osservati	Attesi	n. cluster sign.	SIR cluster	Tasso std. * 100000 (ic)	SIR (ic)	BIR (ic)	SIR sign.	BIR sign.	Trend	Livello attenzione
Malattie neuro-psichiatriche (escluse tossicod.) (F00-F09, F20-F99)	M	0	0.9	.	.	0 (0-125)	0 (.-)	74 (46-120)			n.c.	0 
Malattie neuro-psichiatriche (escluse tossicod.) (F00-F09, F20-F99)	M + F	6	2.3	.	.	68 (29-151)	259 (134-501)	121 (77-184)	↑		n.c.	2 
Malattie del sistema nervoso e degli organi di senso (G00-H95)	F	<5	<5	.	.	41 (7-151)	89 (30-270)	100 (77-128)			n.c.	0 
Malattie del sistema nervoso e degli organi di senso (G00-H95)	M	<5	<5	.	.	18 (1-149)	49 (11-217)	112 (80-154)			n.c.	0 
Malattie del sistema nervoso e degli organi di senso (G00-H95)	M + F	<5	<5	.	.	30 (8-101)	70 (28-175)	107 (80-149)			n.c.	0 
Morbo di Parkinson (G20)	F	<5	<5	1	124.8	21 (1-121)	306 (68-1372)	132 (99-178)			n.c.	2 
Morbo di Parkinson (G20)	M	<5	<5	2	150.5	18 (1-149)	219 (49-980)	110 (78-151)			n.c.	1 
Morbo di Parkinson (G20)	M + F	<5	<5	1	135.2	20 (3-87)	255 (84-771)	127 (99-189)			n.c.	2 
Malattia di Alzheimer (G30)	F	0	1.1	.	.	0 (0-90)	0 (.-)	81 (53-135)			n.c.	0 
Malattia di Alzheimer (G30)	M	0	0.8	.	.	0 (0-125)	0 (.-)	117 (73-202)			n.c.	0 
Malattia di Alzheimer (G30)	M + F	0	1.9	.	.	0 (0-61)	0 (.-)	111 (66-180)			n.c.	0 
Malattia dei neuroni motori (G122)	F	0	0.2	.	.	0 (0-90)	0 (.-)	30 (11-107)			n.c.	0 

Causa (ICD-X)	Genere	Osservati	Attesi	n. cluster sign.	SIR cluster	Tasso std. * 100000 (ic)	SIR (ic)	BIR (ic)	SIR sign.	BIR sign.	Trend	Livello attenzione
Malattia dei neuroni motori (G122)	M	0	0.2	.	.	0 (0-125)	0 (.-)	63 (30-123)			n.c.	0 😊
Malattia dei neuroni motori (G122)	M + F	0	0.4	.	.	0 (0-61)	0 (.-)	43 (23-81)		↓	n.c.	0 😊
Sclerosi multipla (G35)	F	0	0.0	.	.	0 (0-90)	0 (.-)	89 (54-224)			n.c.	0 😊
Sclerosi multipla (G35)	M	0	0.0	.	.	0 (0-125)	0 (.-)	86 (17-348)			n.c.	0 😊
Sclerosi multipla (G35)	M + F	0	0.1	.	.	0 (0-61)	0 (.-)	102 (48-191)			n.c.	0 😊
Malattie apparato circolatorio (I00-I99)	F	13	19.5	1	109.8	279 (165-457)	67 (42-105)	104 (89-119)			n.c.	2 😄
Malattie apparato circolatorio (I00-I99)	M	13	19.3	.	.	277 (160-480)	67 (43-106)	95 (86-115)			→	0 😊
Malattie apparato circolatorio (I00-I99)	M + F	26	38.8	.	.	278 (193-402)	67 (49-92)	94 (80-109)		↓	→	0 😊
Malattie ischemiche del cuore (I20-I25)	F	6	6.4	.	.	129 (56-271)	94 (48-181)	97 (65-129)			n.c.	0 😊
Malattie ischemiche del cuore (I20-I25)	M	8	7.9	.	.	183 (87-370)	101 (57-179)	99 (84-117)			→	0 😊
Malattie ischemiche del cuore (I20-I25)	M + F	14	14.3	.	.	155 (92-260)	98 (63-151)	98 (80-121)			→	0 😊
Infarto miocardico acuto (I21-I22)	F	<5	<5	.	.	22 (1-124)	51 (11-227)	85 (61-125)			n.c.	0 😊

Causa (ICD-X) Ponzano di Fermo	Genere	Osservati	Attesi	n. cluster sign.	SIR cluster	Tasso std. * 100000 (ic)	SIR (ic)	BIR (ic)	SIR sign.	BIR sign.	Trend	Livello attenzione
Infarto miocardico acuto (I21-I22)	M	<5	<5	.	.	42 (7-182)	67 (22-203)	94 (68-129)			n.c.	0 
Infarto miocardico acuto (I21-I22)	M + F	<5	>5	.	.	32 (9-104)	61 (24-152)	85 (58-120)			n.c.	0 
Malattie cerebrovascolari (I60-I69)	F	<5	>5	1	118.7	21 (1-121)	18 (4-79)	107 (84-135)	↓		n.c.	2 
Malattie cerebrovascolari (I60-I69)	M	<5	>5	1	120.0	76 (26-223)	79 (35-176)	115 (97-142)			n.c.	2 
Malattie cerebrovascolari (I60-I69)	M + F	5	10.7	1	117.1	47 (19-122)	47 (23-96)	99 (78-132)	↓		n.c.	2 
Malattie apparato respiratorio (J00-J99)	F	<5	<5	.	.	43 (8-155)	87 (29-263)	92 (73-114)			n.c.	0 
Malattie apparato respiratorio (J00-J99)	M	<5	<5	.	.	60 (16-205)	74 (29-184)	88 (72-106)			n.c.	0 
Malattie apparato respiratorio (J00-J99)	M + F	5	6.4	.	.	51 (20-129)	78 (38-161)	87 (73-107)			n.c.	0 
Malattie respiratorie acute (J00-J06, J10-J18, J20-J22)	F	<5	<5	.	.	21 (1-121)	149 (33-668)	75 (41-115)			n.c.	0 
Malattie respiratorie acute (J00-J06, J10-J18, J20-J22)	M	<5	<5	.	.	24 (1-159)	117 (26-526)	86 (59-110)			n.c.	0 
Malattie respiratorie acute (J00-J06, J10-J18, J20-J22)	M + F	<5	<5	.	.	22 (4-91)	131 (43-397)	75 (52-101)			n.c.	0 
Malattie croniche apparato respiratorio (BCPO) (J41-J44, J47)	F	0	1.0	.	.	0 (0-90)	0 (.-)	85 (54-126)			n.c.	0 

Causa (ICD-X)	Genere	Osservati	Attesi	n. cluster sign.	SIR cluster	Tasso std. * 100000 (ic)	SIR (ic)	BIR (ic)	SIR sign.	BIR sign.	Trend	Livello attenzione
Malattie croniche apparato respiratorio (BCPO) (J41-J44, J47)	M	<5	<5	.	.	18 (1-149)	45 (10-202)	89 (57-121)			n.c.	0 
Malattie croniche apparato respiratorio (BCPO) (J41-J44, J47)	M + F	<5	<5	.	.	9 (0-72)	31 (7-141)	88 (64-116)			n.c.	0 
Asma (J45)	F	0	0.0	.	.	0 (0-90)	0 (.-)	99 (43-227)			n.c.	0 
Asma (J45)	M	0	0.0	.	.	0 (0-125)	0 (.-)	82 (23-195)			n.c.	0 
Asma (J45)	M + F	0	0.1	.	.	0 (0-61)	0 (.-)	124 (67-268)			n.c.	0 
Pneumoconiosi (J60-J64)	M	0	0.1	.	.	0 (0-125)	0 (.-)	31 (7-154)			n.c.	0 
Pneumoconiosi (J60-J64)	M + F	0	0.1	.	.	0 (0-61)	0 (.-)	31 (7-154)			n.c.	0 
Malattie apparato digerente (K00-K93)	F	0	1.7	.	.	0 (0-90)	0 (.-)	92 (76-113)			n.c.	0 
Malattie apparato digerente (K00-K93)	M	<5	<5	.	.	72 (25-218)	210 (94-469)	111 (92-149)			n.c.	0 
Malattie apparato digerente (K00-K93)	M + F	<5	<5	.	.	35 (12-106)	112 (50-250)	94 (77-111)			n.c.	0 
Cirrosi e altre malattie croniche del fegato (K70, K73-K74)	F	0	0.3	.	.	0 (0-90)	0 (.-)	99 (62-160)			n.c.	0 
Cirrosi e altre malattie croniche del fegato (K70, K73-K74)	M	<5	<5	.	.	19 (1-150)	171 (38-769)	92 (69-122)			n.c.	0 

Causa (ICD-X) Ponzano di Fermo	Genere	Osservati	Attesi	n. cluster sign.	SIR cluster	Tasso std. * 100000 (ic)	SIR (ic)	BIR (ic)	SIR sign.	BIR sign.	Trend	Livello attenzione
Cirrosi e altre malattie croniche del fegato (K70, K73-K74)	M + F	<5	<5	.	.	9 (0-73)	114 (26-513)	95 (65-124)			n.c.	0 
Nefropatie croniche e acute (N00-N12)	F	0	0.0	.	.	0 (0-90)	0 (.-)	45 (4-257)			n.c.	0 
Nefropatie croniche e acute (N00-N12)	M	0	0.0	.	.	0 (0-125)	0 (.-)	110 (33-492)			n.c.	0 
Nefropatie croniche e acute (N00-N12)	M + F	0	0.0	.	.	0 (0-61)	0 (.-)	91 (48-151)			n.c.	0 
Malattie apparato genito-urinario (N00-N99)	F	0	0.8	.	.	0 (0-90)	0 (.-)	102 (79-132)			n.c.	0 
Malattie apparato genito-urinario (N00-N99)	M	0	1.0	.	.	0 (0-125)	0 (.-)	97 (62-149)			n.c.	0 
Malattie apparato genito-urinario (N00-N99)	M + F	0	1.8	.	.	0 (0-61)	0 (.-)	101 (75-152)			n.c.	0 
Insufficienza renale acuta e cronica (N17-N19)	F	0	0.7	1	119.6	0 (0-90)	0 (.-)	109 (71-140)			n.c.	2 
Insufficienza renale acuta e cronica (N17-N19)	M	0	0.8	.	.	0 (0-125)	0 (.-)	108 (68-167)			n.c.	0 
Insufficienza renale acuta e cronica (N17-N19)	M + F	0	1.4	1	111.0	0 (0-61)	0 (.-)	102 (64-148)			n.c.	2 
Sintomi, segni e stati morbosi mal definiti (R00-R99)	F	0	0.5	.	.	0 (0-90)	0 (.-)	55 (19-200)			n.c.	0 
Sintomi, segni e stati morbosi mal definiti (R00-R99)	M	0	0.3	.	.	0 (0-125)	0 (.-)	59 (17-188)			n.c.	0 

Causa (ICD-X) Ponzano di Fermo	Genere	Osservati	Attesi	n. cluster sign.	SIR cluster	Tasso std. * 100000 (ic)	SIR (ic)	BIR (ic)	SIR sign.	BIR sign.	Trend	Livello attenzione
Sintomi, segni e stati morbosi mal definiti (R00-R99)	M + F	0	0.8	.	.	0 (0-61)	0 (.-)	50 (18-164)			n.c.	0 
Traumatismi e avvelenamenti (S00-T98)	F	<5	<5	1	117.9	21 (1-121)	68 (15-305)	112 (82-158)			n.c.	2 
Traumatismi e avvelenamenti (S00-T98)	M	<5	<5	.	.	81 (28-232)	146 (66-326)	98 (78-115)			n.c.	0 
Traumatismi e avvelenamenti (S00-T98)	M + F	5	4.2	1	118.3	50 (20-126)	119 (58-245)	99 (82-120)			n.c.	2 

POPOLAZIONE ETA' PEDIATRICA

Tabella A1.b. Ricoveri ospedalieri (tutti) per causa nel comune di Fermo, 0-14 anni - Anni 2006-2012, confronto Regione Marche

Causa (ICD-IX) Fermo	Osservati	Attesi	n. cluster sign.	SIR cluster	Tasso std. * 100000 (ic)	SIR (ic)	BIR (ic)	SIR sign.	BIR sign.	Trend	Livello attenzione
Tutte le cause (000-999)	3953	3478.8	2	109.5	11440 (10904-12002)	114 (108-119)	114 (110-117)	↑	↑	↘	4 
Malattie infettive (001-139)	134	156.2	.	.	385 (319-466)	86 (71-104)	86 (73-100)		↓	→	0 
Infezioni acute delle vie respiratorie, polmonite e influenza (460-466, 480-487)	154	244.7	.	.	449 (381-529)	63 (53-74)	65 (57-75)	↓	↓	↘	0 
Asma (493)	38	39.5	.	.	109 (77-156)	96 (68-135)	86 (66-115)			↘	0 
Accidenti da trasporto (800-848)	92	86.9	.	.	267 (215-331)	106 (86-131)	101 (86-117)			→	0 
Traumatismi e avvelenamenti (800-999)	304	244.5	1	134.1	881 (779-996)	124 (110-140)	120 (109-134)	↑	↑	↘	4 
Avvelenamenti accidentali (850-869)	108	52.4	1	178.5	315 (259-383)	206 (170-250)	190 (157-220)	↑	↑	n.c.	5 

Tabella A2.b. Ricoveri ospedalieri (tutti) per causa nel comune di Ponzano di Fermo, 0-14 anni - Anni 2006-2012, confronto Regione Marche

Causa (ICD-IX) Ponzano di Fermo	Osservati	Attesi	n. cluster sign.	SIR cluster	Tasso std. * 100000 (ic)	SIR (ic)	BIR (ic)	SIR sign.	BIR sign.	Trend	Livello attenzione
Tutte le cause (000-999)	207	173.5	2	109.5	12155 (9718-15203)	119 (96-149)	117 (103-132)		↑	↘	4 
Malattie infettive (001-139)	<5	>5	.	.	188 (16-2234)	39 (13-122)	64 (34-113)			n.c.	0 
Infezioni acute delle vie respiratorie, polmonite e influenza (460-466, 480-487)	10	11.7	.	.	614 (300-1255)	86 (46-158)	76 (49-119)			n.c.	0 
Asma (493)	<5	<5	.	.	55 (.-.)	52 (7-371)	75 (37-148)			n.c.	0 
Accidenti da trasporto (800-848)	7	4.7	.	.	376 (149-949)	149 (71-312)	104 (77-136)			n.c.	0 
Traumatismi e avvelenamenti (800-999)	17	12.7	1	134.1	953 (551-1648)	134 (81-221)	124 (92-162)			n.c.	2 
Avvelenamenti accidentali (850-869)	<5	<5	1	178.5	235 (47-1172)	152 (57-404)	179 (104-294)		↑	n.c.	4 

Tabella B1.b. Primi ricoveri ospedalieri per causa nel comune di Fermo, 0-14 anni - Anni 2006-2012, confronto Regione Marche

Causa (ICD-IX) Fermo	Osservati	Attesi	n. cluster sign.	SIR cluster	Tasso std. * 100000 (ic)	SIR (ic)	BIR (ic)	SIR sign.	BIR sign.	Trend	Livello attenzione
Malattie infettive (001-139)	117	140.3	.	.	337 (287-393)	83 (72-97)	86 (72-96)	↓	↓	↘	0 
Tumori maligni (140-208)	11	10.8	.	.	32 (18-52)	102 (62-167)	85 (65-113)			n.c.	0 
Tumori maligni delle ossa e della cartilagine articolare (170)	<5	<5	.	.	3 (0-14)	205 (46-921)	88 (49-198)			n.c.	0 
Tumori maligni del connettivo e di altri tessuti molli (171)	<5	<5	.	.	3 (0-14)	152 (34-680)	40 (17-103)			n.c.	0 
Tumori maligni del rene e di altri e non specificati organi urinari (189)	<5	<5	.	.	6 (1-18)	326 (108-986)	81 (58-206)	↑		n.c.	2 
Tumori maligni dell'encefalo (191)	<5	<5	.	.	6 (1-19)	105 (35-316)	87 (57-131)			n.c.	0 
Tumori maligni del sistema nervoso centrale (191-192)	<5	<5	.	.	9 (2-23)	146 (58-364)	93 (62-135)			n.c.	0 
Tumori maligni della ghiandola tiroidea (193)	0	0.1	.	.	0 (0-9)	0 (.-)	53 (23-109)			n.c.	0 
Linfomi non Hodgkin (200, 202)	<5	<5	.	.	3 (0-14)	74 (17-333)	96 (50-148)			n.c.	0 
Tumori emolinfopoietici (200-208)	<5	<5	.	.	6 (1-18)	44 (14-132)	81 (56-115)			n.c.	0 
Leucemie (204-208)	<5	<5	.	.	3 (0-14)	34 (8-151)	70 (45-121)			n.c.	0 
Malattie endocrine e della nutrizione (240-279)	310	248.5	.	.	894 (812-982)	125 (114-137)	123 (112-133)	↑	↑	→	4 
Diabete mellito (250)	5	12.5	.	.	14 (6-30)	40 (19-82)	86 (71-107)	↓		↘	0 

Causa (ICD-IX)	Osservati	Attesi	n. cluster sign.	SIR cluster	Tasso std. * 100000 (ic)	SIR (ic)	BIR (ic)	SIR sign.	BIR sign.	Trend	Livello attenzione
Fermo											
Malattie neuro-psichiatriche (290-319)	45	77.1	.	.	129 (99-166)	58 (46-75)	62 (54-76)	↓	↓	↘	0 😊
Psicosi con origine specifica dell'infanzia (299)	<5	>5	.	.	6 (1-18)	34 (11-102)	86 (58-114)			n.c.	0 😊
Disturbi nervosi dell'infanzia (313-319)	25	52.4	.	.	72 (50-100)	48 (34-66)	57 (46-71)	↓	↓	→	0 😊
Malattie ereditarie e degenerative e altri disturbi del sistema nervoso centrale (330-349)	86	73.9	.	.	247 (205-296)	116 (97-139)	110 (99-126)			→	0 😊
Malattie cardiache (390-429)	23	22.2	.	.	67 (46-95)	104 (74-146)	96 (79-116)			→	0 😊
Malattie del sistema circolatorio (390-459)	59	41.5	.	.	171 (136-212)	142 (115-176)	102 (87-118)	↑		→	2 😊
Malattie dell'apparato respiratorio (460-5199)	397	491.9	.	.	1142 (1050-1242)	81 (74-88)	83 (78-91)	↓	↓	↘	0 😊
Malattie dell'apparato digerente (520-579)	211	214.1	.	.	605 (539-679)	99 (88-110)	97 (89-103)			↘	0 😊
Nefrite, sindrome nefrosica, e nefrosi (580-589)	14	11.8	.	.	40 (24-63)	119 (77-184)	104 (79-138)			→	0 😊
Malattie dell'apparato urinario (580-599)	105	75.4	1	115.3	305 (258-359)	139 (119-164)	122 (109-133)	↑	↑	↘	4 😊
Anomalie del sistema nervoso (740-742)	14	10.2	.	.	40 (24-63)	137 (89-212)	118 (93-150)			n.c.	0 😊
Malformazioni congenite (740-759)	177	176.4	.	.	512 (450-580)	100 (89-114)	100 (92-110)			↘	0 😊
Anomalie cardiovascolari (745-747)	28	31.9	.	.	83 (59-114)	88 (64-120)	91 (76-114)			→	0 😊

Causa (ICD-IX)	Osservati	Attesi	n. cluster sign.	SIR cluster	Tasso std. * 100000 (ic)	SIR (ic)	BIR (ic)	SIR sign.	BIR sign.	Trend	Livello attenzione
Fermo											
Anomalie dell'apparato genito-urinario (752-753)	60	70.4	.	.	172 (137-213)	85 (69-105)	89 (80-101)			↘	0 
Anomalie cromosomiche (758)	10	6.8	.	.	29 (16-49)	147 (88-247)	121 (82-165)			→	0 

Tabella B2.b. Primi ricoveri ospedalieri per causa nel comune di Ponzano di Fermo, 0-14 anni - Anni 2006-2012, confronto Regione Marche

Causa (ICD-IX) Ponzano di Fermo	Osservati	Attesi	n. cluster sign.	SIR cluster	Tasso std. * 100000 (ic)	SIR (ic)	BIR (ic)	SIR sign.	BIR sign.	Trend	Livello attenzione
Malattie infettive (001-139)	<5	>5	.	.	188 (51-503)	44 (18-110)	66 (41-96)		↓	n.c.	0
Tumori maligni (140-208)	0	0.5	.	.	0 (0-212)	0 (.-)	75 (45-160)			n.c.	0
Tumori maligni delle ossa e della cartilagine articolare (170)	0	0.0	.	.	0 (0-212)	0 (.-)	70 (25-205)			n.c.	0
Tumori maligni del connettivo e di altri tessuti molli (171)	0	0.0	.	.	0 (0-212)	0 (.-)	43 (12-178)			n.c.	0
Tumori maligni del rene e di altri e non specificati organi urinari (189)	0	0.0	.	.	0 (0-212)	0 (.-)	81 (41-239)			n.c.	0
Tumori maligni dell'encefalo (191)	0	0.1	.	.	0 (0-212)	0 (.-)	101 (45-200)			n.c.	0
Tumori maligni del sistema nervoso centrale (191-192)	0	0.1	.	.	0 (0-212)	0 (.-)	104 (48-201)			n.c.	0
Tumori maligni della ghiandola tiroidea (193)	0	0.0	.	.	0 (0-212)	0 (.-)	55 (22-193)			n.c.	0
Linfomi non Hodgkin (200, 202)	0	0.1	.	.	0 (0-212)	0 (.-)	101 (47-192)			n.c.	0
Tumori emolinfopoietici (200-208)	0	0.2	.	.	0 (0-212)	0 (.-)	79 (41-144)			n.c.	0
Leucemie (204-208)	0	0.2	.	.	0 (0-212)	0 (.-)	64 (22-188)			n.c.	0
Malattie endocrine e della nutrizione (240-279)	17	12.6	.	.	969 (616-1475)	135 (91-201)	130 (89-164)			→	0
Diabete mellito (250)	0	0.7	.	.	0 (0-212)	0 (.-)	78 (59-122)			n.c.	0

Causa (ICD-IX) Ponzano di Fermo	Osservati	Attesi	n. cluster sign.	SIR cluster	Tasso std. * 100000 (ic)	SIR (ic)	BIR (ic)	SIR sign.	BIR sign.	Trend	Livello attenzione
Malattie neuro-psichiatriche (290-319)	<5	<5	.	.	109 (19-381)	51 (17-153)	57 (36-81)		↓	n.c.	0 
Psicosi con origine specifica dell'infanzia (299)	0	0.3	.	.	0 (0-212)	0 (.-.)	95 (44-192)			n.c.	0 
Disturbi nervosi dell'infanzia (313-319)	<5	<5	.	.	59 (3-309)	38 (8-169)	53 (34-84)		↓	n.c.	0 
Malattie ereditarie e degenerative e altri disturbi del sistema nervoso centrale (330-349)	8	3.8	.	.	451 (223-840)	211 (119-375)	134 (94-170)	↑		n.c.	2 
Malattie cardiache (390-429)	0	1.1	.	.	0 (0-212)	0 (.-.)	94 (65-129)			n.c.	0 
Malattie del sistema circolatorio (390-459)	0	2.2	.	.	0 (0-212)	0 (.-.)	83 (56-110)			n.c.	0 
Malattie dell'apparato respiratorio (460-5199)	27	24.2	.	.	1581 (1114-2199)	111 (81-153)	100 (84-118)			↘	0 
Malattie dell'apparato digerente (520-579)	15	11.0	.	.	829 (510-1301)	137 (90-208)	100 (83-121)			→	0 
Nefrite, sindrome nefrosica, e nefrosi (580-589)	0	0.6	.	.	0 (0-212)	0 (.-.)	89 (56-169)			n.c.	0 
Malattie dell'apparato urinario (580-599)	<5	<5	1	115.3	242 (82-575)	108 (49-241)	109 (76-141)			n.c.	2 
Anomalie del sistema nervoso (740-742)	<5	<5	.	.	59 (3-309)	204 (46-914)	117 (76-169)			n.c.	0 
Malformazioni congenite (740-759)	9	8.6	.	.	524 (272-936)	105 (61-180)	103 (89-120)			n.c.	0 
Anomalie cardiovascolari (745-747)	<5	<5	.	.	62 (3-316)	67 (15-298)	80 (55-113)			n.c.	0 

Causa (ICD-IX)	Osservati	Attesi	n. cluster sign.	SIR cluster	Tasso std. * 100000 (ic)	SIR (ic)	BIR (ic)	SIR sign.	BIR sign.	Trend	Livello attenzione
Ponzano di Fermo											
Anomalie dell'apparato genito-urinario (752-753)	<5	<5	.	.	240 (81-570)	117 (52-260)	93 (68-119)			n.c.	0 
Anomalie cromosomiche (758)	0	0.3	.	.	0 (0-212)	0 (.-.)	102 (57-213)			n.c.	0 

